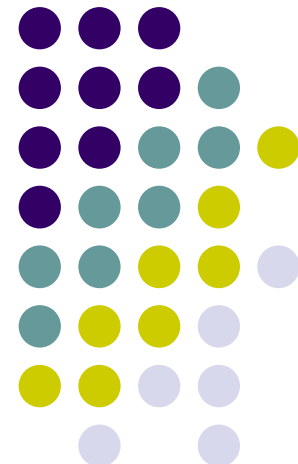


# 数字图像处理

第六讲  
图像分割





# 提纲

- 基础知识
- 点、线、边缘检测
  - 背景知识
  - 孤立点的检测
  - 线检测
  - 边缘模型
  - 基本边缘检测
  - 高级边缘检测
- 边缘连接和边界检测



# 引言

- 图像分割
  - 把图像细分为构成它的区域或物体
  - 分割的粒度取决于应用问题
- 分割是图像处理最困难问题之一
  - 分割的精度决定了处理任务的成败
- 分割的基本原理
  - 灰度的不连续性：根据灰度的突变分割
  - 灰度的相似性：区域内的图像很相似



# 基础知识

- $R$ 表示图像所占的区域
- 图像分割将 $R$ 分割成 $n$ 个区域 $R_1, \dots, R_n$ :
  1.  $\bigcup_{i=1}^n R_i = R$
  2.  $R_i$ 是一个连通集合,  $i = 1, \dots, n$
  3.  $R_i \cap R_j = \emptyset, \forall i \neq j$
  4.  $Q(R_i) = True, i = 1, \dots, n$
  5. 对于任意的相邻区域 $R_i$ 和 $R_j$ ,  $Q(R_i \cup R_j) = False$
- $Q(\cdot)$ 表示某个用于划分区域的函数

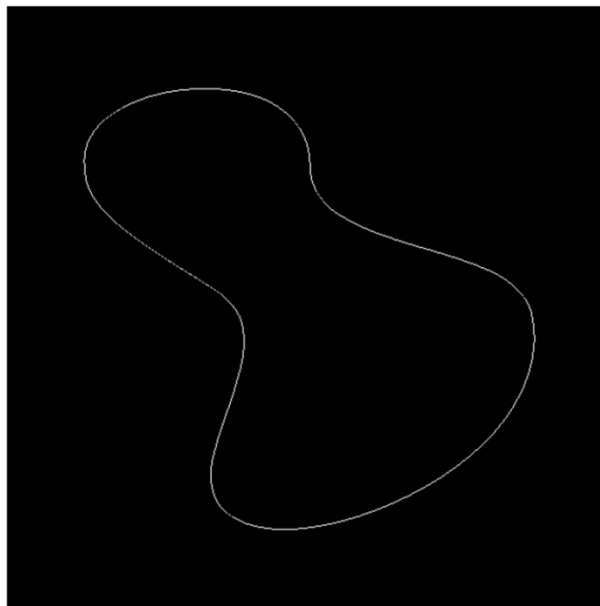


# 灰度的不连续性

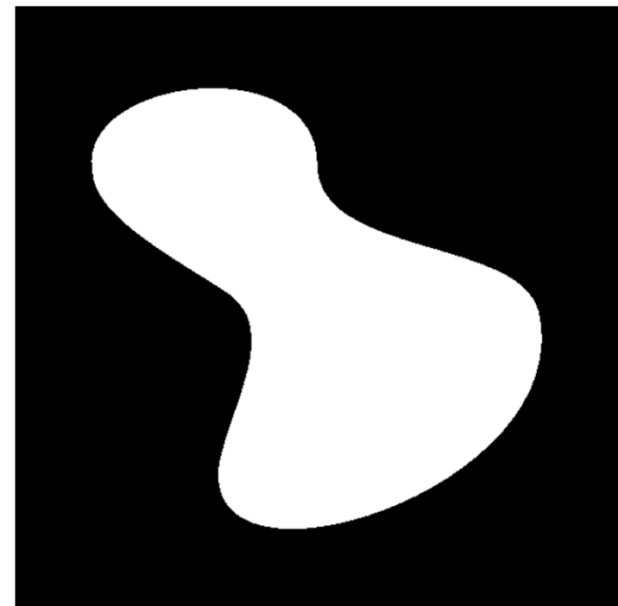
- 区域的边界之间差异大，且和背景不同
  - 利用灰度的局部不连续性检测边界
  - 基于边缘的分割



原图



计算边界

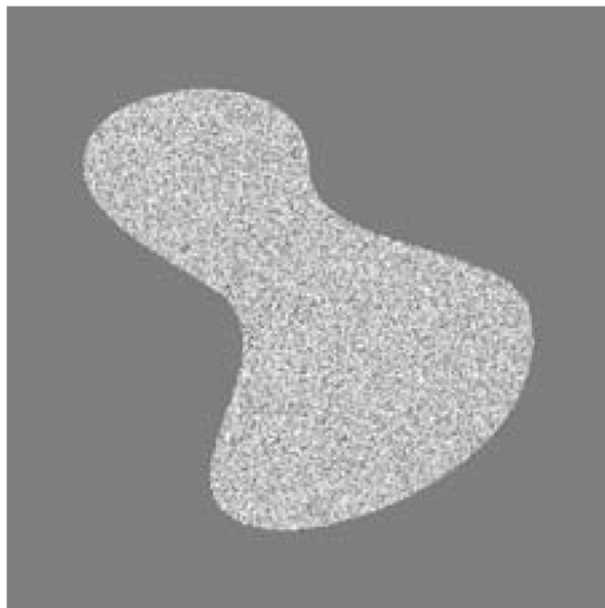


分割

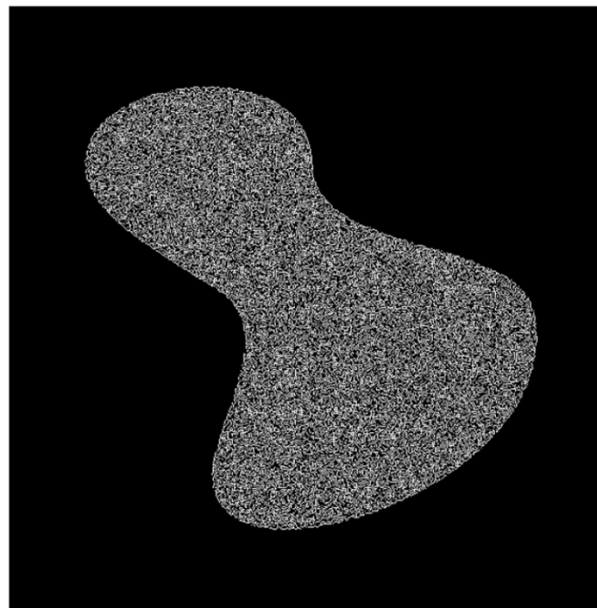


# 灰度的相似性

- 基于区域的分割
  - 区域内的像素依据某些准则很相似



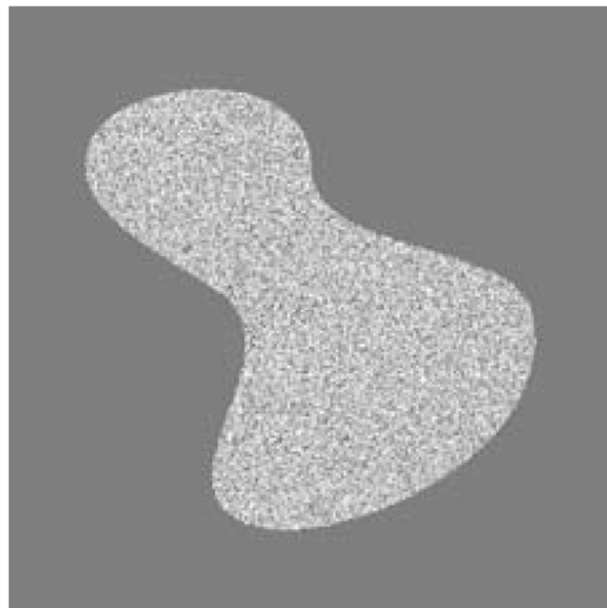
原图



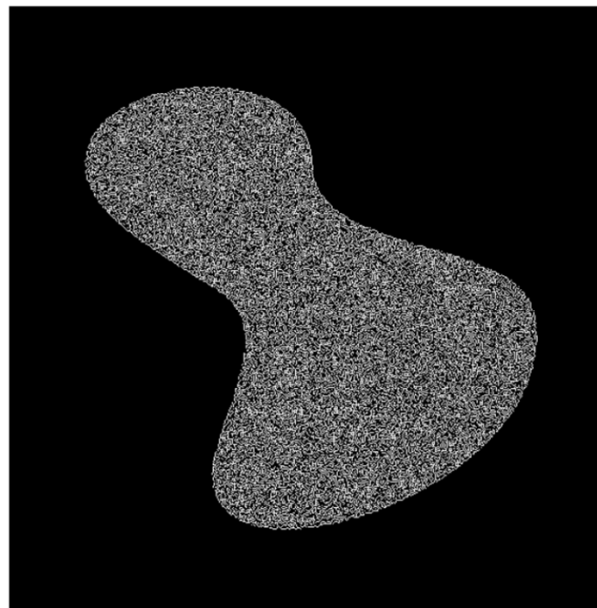
边缘信息

# 灰度的相似性

- 基于区域的分割
  - 区域内的像素依据某些准则很相似



原图



边缘信息



分割



分割成 $4 \times 4$ 区  
域，标准差非  
零标为白色



# 提纲

- 基础知识
- 点、线、边缘检测
  - 背景知识
  - 孤立点的检测
  - 线检测
  - 边缘模型
  - 基本边缘检测
  - 高级边缘检测
- 边缘连接和边界检测



# 基本概念

- 边缘
  - 边缘像素：灰度发生剧烈变化
  - 边缘是连通的边缘像素集合
- 线
  - 一种特殊的边缘
  - 两侧的灰度值都很大或都很小
- 点
  - 长宽只有1个像素的线



# 提纲

- 基础知识
- 点、线、边缘检测
  - 背景知识
  - 孤立点的检测
  - 线检测
  - 边缘模型
  - 基本边缘检测
  - 高级边缘检测
- 边缘连接和边界检测



# 背景知识

- 1阶或2阶导数可以检测局部灰度突变
- 1阶导数的性质
  - 在恒定灰度区域为零
  - 在突变（斜坡、台阶）的起点非零
  - 沿着斜坡非零
- 2阶导数的性质
  - 在恒定灰度区域为零
  - 在突变（斜坡、台阶）的起点和终点非零
  - 沿着恒定斜率斜坡为零



# 数学基础

- 一维函数  $f(x)$
- 一阶导数

$$\frac{\partial f}{\partial x} = f'(x) = f(x + 1) - f(x)$$

- 二阶导数

$$\frac{\partial^2 f}{\partial x^2} = \frac{\partial f'(x)}{\partial x} = f'(x + 1) - f'(x)$$

$$= f(x + 2) - f(x + 1) - f(x + 1) + f(x)$$

$$= f(x + 2) - 2f(x + 1) + f(x)$$





# 数学基础

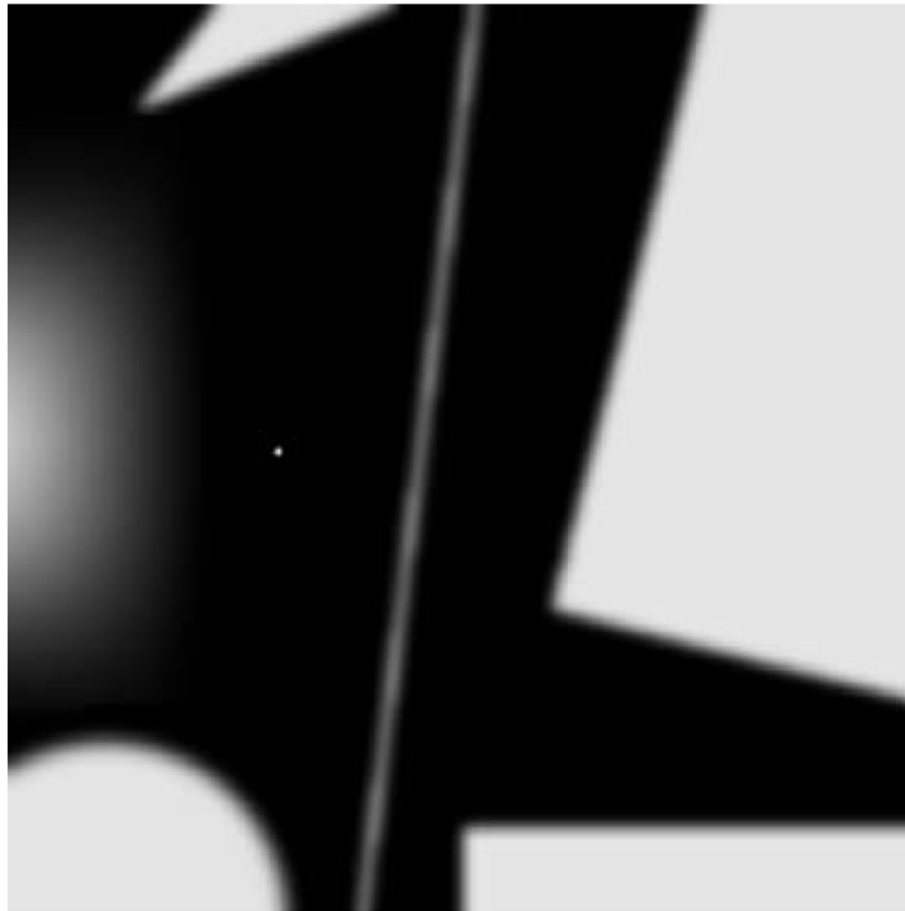
- 一维函数  $f(x)$ 
  - 一阶导数

$$\frac{\partial f}{\partial x} = f'(x) = f(x + 1) - f(x)$$

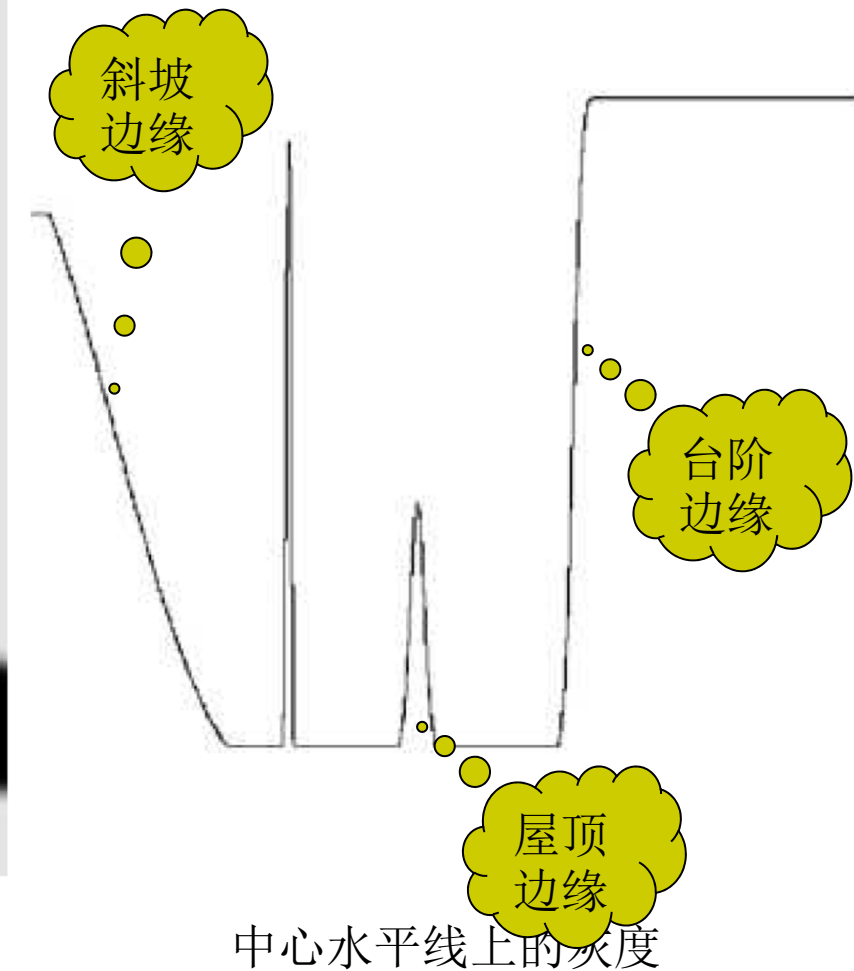
- 二阶导数

$$\frac{\partial^2 f}{\partial x^2} = f''(x) = f(x + 1) + f(x - 1) - 2f(x)$$

# 举例



原图



# 举例

## 一阶、二阶导数

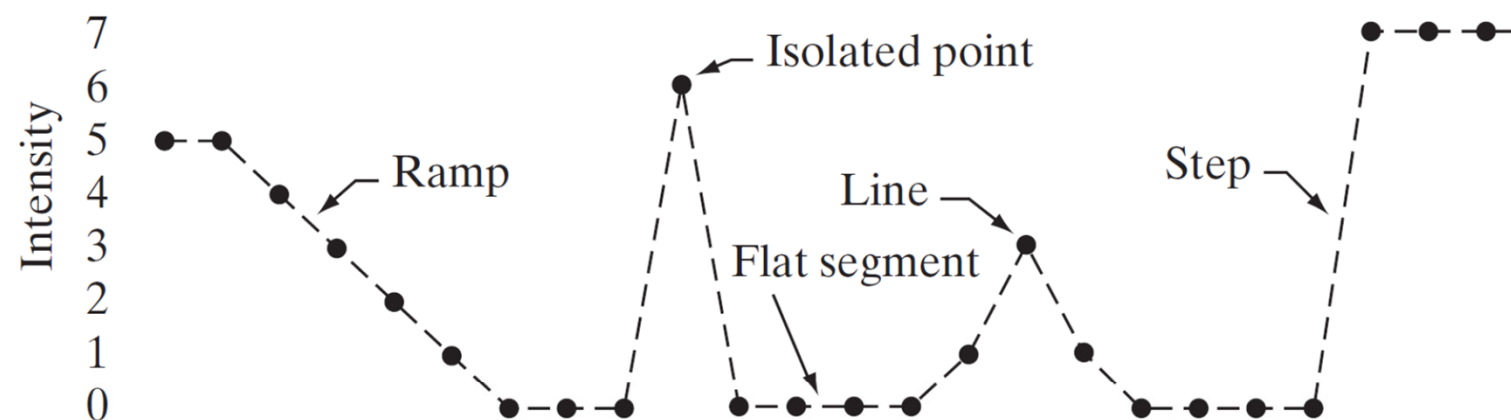
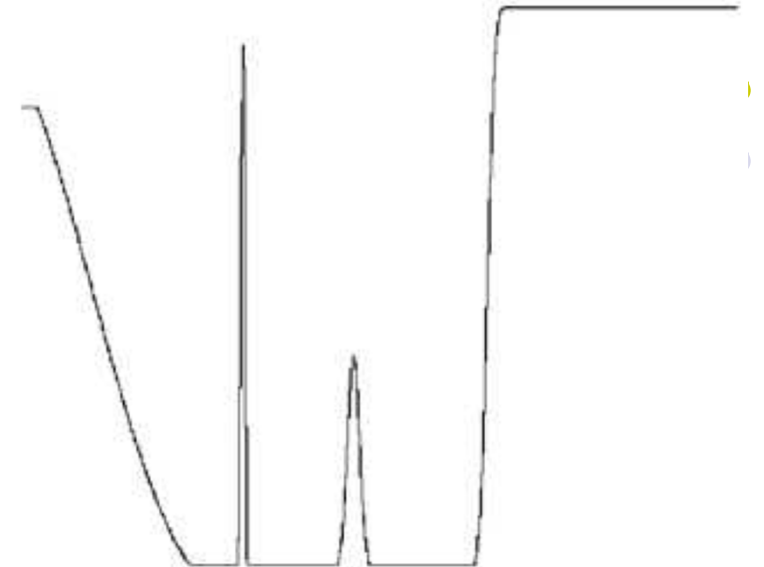


Image strip 

5	5	4	3	2	1	0	0	0	6	0	0	0	0	1	3	1	0	0	0	0	7	7	7	7	•	•
---	---	---	---	---	---	---	---	---	---	---	---	---	---	---	---	---	---	---	---	---	---	---	---	---	---	---

First derivative 

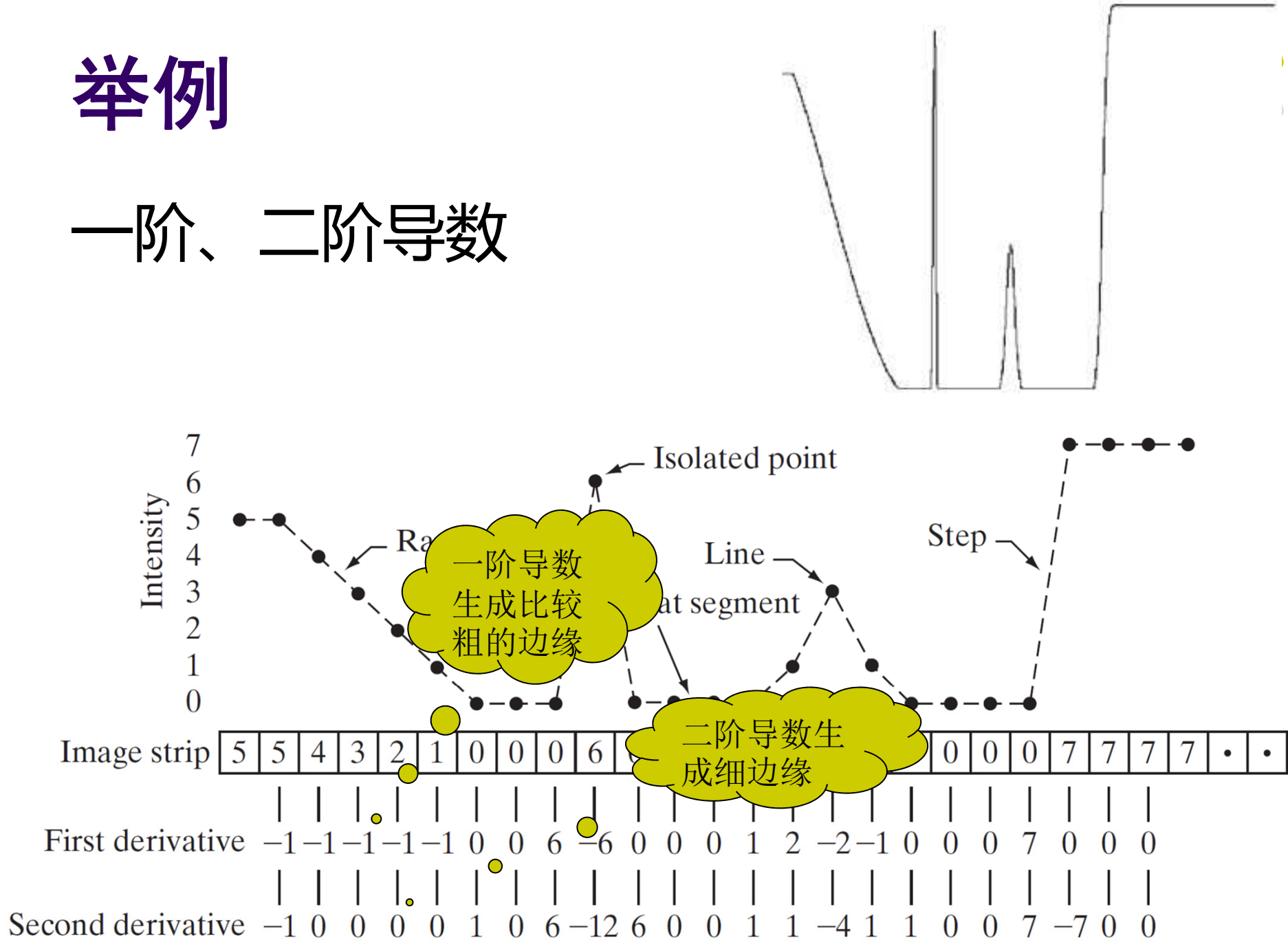
-1	-1	-1	-1	-1	0	0	6	-6	0	0	0	1	2	-2	-1	0	0	0	7	0	0	0	0
----	----	----	----	----	---	---	---	----	---	---	---	---	---	----	----	---	---	---	---	---	---	---	---

Second derivative 

-1	0	0	0	0	0	1	0	6	-12	6	0	0	1	1	-4	1	1	0	0	0	7	-7	0	0
----	---	---	---	---	---	---	---	---	-----	---	---	---	---	---	----	---	---	---	---	---	---	----	---	---

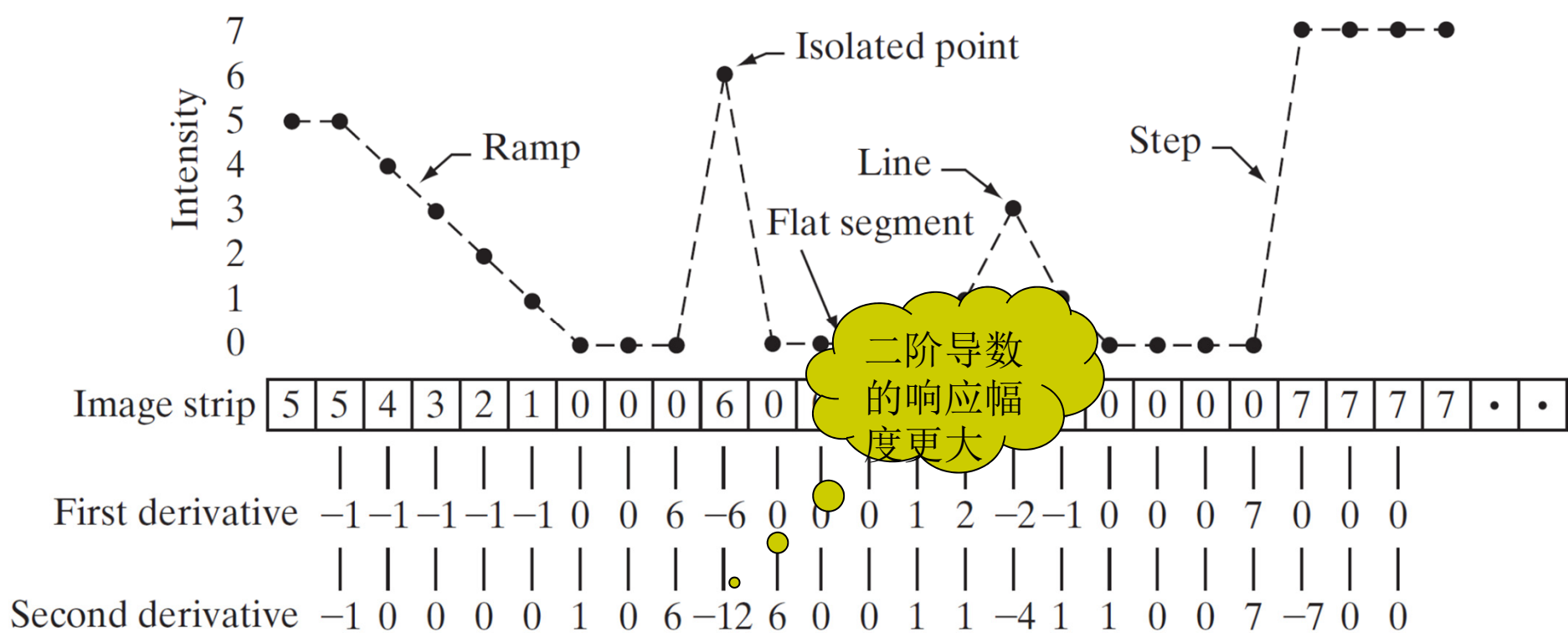
# 举例

## 一阶、二阶导数



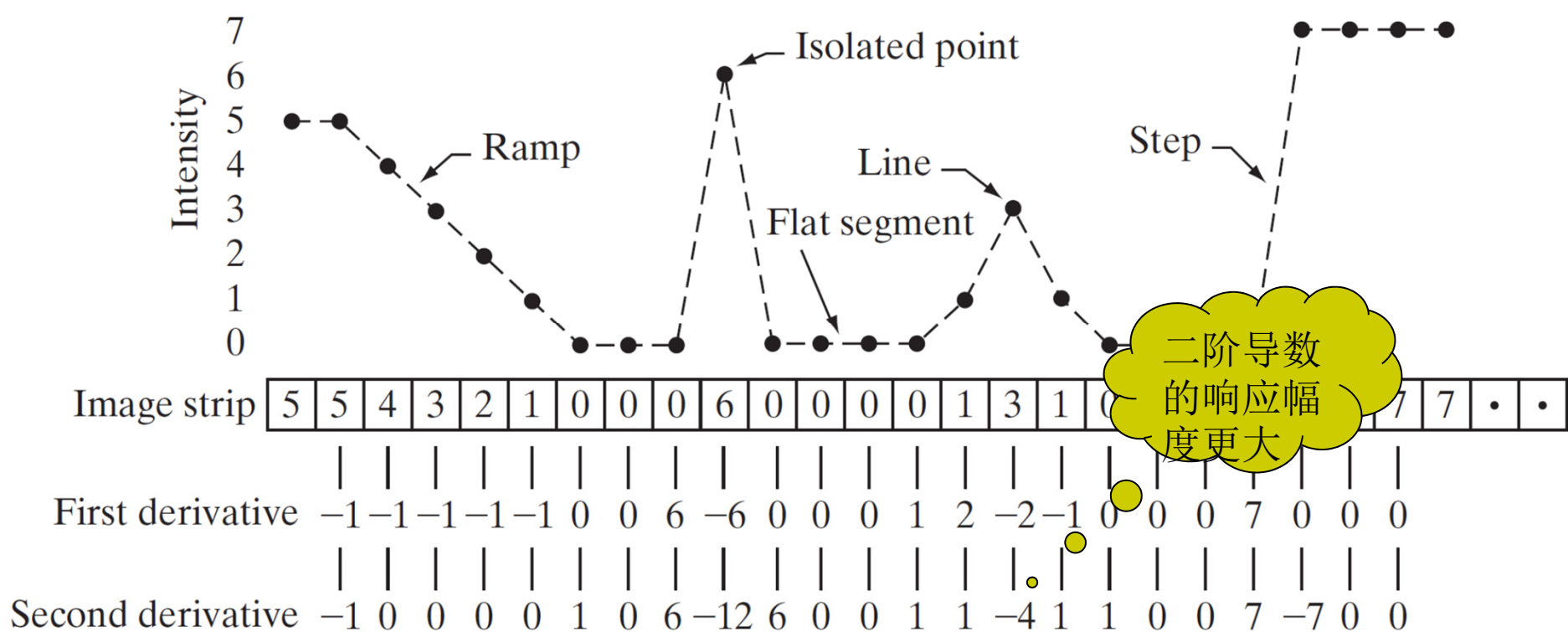
## 举例

# 一阶、二阶导数



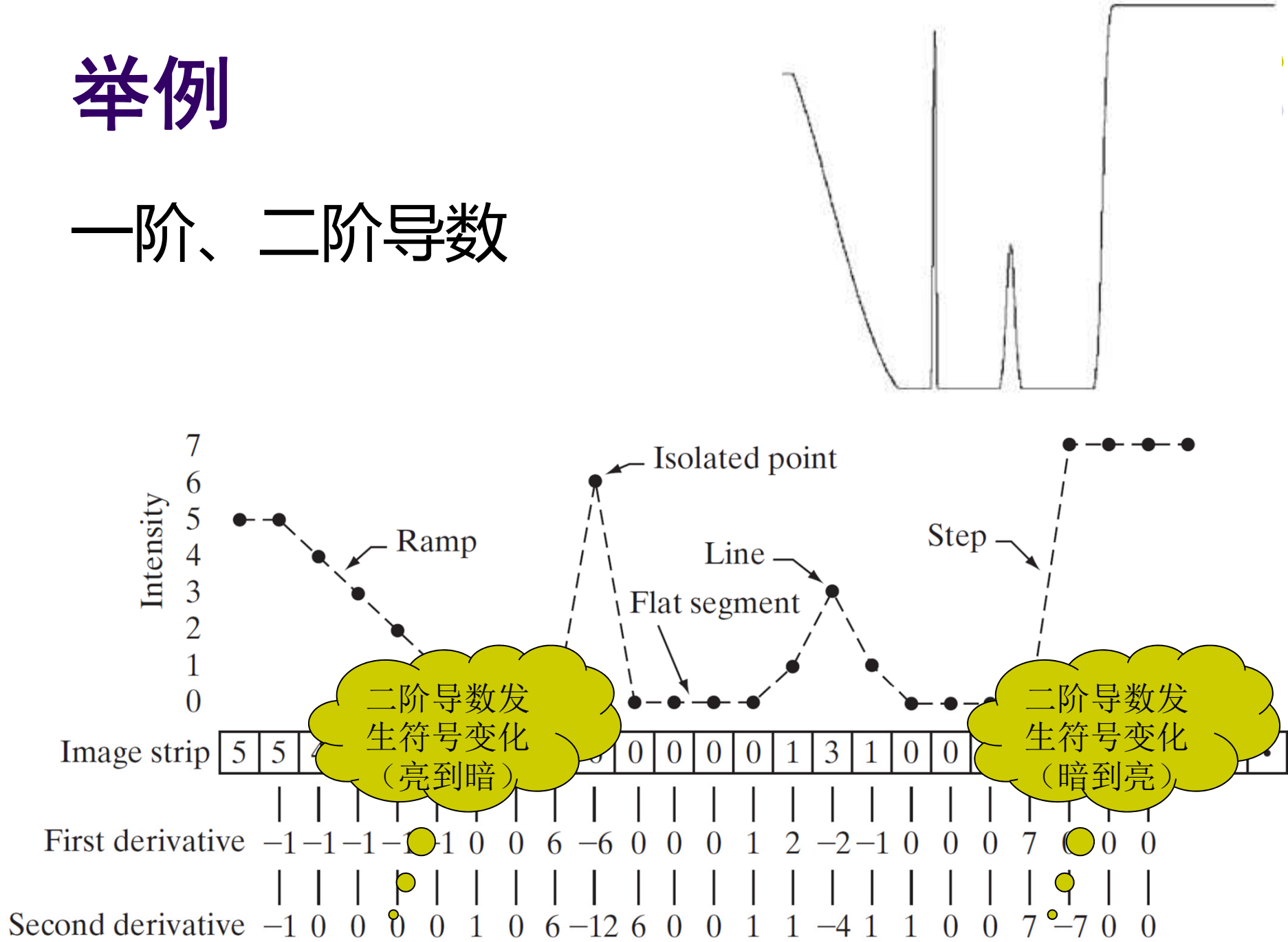
# 举例

## 一阶、二阶导数



# 举例

## 一阶、二阶导数





# 一般结论

- 一阶导数通常产生较粗的边缘
- 二阶导数对细节有较强的响应
  - 细线、孤立点、噪声
- 二阶导数在斜坡和台阶产生双边缘响应
- 二阶导数的符号变化有指示意义
  - 灰度从亮到暗
  - 灰度从暗到亮



# 计算导数

- 空间滤波器
  - 模板

$w_1$	$w_2$	$w_3$
$w_4$	$w_5$	$w_6$
$w_7$	$w_8$	$w_9$

- 计算公式

$$R = w_1z_1 + w_2z_2 + \cdots + w_9z_9$$

$$= \sum_{k=1}^9 w_k z_k$$



# 提纲

- 基础知识
- 点、线、边缘检测
  - 背景知识
  - 孤立点的检测
  - 线检测
  - 边缘模型
  - 基本边缘检测
  - 高级边缘检测
- 边缘连接和边界检测



# 孤立点的检测

- 利用二阶导数检测孤立点
  - 响应更强
- 拉普拉斯算子

$$\nabla^2 f(x, y) = \frac{\partial^2 f}{\partial x^2} + \frac{\partial^2 f}{\partial y^2}$$

- 离散拉普拉斯算子

$$\frac{\partial^2 f(x, y)}{\partial x^2} = f(x + 1, y) + f(x - 1, y) - 2f(x, y)$$

$$\frac{\partial^2 f(x, y)}{\partial y^2} = f(x, y + 1) + f(x, y - 1) - 2f(x, y)$$



# 孤立点的检测

- 利用二阶导数检测孤立点
  - 响应更强

- 拉普拉斯算子

$$\nabla^2 f(x, y) = \frac{\partial^2 f}{\partial x^2} + \frac{\partial^2 f}{\partial y^2}$$

- 离散拉普拉斯算子

$$\begin{aligned}\nabla^2 f(x, y) &= f(x + 1, y) + f(x - 1, y) + f(x, y + 1) \\ &\quad + f(x, y - 1) - 4f(x, y)\end{aligned}$$



# 拉普拉斯算子

## ● 标准形式

$$\begin{aligned}\nabla^2 f(x, y) = & f(x+1, y) + f(x-1, y) \\ & + f(x, y+1) + f(x, y-1) \\ & - 4f(x, y)\end{aligned}$$

0	1	0
1	-4	1
0	1	0

90度增量  
各向同性

## ● 对角线形式

1	1	1
1	-8	1
1	1	1

45度增量  
各向同性



# 检测方法

- 根据响应幅度是否大于某阈值 $T$

$$g(x, y) = \begin{cases} 1 & \text{if } |R(x, y)| \geq T \\ 0 & \text{otherwise} \end{cases}$$

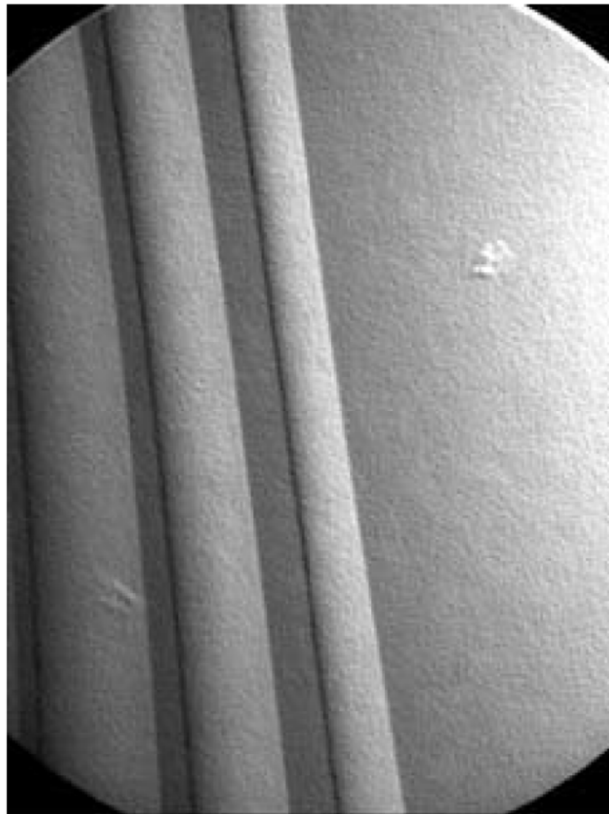
- 其中

$$R = w_1 z_1 + w_2 z_2 + \cdots + w_9 z_9$$

$$= \sum_{k=1}^9 w_k z_k$$



# 举例



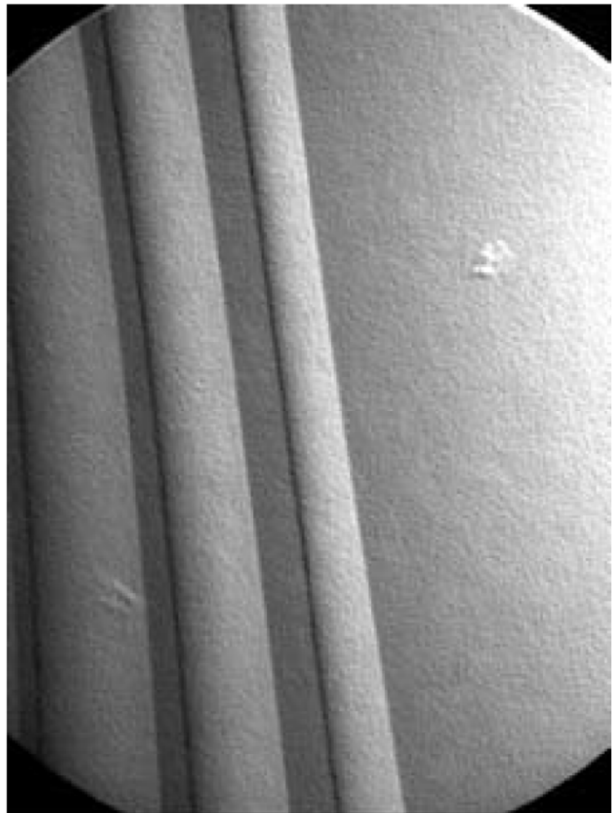
有一个孔的  
涡轮叶片



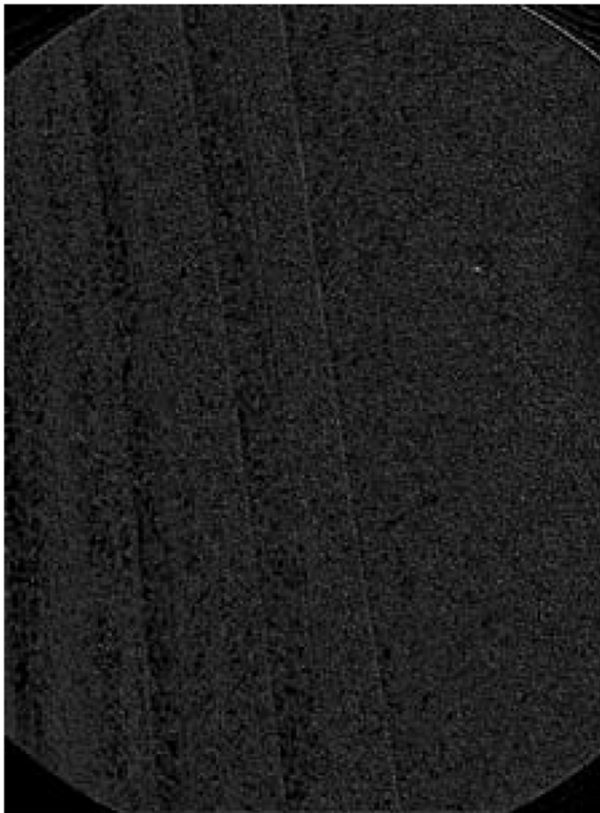
拉普拉斯滤波  
后图像



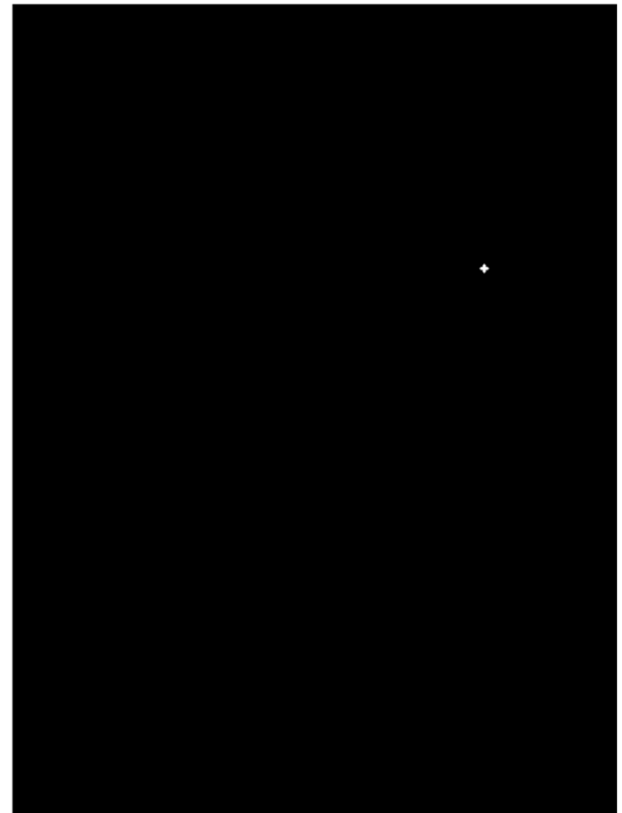
# 举例



有一个孔的  
涡轮叶片



拉普拉斯滤波  
后图像



阈值化  
(最高亮度的90%)



# 提纲

- 基础知识
- 点、线、边缘检测
  - 背景知识
  - 孤立点的检测
  - 线检测
  - 边缘模型
  - 基本边缘检测
  - 高级边缘检测
- 边缘连接和边界检测



# 线检测

- 利用二阶导数检测线

- 响应更强、更细的线
- 需要留意双线效应

- 拉普拉斯算子

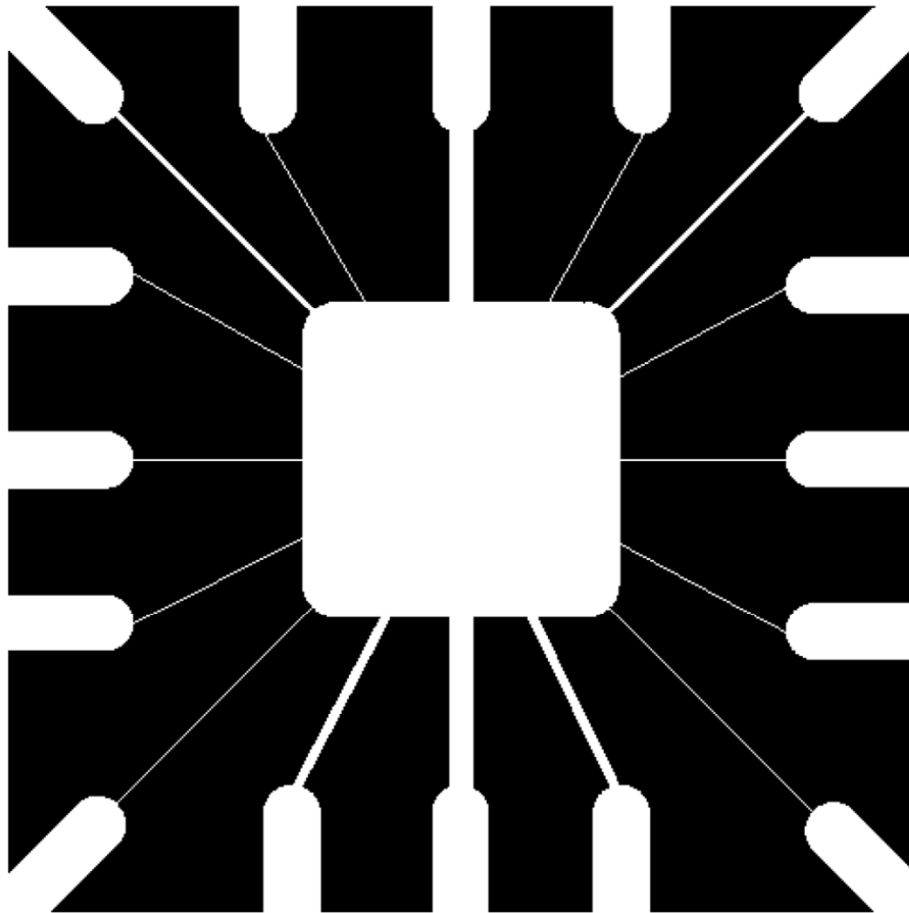
$$\nabla^2 f(x, y) = \frac{\partial^2 f}{\partial x^2} + \frac{\partial^2 f}{\partial y^2}$$

- 离散拉普拉斯算子

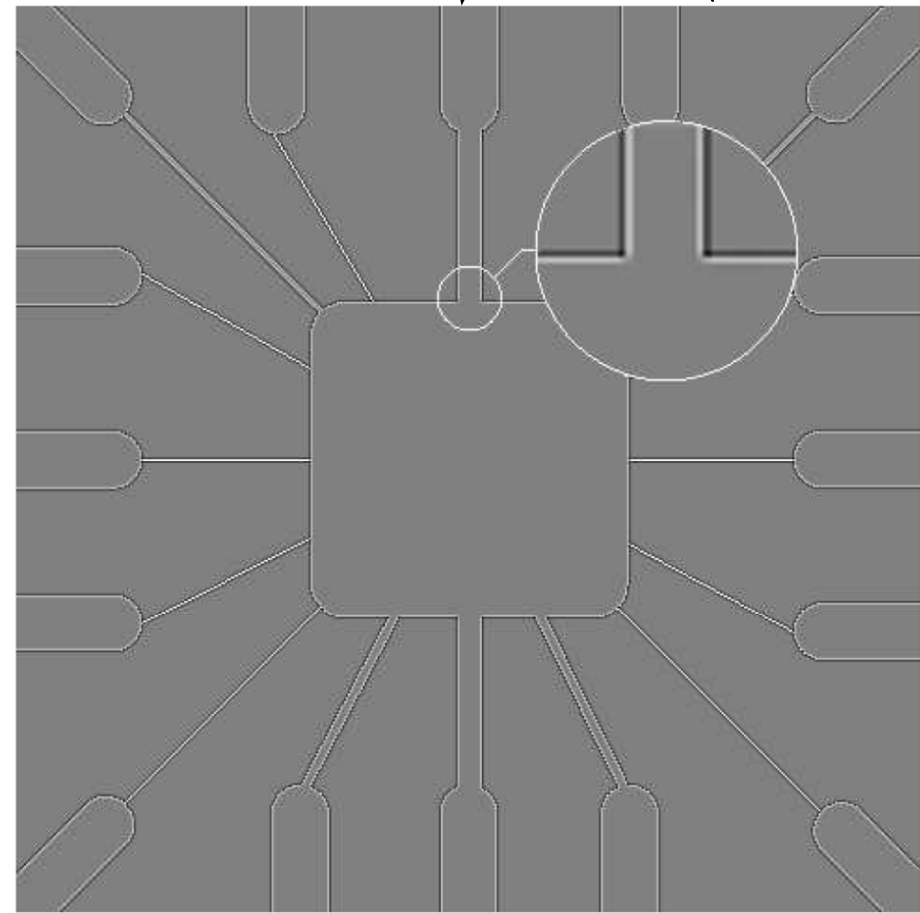
$$\nabla^2 f(x, y) = f(x + 1, y) + f(x - 1, y) + f(x, y + 1)$$

$$+ f(x, y - 1) - 4f(x, y)$$

# 举例

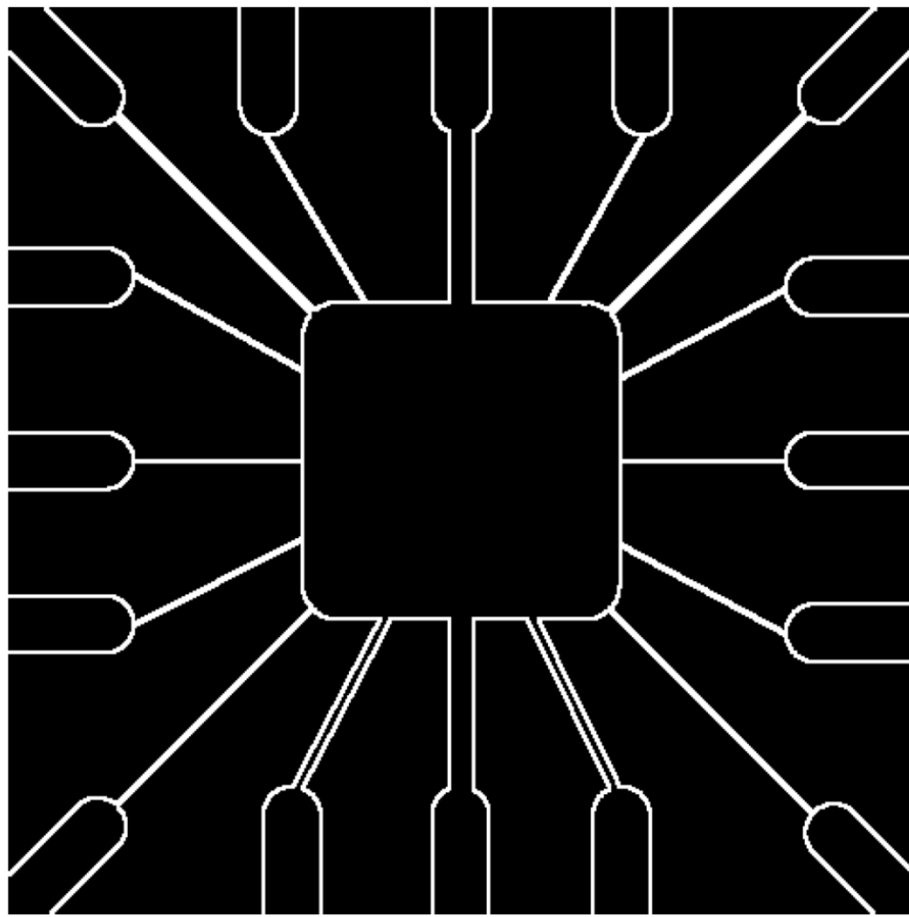


原图



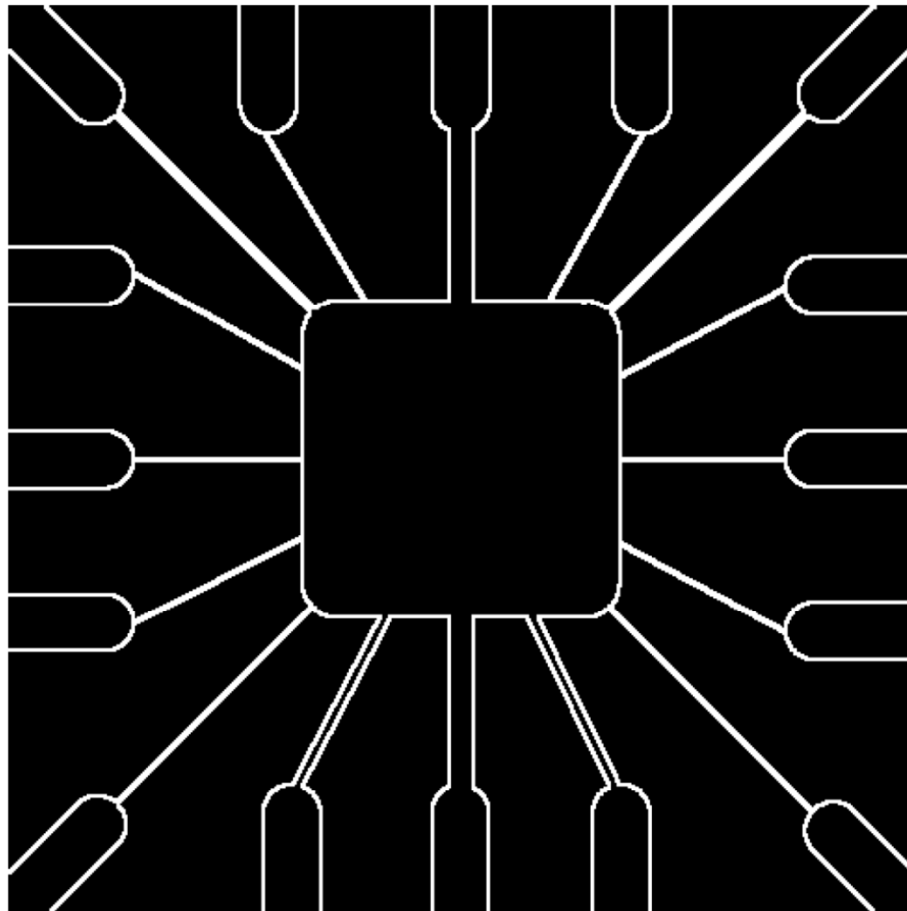
拉普拉斯滤波  
后图像

# 举例

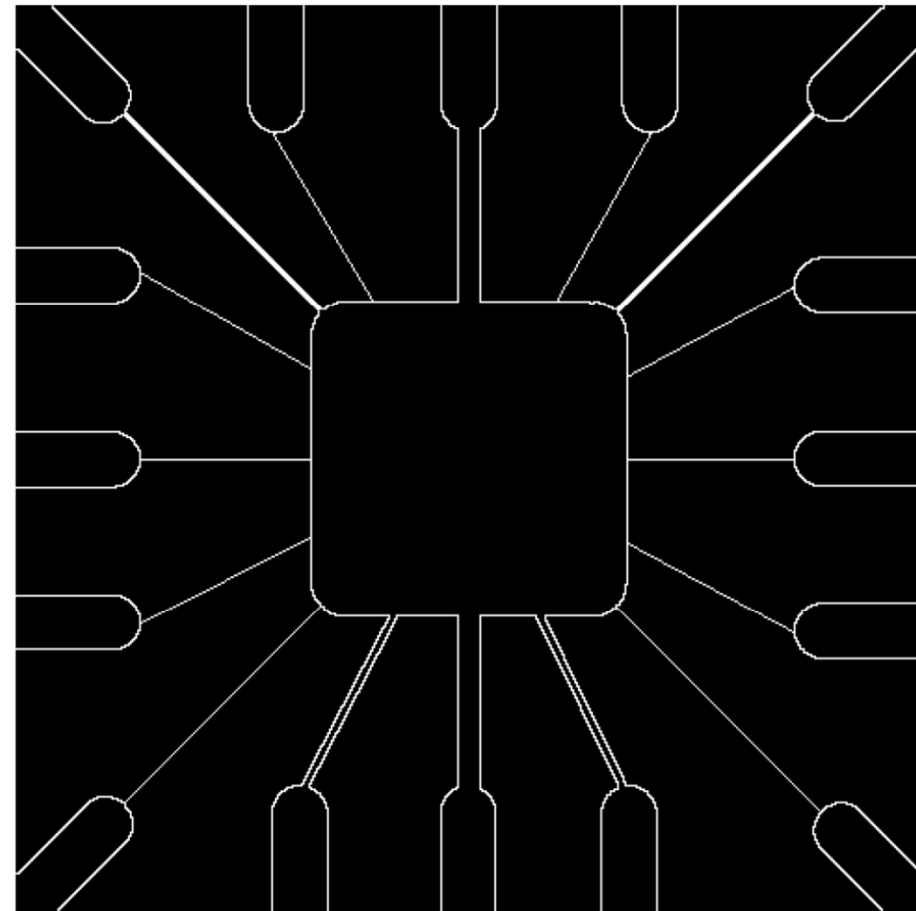


取绝对值

# 举例

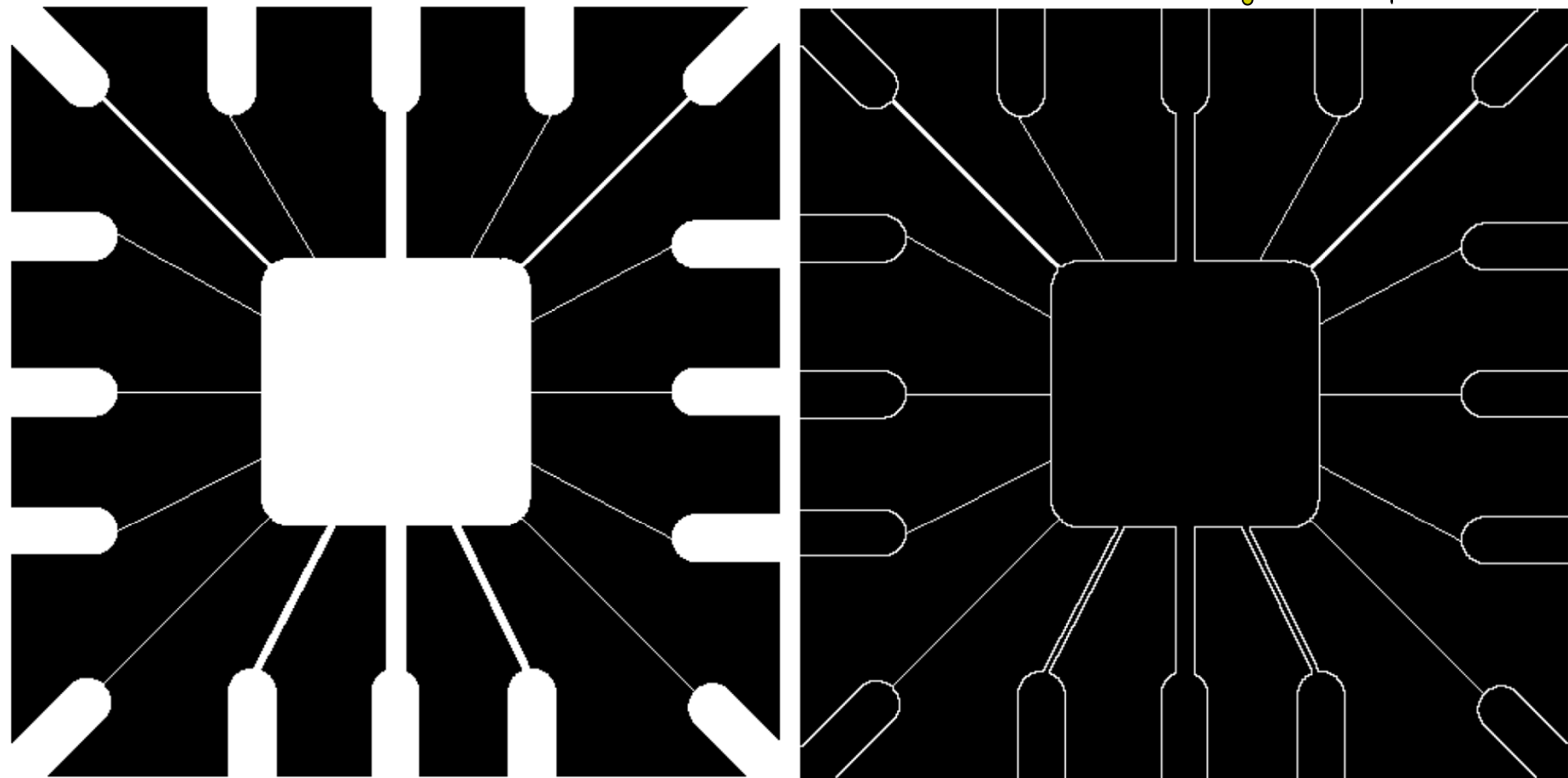


取绝对值



保留正数

# 举例



# 检测特定方向的线



检测  
水平线

-1	-1	-1
2	2	2
-1	-1	-1

检测  
 $+45^\circ$ 线

2	-1	-1
-1	2	-1
-1	-1	2

检测  
垂直线

-1	2	-1
-1	2	-1
-1	2	-1

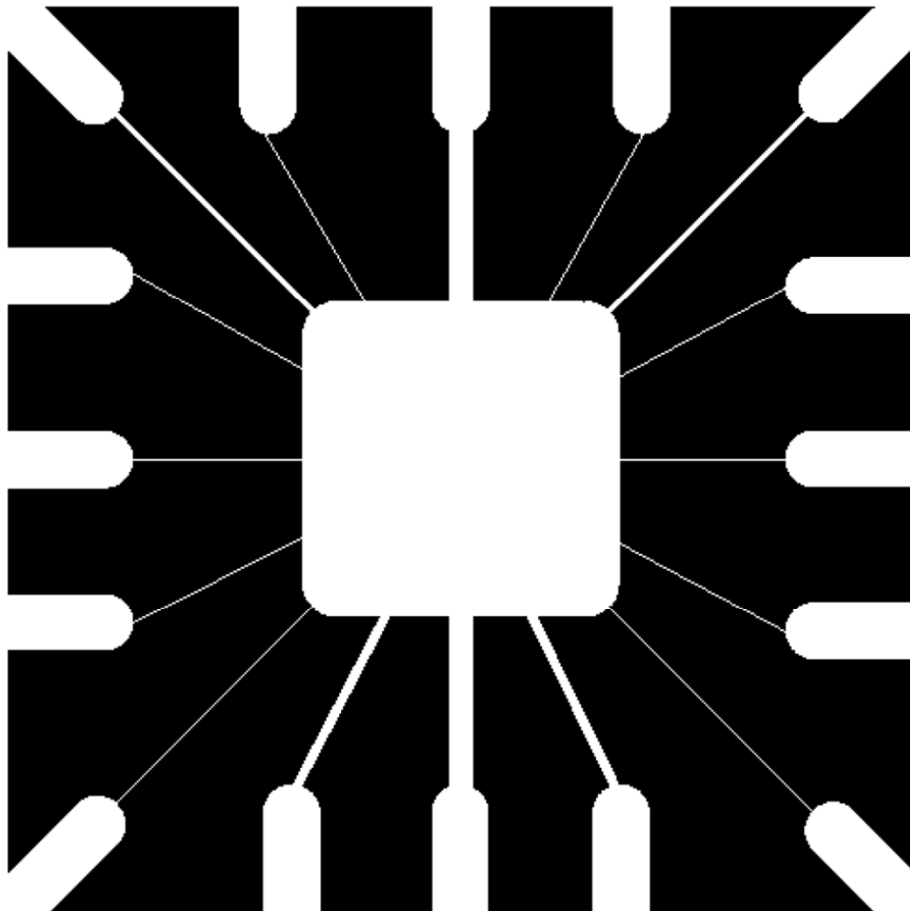
检测  
 $-45^\circ$ 线

-1	-1	2
-1	2	-1
2	-1	-1

# 举例

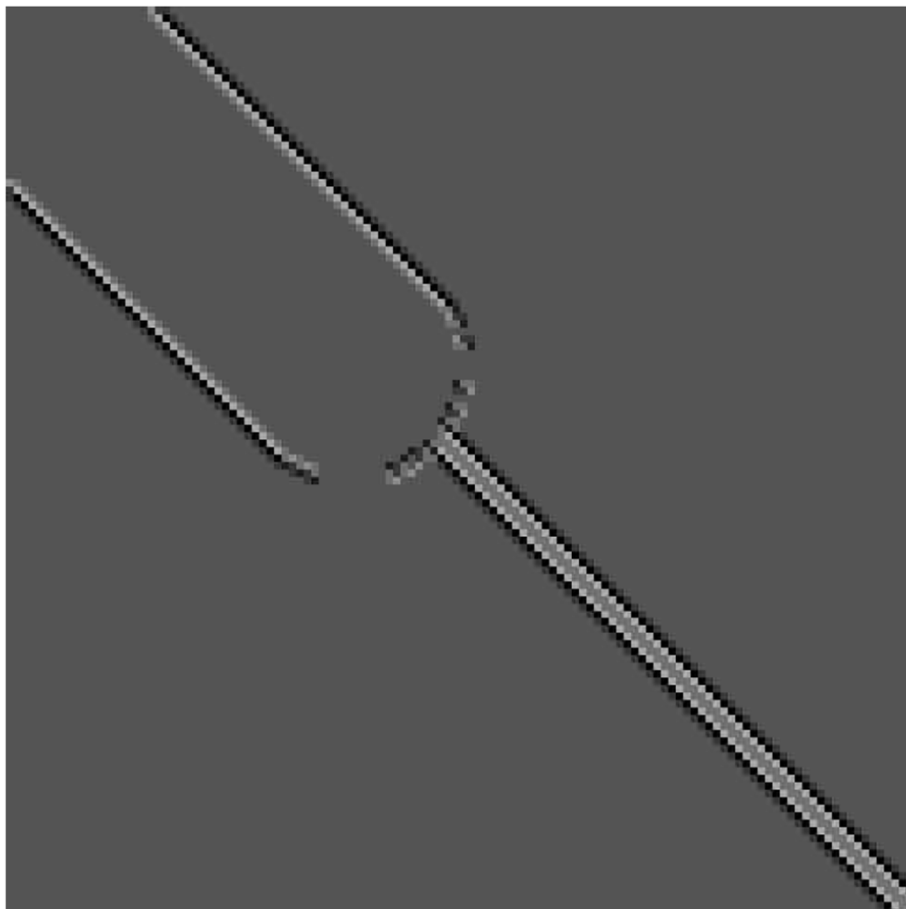
检测  
+45°线

2	-1	-1
-1	2	-1
-1	-1	2



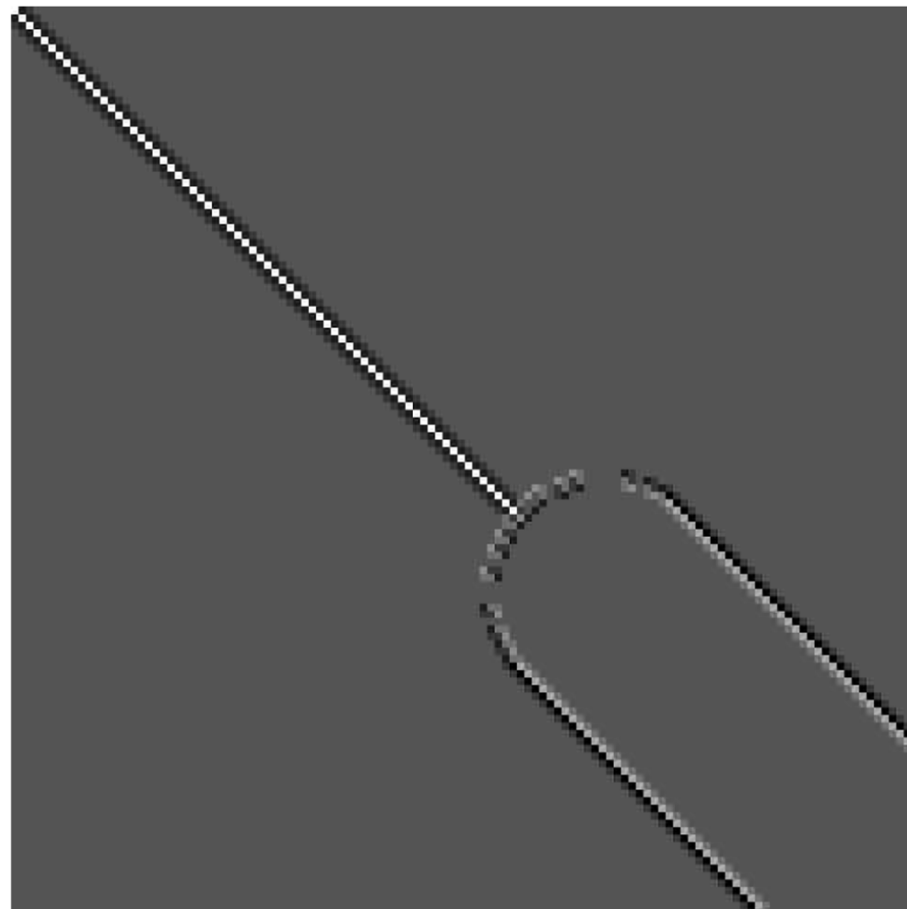
# 举例

左上角放大的图



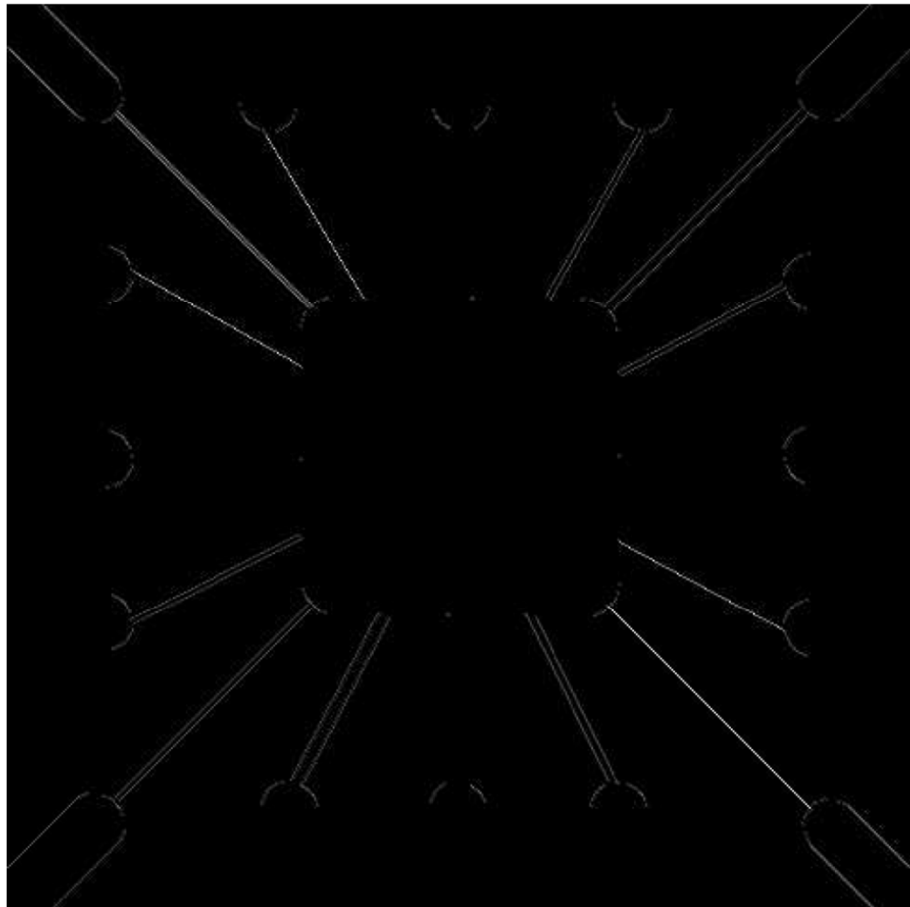
右下方的细线更亮！原因是更细

右下角放大的图

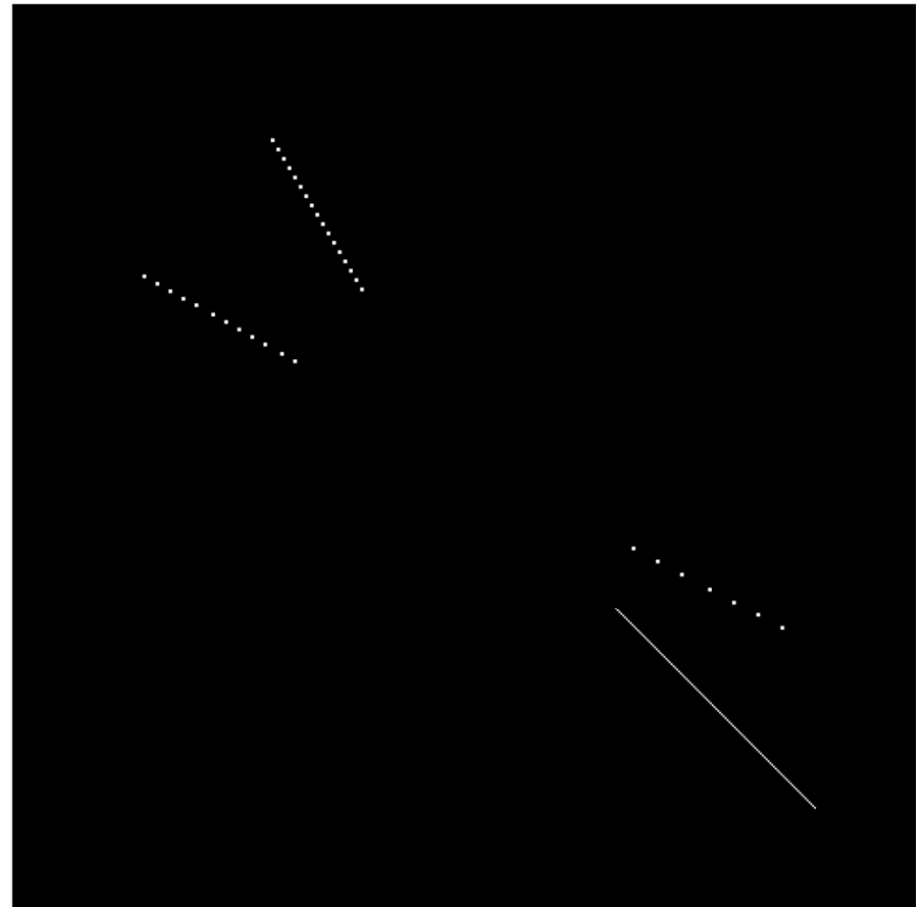


# 举例

保留正数



保留最大值



可以继续应用  
孤立点检测



# 提纲

- 基础知识
- 点、线、边缘检测
  - 背景知识
  - 孤立点的检测
  - 线检测
  - 边缘模型
  - 基本边缘检测
  - 高级边缘检测
- 边缘连接和边界检测



# 边缘模型

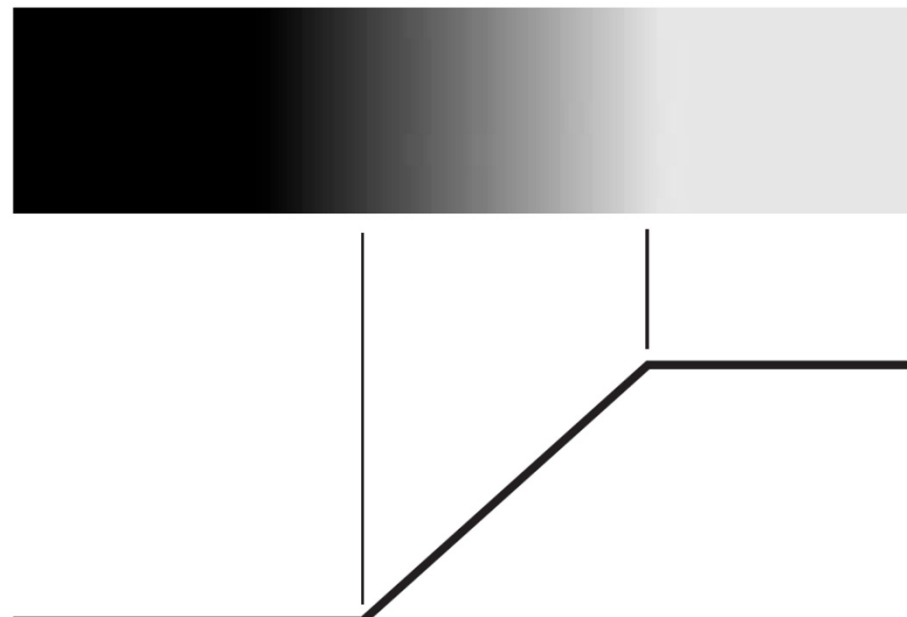
- 台阶边缘 (Step Edge)
  - 1个像素距离上发生灰度级的理想过渡
  - 经常出现在计算机生成的图像中





# 边缘模型

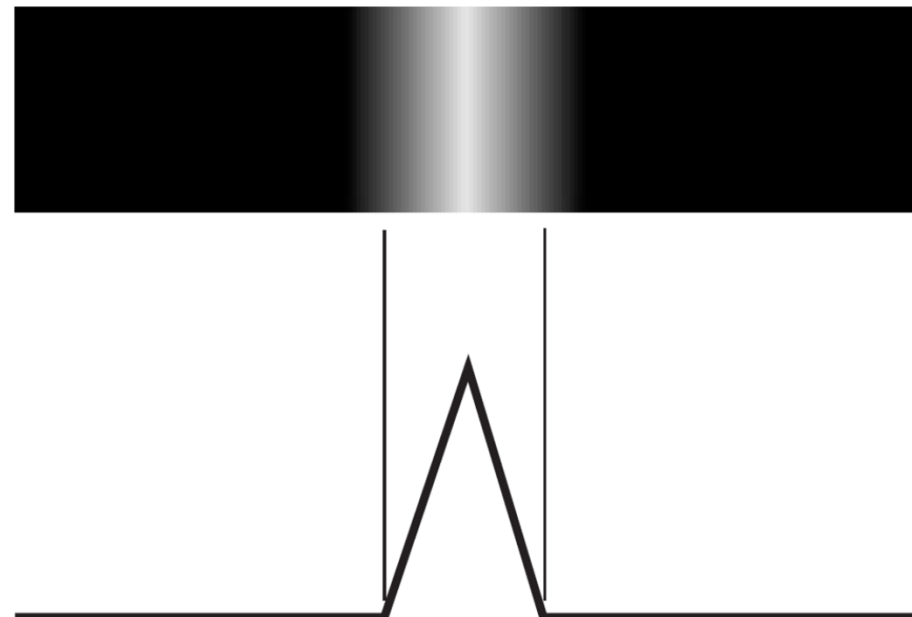
- 斜坡边缘 (Ramp Edge)
  - 实际边缘通常是模糊 (聚焦机制)、有噪声 (电子器件)
  - 斜率与模糊程度成反比





# 边缘模型

- 屋顶边缘 (Roof Edge)
  - 表示穿过区域的线
  - 出现在数字化的线条图、卫星图像中的道路





# 举例

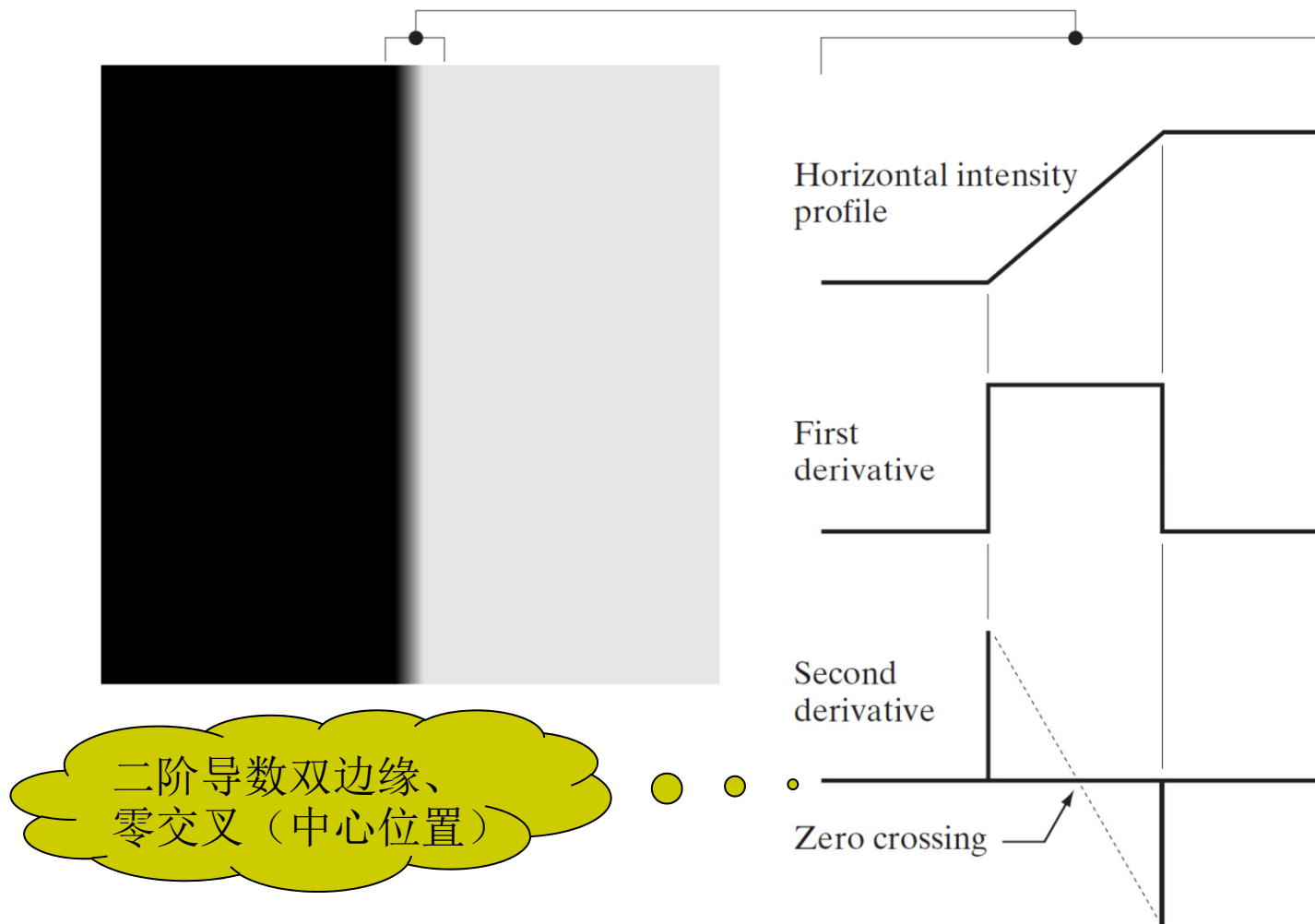
- 三种边缘通常同时出现
  - 陡峭的斜坡通常被认为是台阶

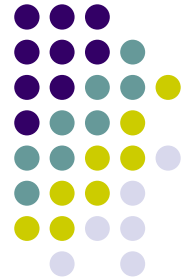




# 举例

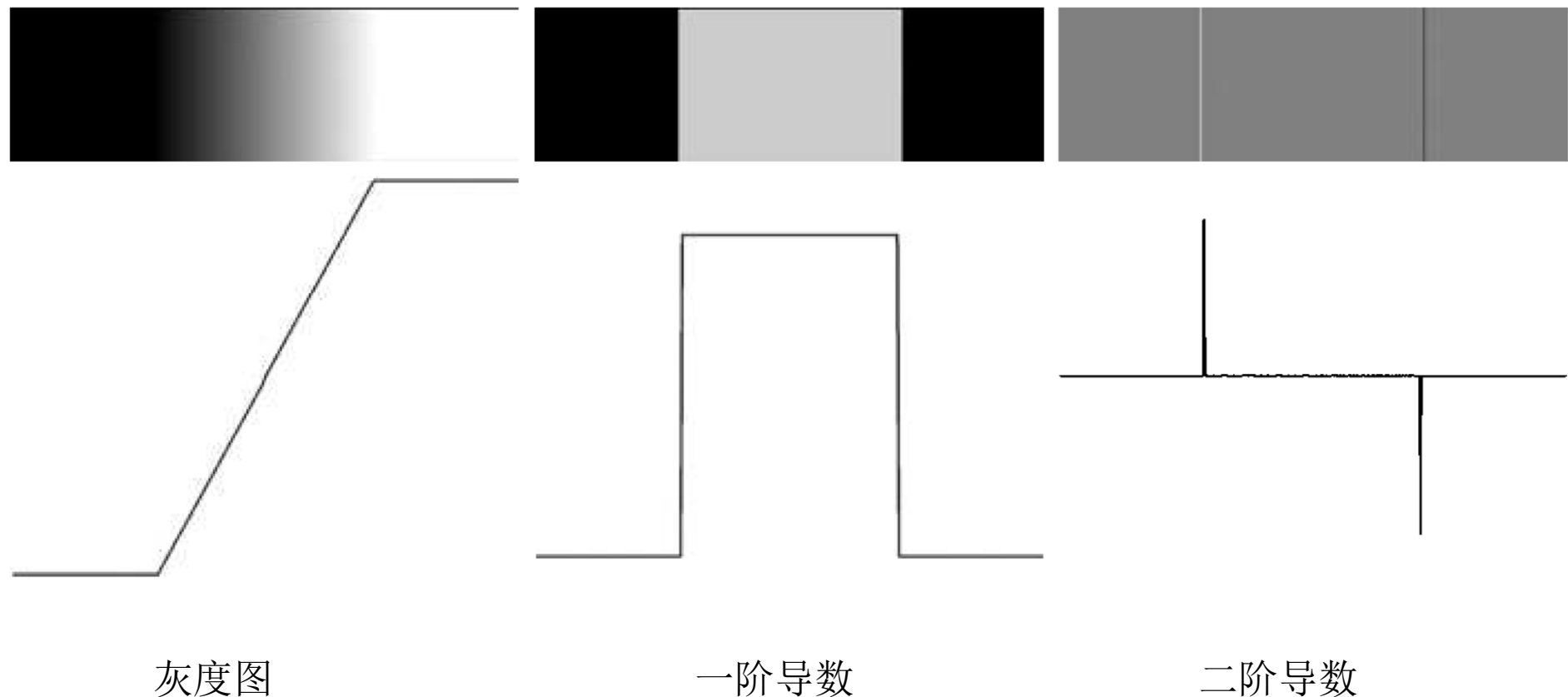
## ● 斜坡边缘





# 存在噪声的边缘

- 无噪声的情况

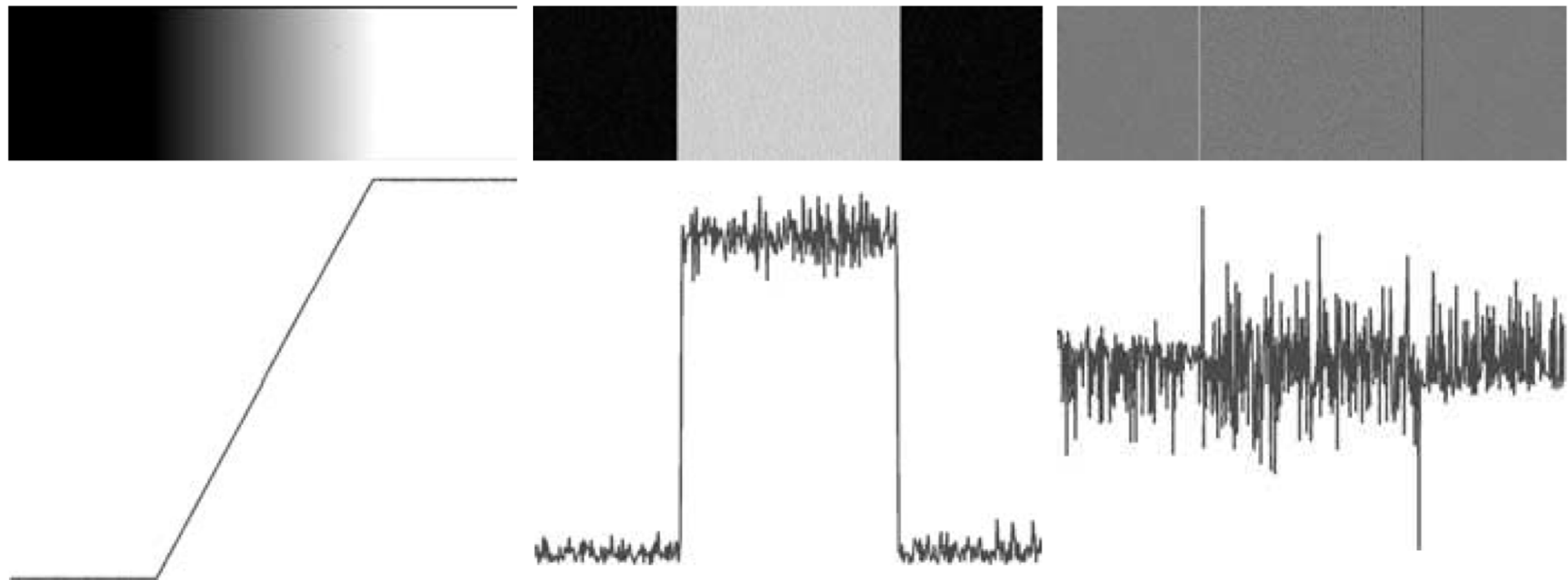


# 存在噪声的边缘

- 1、视觉上噪声并不明显
- 2、噪声对导数影响很大
- 3、二阶导数更敏感



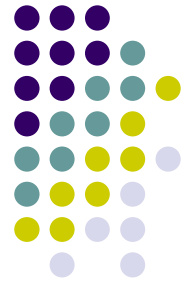
- 均值为0，标准差为0.1的高斯噪声



灰度图

一阶导数

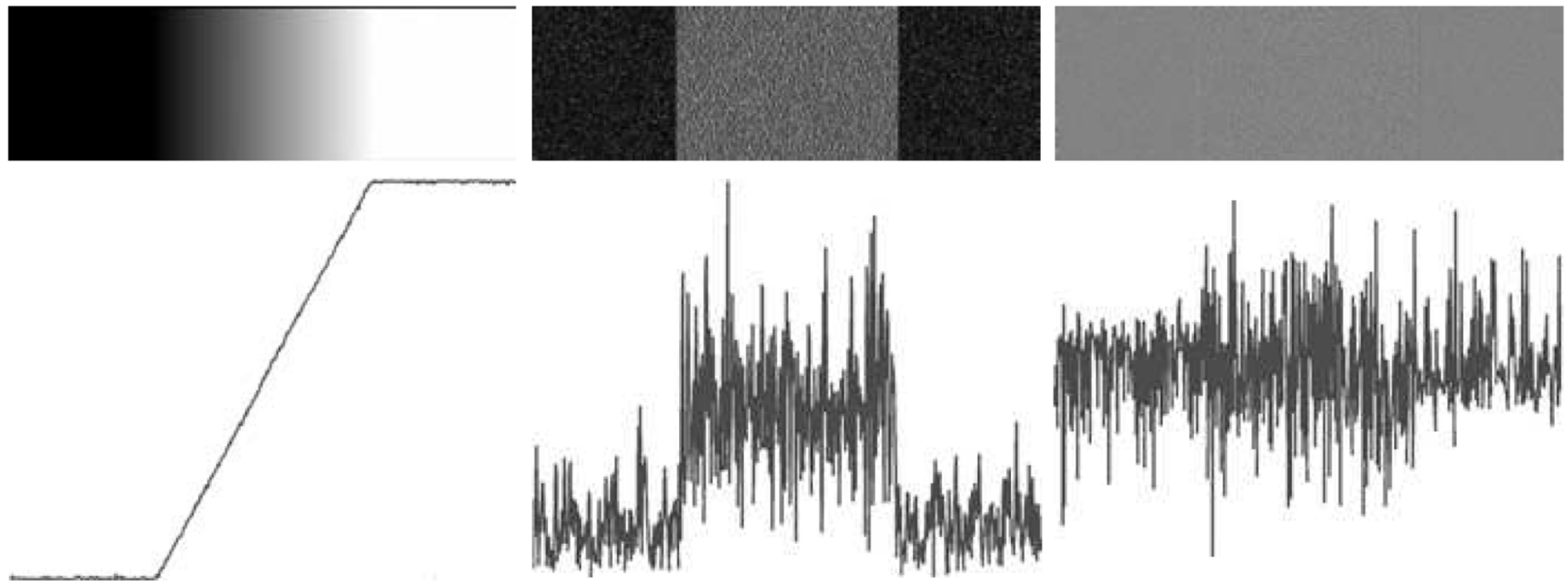
二阶导数



# 存在噪声的边缘

- 1、视觉上噪声并不明显
- 2、噪声对导数影响很大
- 3、二阶导数无法辨认

- 均值为0，标准差为1的高斯噪声



灰度图

一阶导数

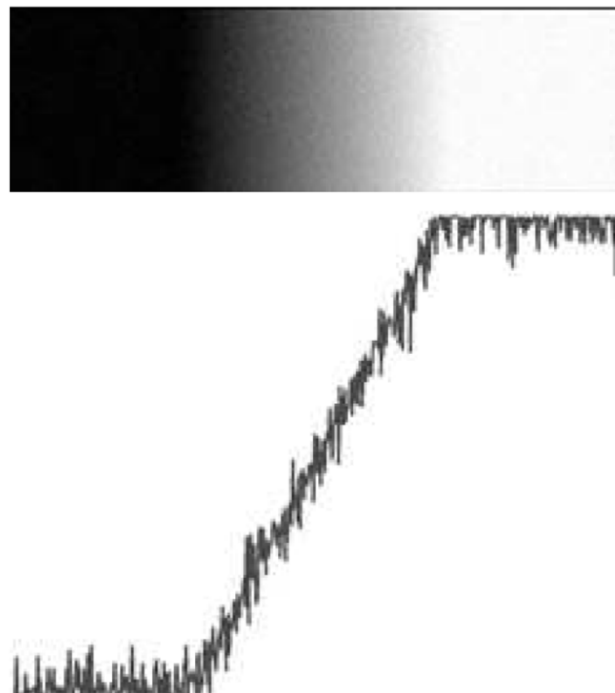
二阶导数



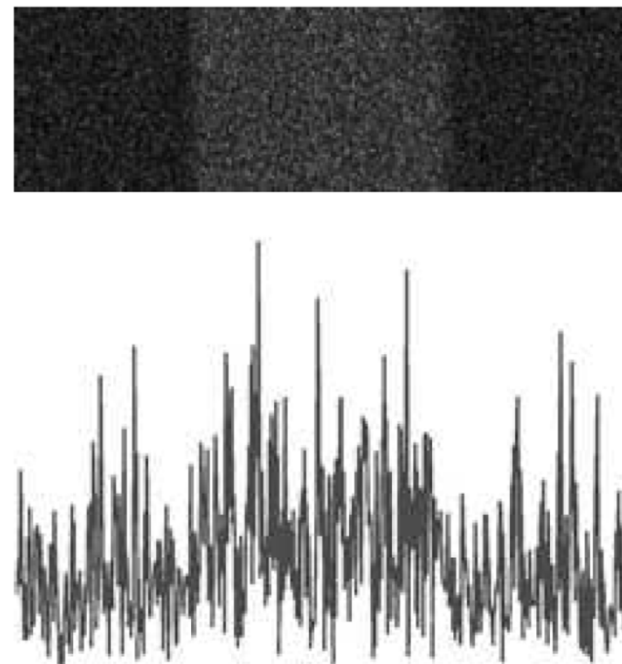
# 存在噪声的边缘

- 1、视觉上噪声并不明显
- 2、噪声对导数影响很大
- 3、导数无法辨认

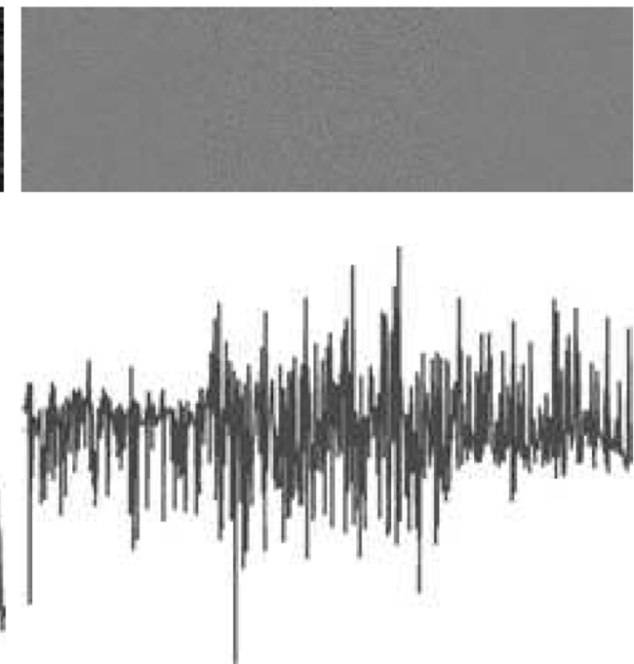
- 均值为0，标准差为10的高斯噪声



灰度图



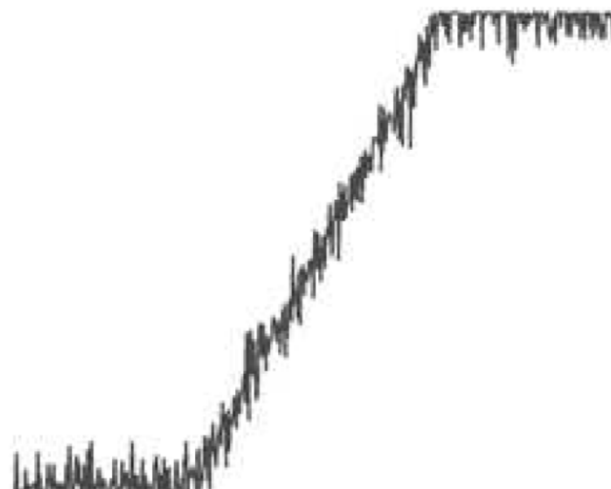
一阶导数



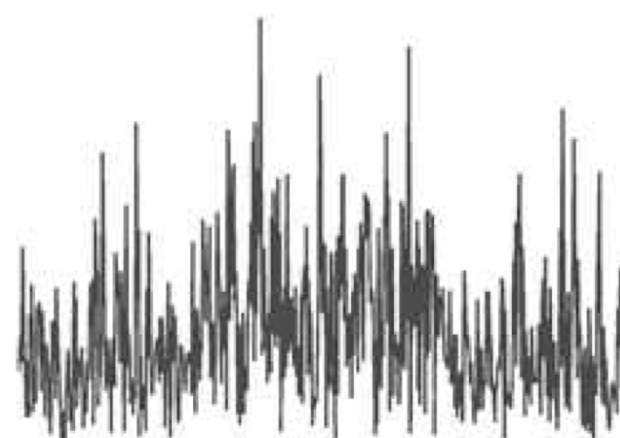
二阶导数

# 存在噪声的边缘

- 均值为0，标准差为10的高斯噪声



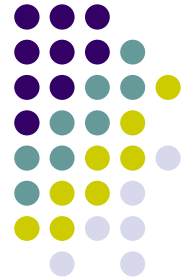
灰度图



一阶导数



二阶导数



# 边缘检测的三个基本步骤

1. 为降噪对图像进行平滑处理
  - 导数对噪声敏感
2. 边缘点的检测
  - 抽取所有的潜在边缘点
3. 边缘定位
  - 选出真正的边缘点



# 提纲

- 基础知识
- 点、线、边缘检测
  - 背景知识
  - 孤立点的检测
  - 线检测
  - 边缘模型
  - 基本边缘检测
  - 高级边缘检测
- 边缘连接和边界检测



# 图像梯度及其性质

- 利用梯度检测边缘
  - 梯度：最大变化率的方向
    - 线性算子  $\nabla f \equiv \text{grad}(f) \equiv \begin{bmatrix} g_x \\ g_y \end{bmatrix} = \begin{bmatrix} \frac{\partial f}{\partial x} \\ \frac{\partial f}{\partial y} \end{bmatrix}$
    - 大小
      - 非线性  $M(x, y) = \text{mag}(\nabla f) = \sqrt{g_x^2 + g_y^2}$
    - 方向  $\alpha(x, y) = \tan^{-1} \left[ \frac{g_y}{g_x} \right]$
    - 边缘的方向与梯度正交



# 图像梯度及其性质

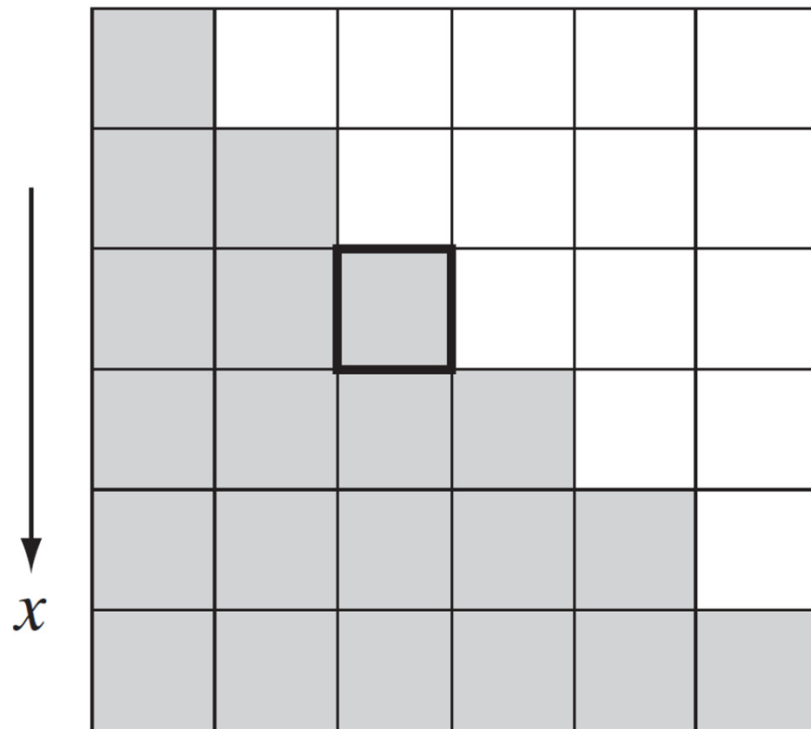
- 利用梯度检测边缘
  - 梯度：最大变化率的方向
    - 线性算子  $\nabla f \equiv \text{grad}(f) \equiv \begin{bmatrix} g_x \\ g_y \end{bmatrix} = \begin{bmatrix} \frac{\partial f}{\partial x} \\ \frac{\partial f}{\partial y} \end{bmatrix}$
    - 大小（近似计算）
      - 计算简单  $M(x, y) \approx |g_x| + |g_y|$
    - 方向  $\alpha(x, y) = \tan^{-1} \left[ \frac{g_y}{g_x} \right]$
    - 边缘的方向与梯度正交

# 举例



→  $y$

灰色代表0  
白色代表1



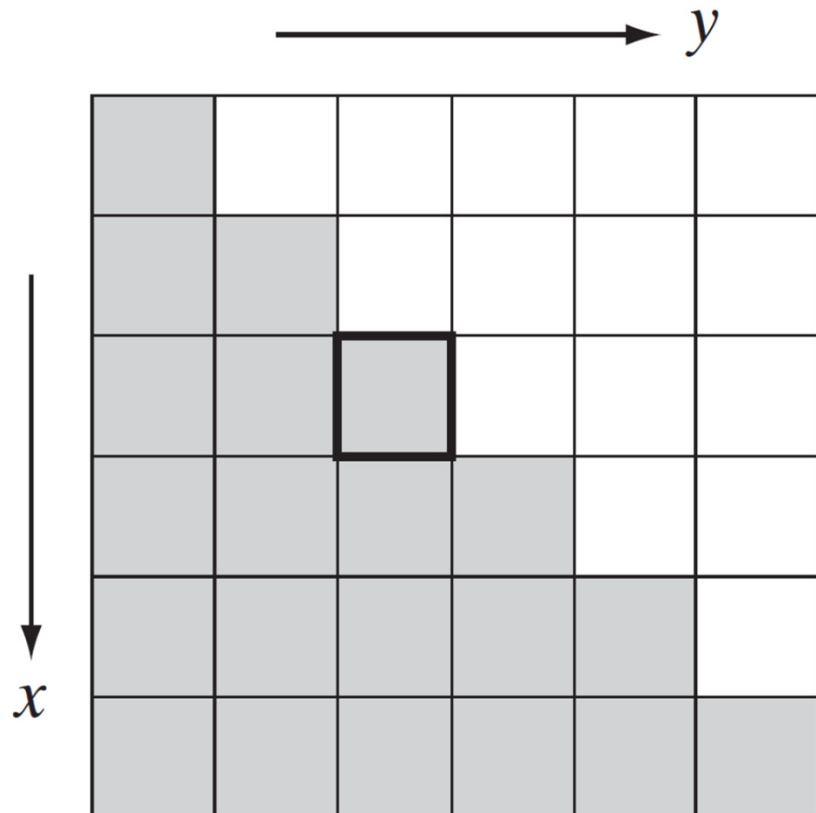
-1	-1	-1
0	0	0
1	1	1

-1	0	1
-1	0	1
-1	0	1

梯度计算模板



# 举例

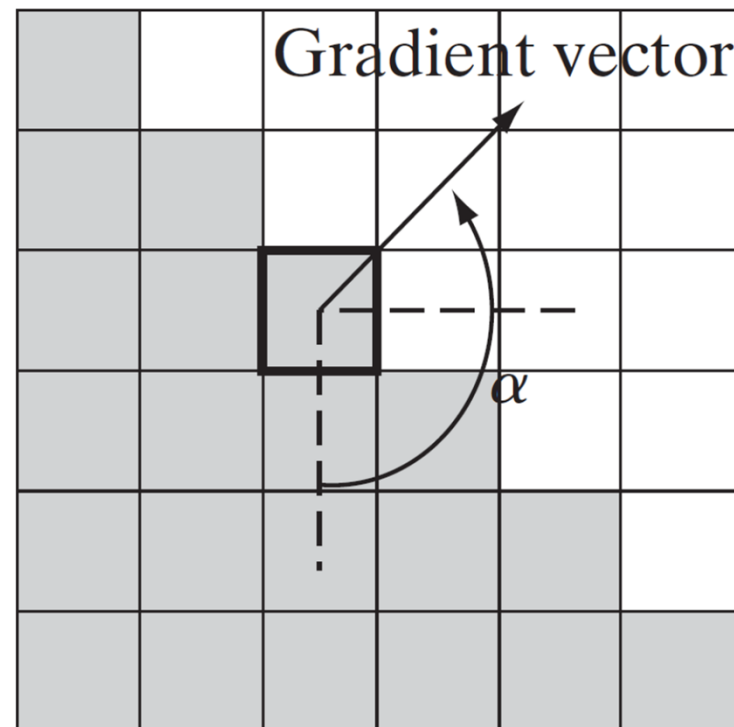
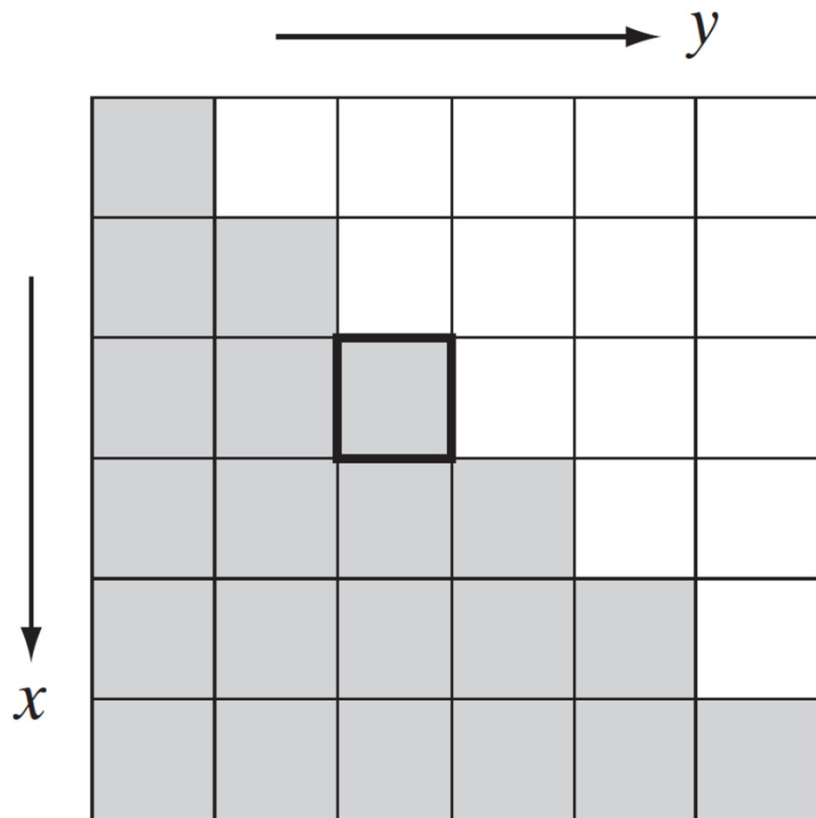


$$\nabla f = \begin{bmatrix} g_x \\ g_y \end{bmatrix} = \begin{bmatrix} \frac{\partial f}{\partial x} \\ \frac{\partial f}{\partial y} \end{bmatrix} = \begin{bmatrix} -2 \\ 2 \end{bmatrix}$$

$$M(x, y) = 2\sqrt{2}$$

$$\alpha(x, y) = \tan^{-1}(g_y/g_x) = -45^\circ$$

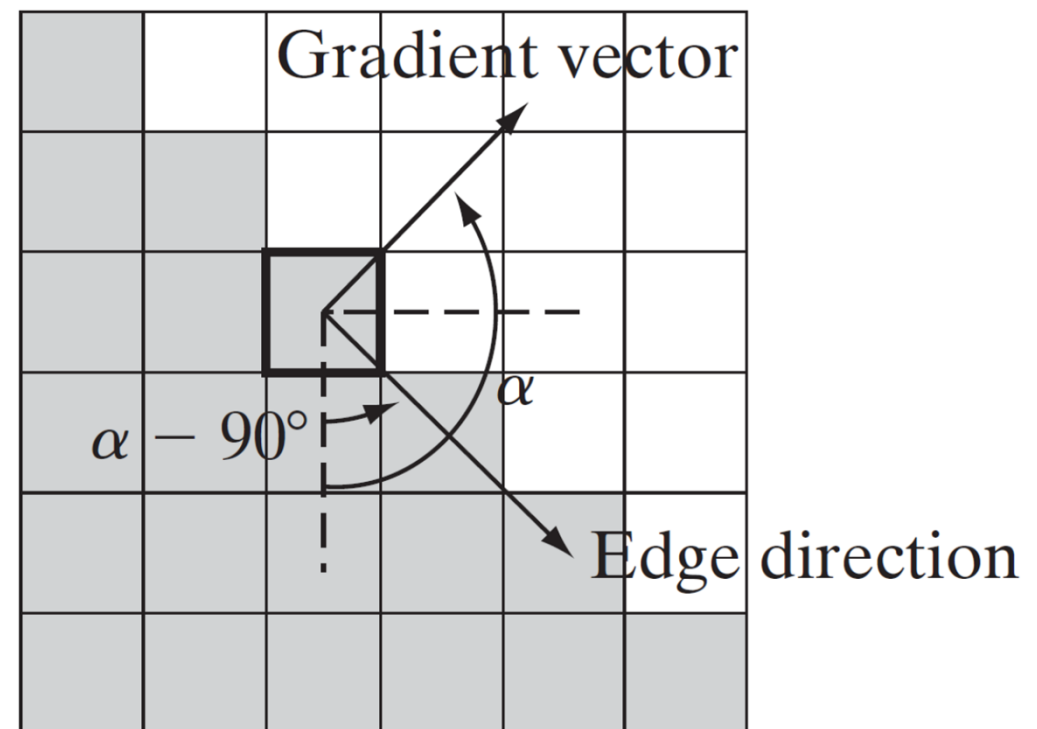
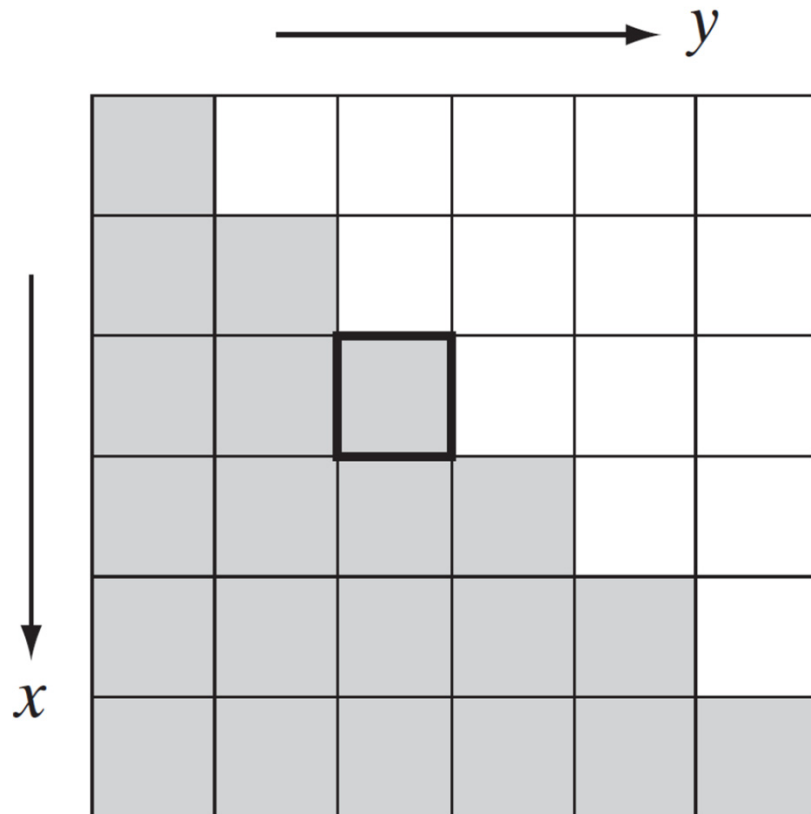
# 举例

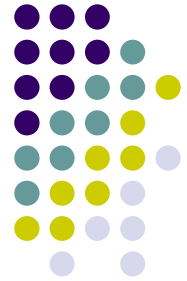




# 举例

梯度向量也被称为边缘法线（Edge Normal）





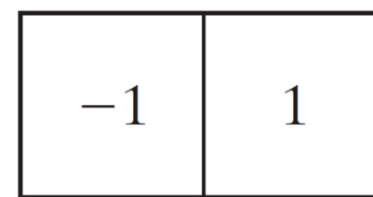
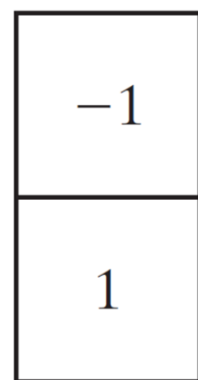
# 梯度算子

- 离散近似

$$g_x = \frac{\partial f(x, y)}{\partial x} = f(x + 1, y) - f(x, y)$$

$$g_y = \frac{\partial f(x, y)}{\partial y} = f(x, y + 1) - f(x, y)$$

- 1维模板





# 梯度算子

- 罗伯特交叉梯度算子
  - 考虑对角方向

$$g_x = \frac{\partial f}{\partial x} = (z_9 - z_5)$$

$$g_y = \frac{\partial f}{\partial y} = (z_8 - z_6)$$

- 2维模板

$z_1$	$z_2$	$z_3$
$z_4$	$z_5$	$z_6$
$z_7$	$z_8$	$z_9$

-1	0
0	1
0	-1

Roberts



# 梯度算子

- 普鲁伊特（Prewitt）算子
  - 关于中心点对称

$$g_x = \frac{\partial f}{\partial x} = (z_7 + z_8 + z_9) - (z_1 + z_2 + z_3)$$

$$g_y = \frac{\partial f}{\partial y} = (z_3 + z_6 + z_9) - (z_1 + z_4 + z_7)$$

- 2维模板

$z_1$	$z_2$	$z_3$
$z_4$	$z_5$	$z_6$
$z_7$	$z_8$	$z_9$

-1	-1	-1
0	0	0
1	1	1

-1	0	1
-1	0	1
-1	0	1

Prewitt

# 梯度算子

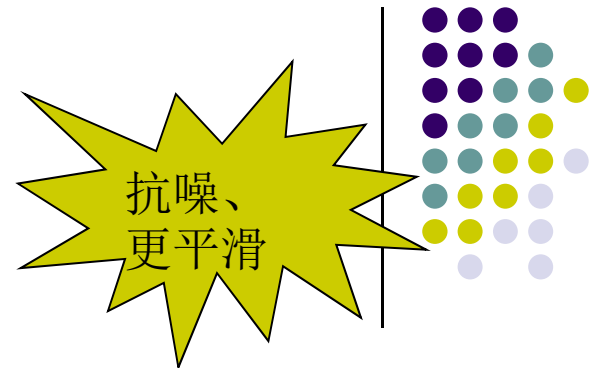
- Sobel算子

- 关于中心点对称

$$g_x = \frac{\partial f}{\partial x} = (z_7 + 2z_8 + z_9) - (z_1 + 2z_2 + z_3)$$

$$g_y = \frac{\partial f}{\partial y} = (z_3 + 2z_6 + z_9) - (z_1 + 2z_4 + z_7)$$

- 2维模板



$z_1$	$z_2$	$z_3$
$z_4$	$z_5$	$z_6$
$z_7$	$z_8$	$z_9$

-1	-2	-1
0	0	0
1	2	1

-1	0	1
-2	0	2
-1	0	1

Sobel



# 梯度算子

- 强调对角方向的算子

0	1	1
-1	0	1
-1	-1	0

-1	-1	0
-1	0	1
0	1	1

Prewitt

0	1	2
-1	0	1
-2	-1	0

-2	-1	0
-1	0	1
0	1	2

Sobel



# 举例

- 基于Sobel算子



原图

# 举例

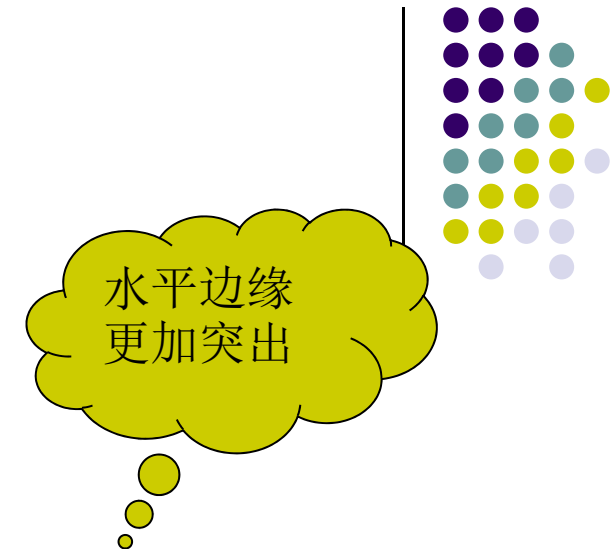
- 基于Sobel算子



原图



$|g_x|$



# 举例

- 基于Sobel算子



原图



$|g_y|$

垂直边缘  
更加突出



# 举例

- 基于Sobel算子



原图



$$|g_x| + |g_y|$$



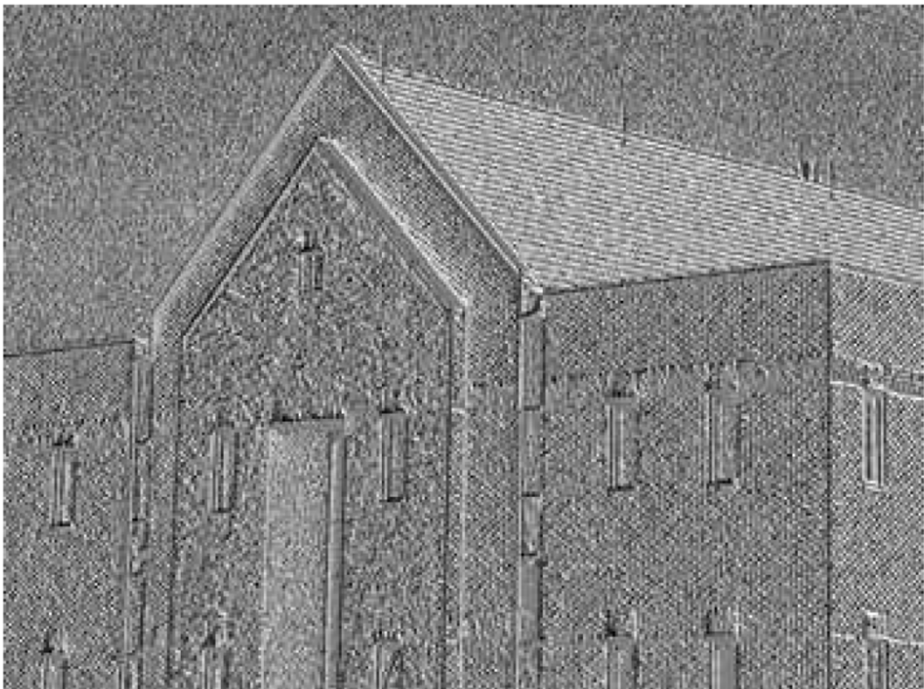


# 举例

- 基于Sobel算子



原图



角度

- 1、相对而言不是很有用
- 2、常数区域表示梯度方向一样



# 举例

- 去掉砖块的影响



平滑后的图像



$|g_x|$



# 举例

- 去掉砖块的影响



平滑后的图像



$|g_y|$



# 举例

- 去掉砖块的影响



平滑后的图像



$|g_x| + |g_y|$



# 举例

- 对比



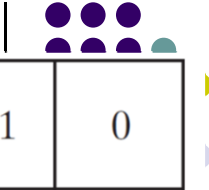
$$|g_x| + |g_y|$$



$$\text{平滑 } |g_x| + |g_y|$$

# 举例

- 强调对角线上的边缘



0	1	2
-1	0	1
-2	-1	0

-2	-1	0
-1	0	1
0	1	2

Sobel



# 阈值化

- 保留超过最大值33%的像素
  - 初始图像未平滑处理

边缘出现中断



$$|g_x| + |g_y|$$



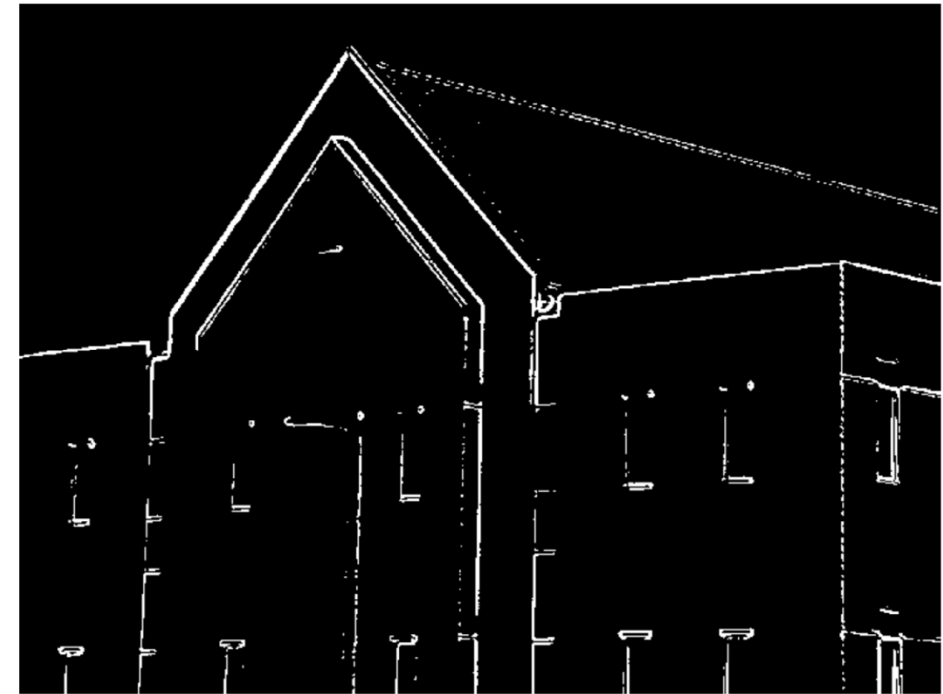
阈值化

# 阈值化

- 保留超过最大值33%的像素
  - 初始图像平滑处理



$$|g_x| + |g_y|$$



阈值化

# 阈值化

- 保留超过最大值33%的像素



阈值化



平滑后阈值化



# 提纲

- 基础知识
- 点、线、边缘检测
  - 背景知识
  - 孤立点的检测
  - 线检测
  - 边缘模型
  - 基本边缘检测
  - 高级边缘检测
- 边缘连接和边界检测



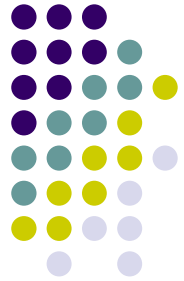
# 高级边缘检测

- 基本边缘检测
  - 没有考虑边缘的性质
  - 没有考虑噪声模型
- Marr-Hildreth边缘检测器
- 坎尼 (Canny) 边缘检测器



# Marr-Hildreth边缘检测器

1. 灰度变化和图像尺度有关
  - 需要用不同尺寸的算子
2. 灰度变化会影响导数
  - 一阶导数出现波峰或波谷
  - 二阶导数出现零交叉
- 理想的检测器具备如下功能
  1. 能够近似1阶或2阶导数
  2. 能够被调整以在不同尺寸上起作用
    - 大的算子检测模糊边缘、小的算子检测细节



# Marr-Hildreth边缘检测器

- 滤波器  $\nabla^2 G$ 
  - $\nabla^2$  是拉普拉斯算子

$$\nabla^2 = \frac{\partial^2}{\partial x^2} + \frac{\partial^2}{\partial y^2}$$

- $G$  是2维高斯函数

$$G(x, y) = e^{-\frac{x^2+y^2}{2\sigma^2}}$$

- 其中  $\sigma$  是标准差
- 满足上页两个条件的最佳算子



# Marr-Hildreth边缘检测器

- 滤波器  $\nabla^2 G$

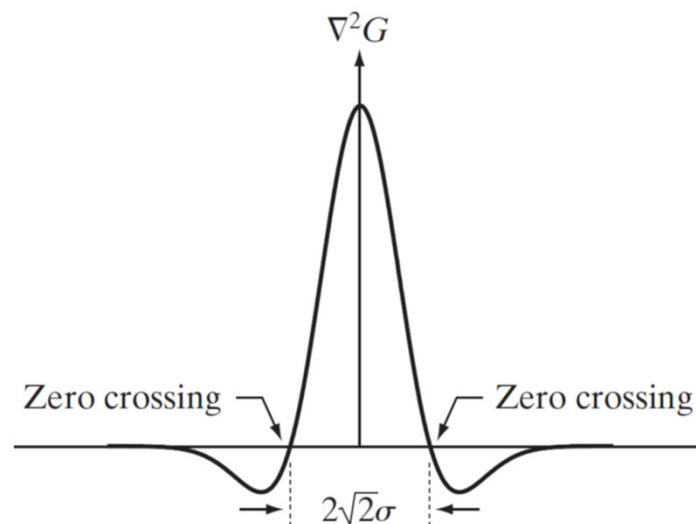
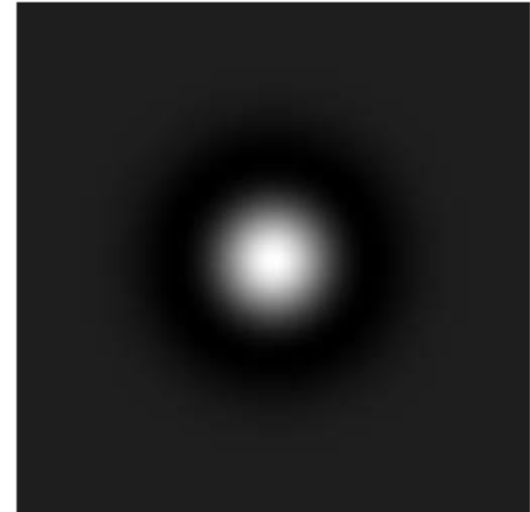
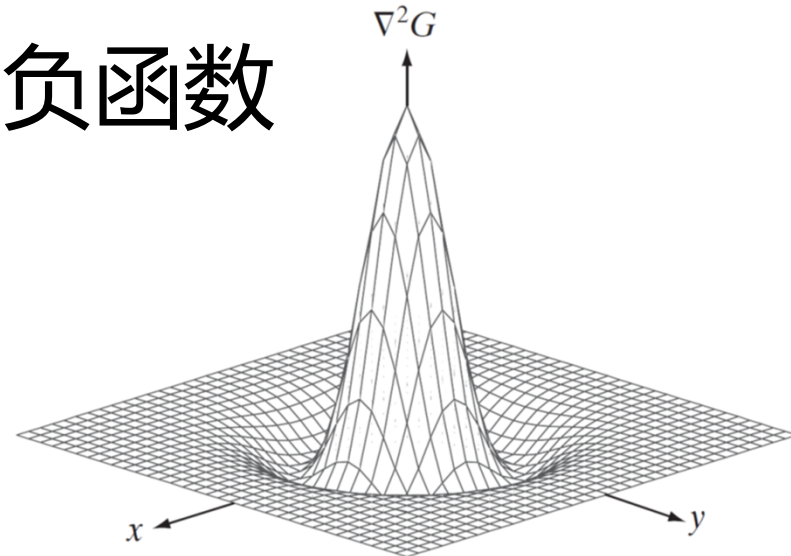
$$\begin{aligned}\nabla^2 G(x, y) &= \frac{\partial^2 G(x, y)}{\partial x^2} + \frac{\partial^2 G(x, y)}{\partial y^2} \\&= \frac{\partial}{\partial x} \left[ \frac{-x}{\sigma^2} e^{-\frac{x^2+y^2}{2\sigma^2}} \right] + \frac{\partial}{\partial y} \left[ \frac{-y}{\sigma^2} e^{-\frac{x^2+y^2}{2\sigma^2}} \right] \\&= \left[ \frac{x^2}{\sigma^4} - \frac{1}{\sigma^2} \right] e^{-\frac{x^2+y^2}{2\sigma^2}} + \left[ \frac{y^2}{\sigma^4} - \frac{1}{\sigma^2} \right] e^{-\frac{x^2+y^2}{2\sigma^2}} \\&= \left[ \frac{x^2 + y^2 - 2\sigma^2}{\sigma^4} \right] e^{-\frac{x^2+y^2}{2\sigma^2}}\end{aligned}$$

- 高斯的拉普拉斯 (LoG)



# 高斯的拉普拉斯 (LoG)

- LoG的负函数



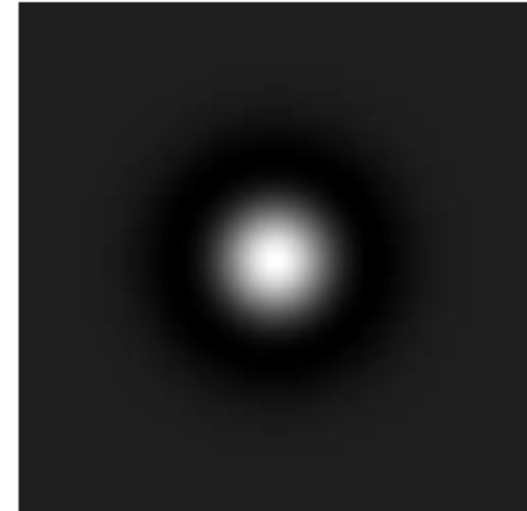
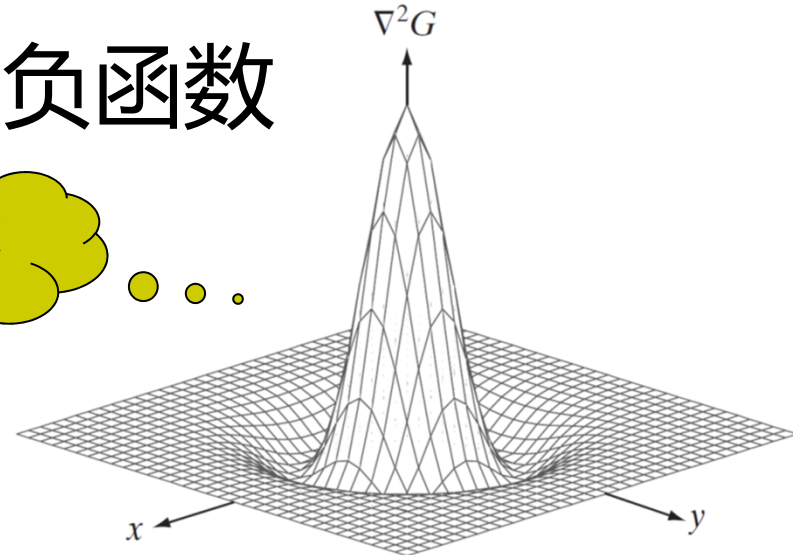
0	0	-1	0	0
0	-1	-2	-1	0
-1	-2	16	-2	-1
0	-1	-2	-1	0
0	0	-1	0	0



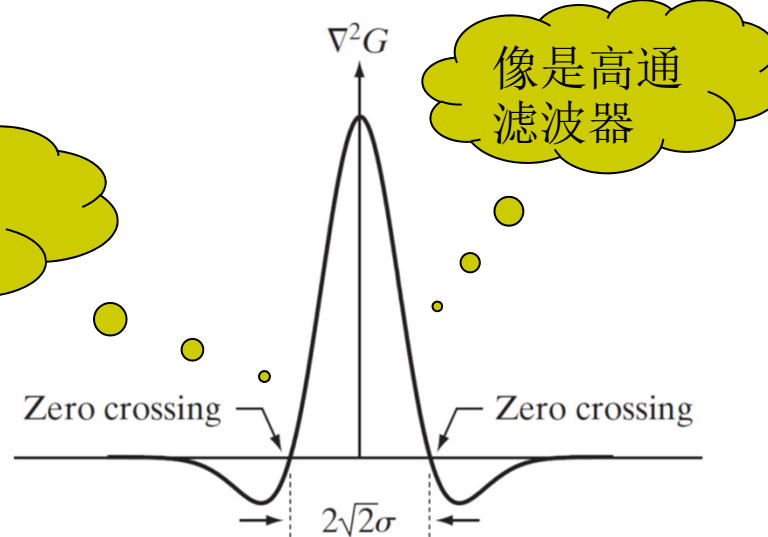
# 高斯的拉普拉斯 (LoG)

- LoG的负函数

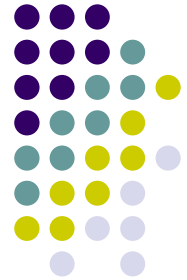
墨西哥草帽算子



零交叉出现在  
 $x^2 + y^2 = 2\sigma^2$



0	0	-1	0	0
0	-1	-2	-1	0
-1	-2	16	-2	-1
0	-1	-2	-1	0
0	0	-1	0	0



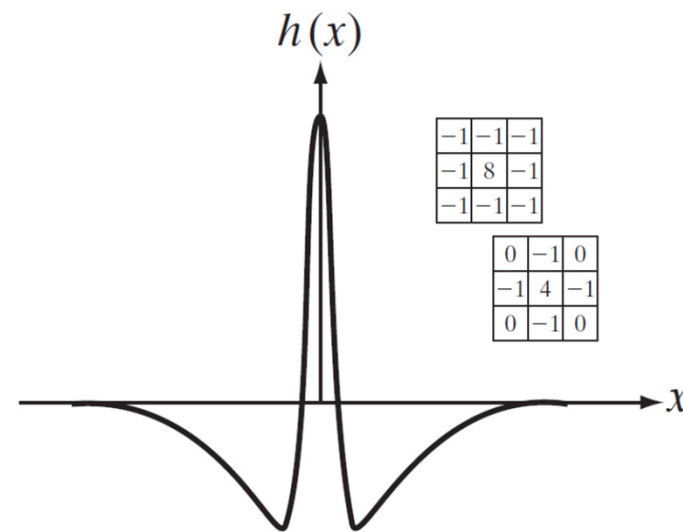
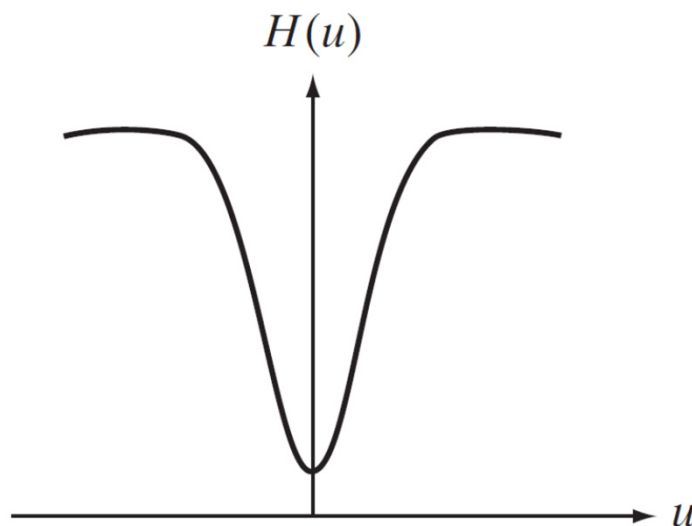
# 频率域滤波器→空间滤波器

- 利用高斯函数构造高通滤波器

$$H(u) = Ae^{-u^2/2\sigma_1^2} - Be^{-u^2/2\sigma_2^2}$$

- 空间域对应的滤波器

$$h(x) = \sqrt{2\pi}\sigma_1 A e^{-2\pi^2\sigma_1^2x^2} - \sqrt{2\pi}\sigma_2 B e^{-2\pi^2\sigma_2^2x^2}$$





# LoG模板的生成

- 生成不同尺寸的模板

$$\nabla^2 G(x, y) = \left[ \frac{x^2 + y^2 - 2\sigma^2}{\sigma^4} \right] e^{-\frac{x^2+y^2}{2\sigma^2}}$$

1. 对上式进行采样，得到 $n \times n$ 的模板
2. 缩放系数，保证求和为0

$$G(x, y) = e^{-\frac{x^2+y^2}{2\sigma^2}}$$



- a) 对上式进行采样，得到 $n \times n$ 的模板
- b) 与拉普拉斯模板卷积
  - 系数之和自动为0



# LoG的优势

$$\nabla^2 G(x, y) = \left[ \frac{x^2 + y^2 - 2\sigma^2}{\sigma^4} \right] e^{-\frac{x^2+y^2}{2\sigma^2}}$$

- 优势

1. 高斯部分会模糊图像
  - 可以去掉尺寸小于 $\sigma$ 的细节，比如噪声
  - 高斯函数曲线平滑，不会引入振铃等干扰
2. 二阶导数
  - 各向同性，对任何方向的变化有相同的相应
  - 符合人的视觉系统



# 两种实现方式

- 将LoG滤波器和图像卷积

$$g(x, y) = [\nabla^2 G(x, y)] \star f(x, y)$$

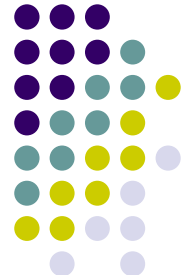
- 寻找零交叉来确定边缘位置

- 等价形式

- 卷积和二阶导是线性操作

$$g(x, y) = \nabla^2 [G(x, y) \star f(x, y)]$$

1. 先用高斯滤波器平滑图像
2. 再应用拉普拉斯算子



# Marr-Hildreth边缘检测器

1. 用 $n \times n$ 的高斯低通滤波器平滑图像
  - 滤波器通过对高斯函数采样得到

$$G(x, y) = e^{-\frac{x^2 + y^2}{2\sigma^2}}$$

$n$ 是大于等于  
 $6\sigma$ 的最小奇数

2. 计算上述图像的拉普拉斯

1	1	1
1	-8	1
1	1	1

- 1. 检查某像素两个相对邻域像素的符号  
(上下、左右、两对角)
- 2. 符号相反，并且差异大于某阈值

3. 寻找上述结果的零交叉

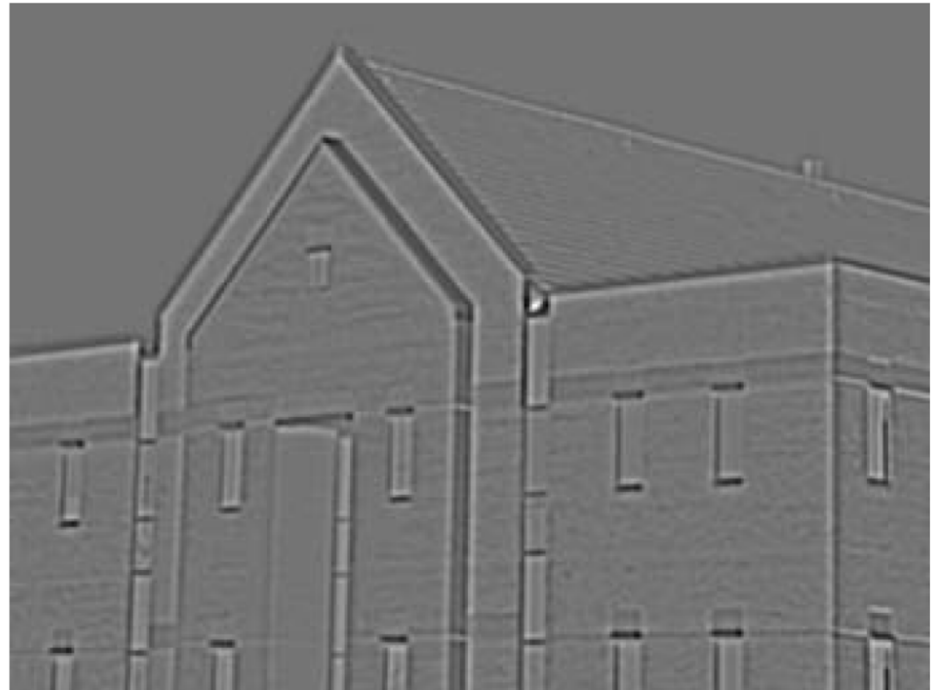


# 举例

- Marr-Hildreth边缘检测器



原图



前两步骤的结果



# 举例

- Marr-Hildreth边缘检测器



产生闭环，  
“意大利空  
心粉”效应

零交叉（阈值为0）

# 举例

- Marr-Hildreth边缘检测器



零交叉（阈值为0）



零交叉（阈值为最大值的4%）

边缘的宽  
度为1



# 扩展

1. 考虑不同的尺度
  - 尝试不同的 $\sigma$ , 保留共同的零交叉
2. 使用高斯差分 (DoG) 来近似LoG

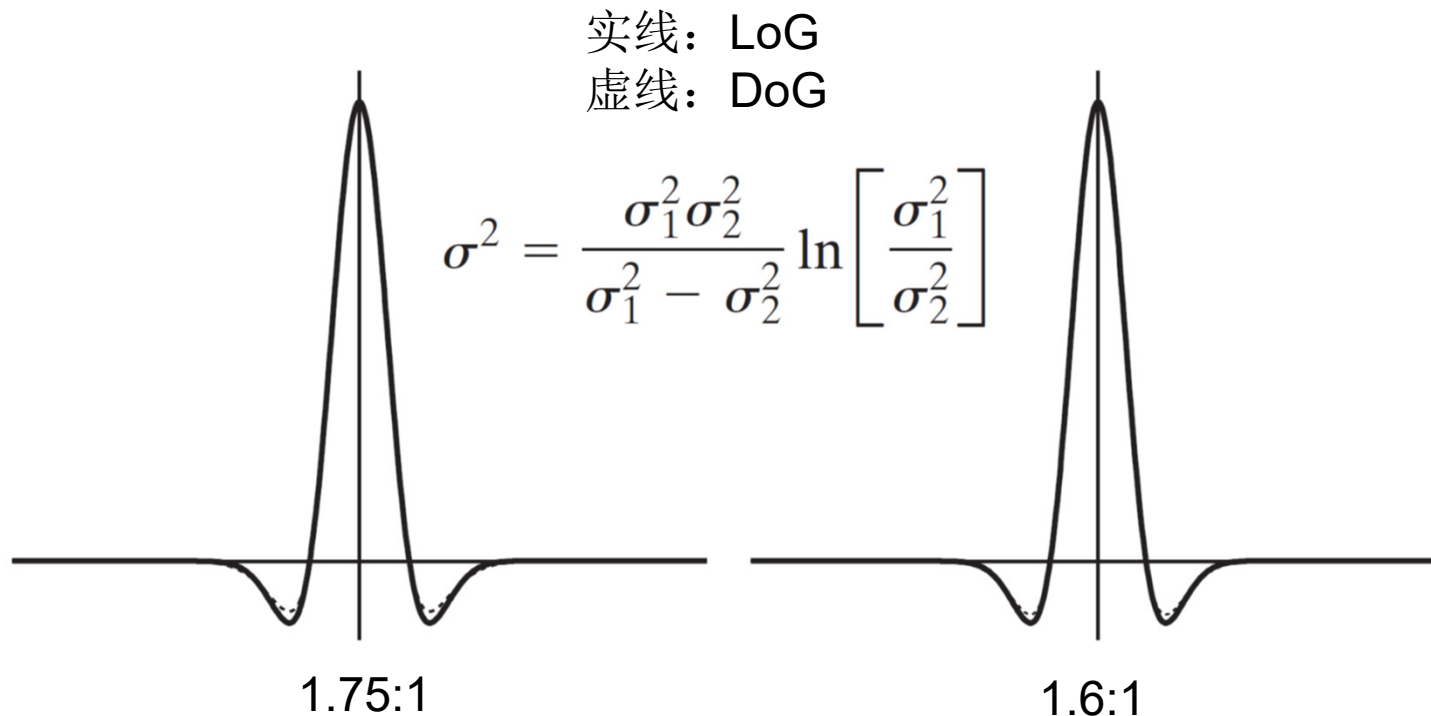
$$\text{DoG}(x, y) = \frac{1}{2\pi\sigma_1^2} e^{-\frac{x^2+y^2}{2\sigma_1^2}} - \frac{1}{2\pi\sigma_2^2} e^{-\frac{x^2+y^2}{2\sigma_2^2}}$$

- 人视觉系统的某些通道对方向和频率是有选择的 (标准差比值为1.75:1)
- 采用1.6:1, 可以建模上述现象, 并很好地近似LoG



# 扩展

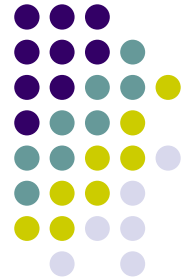
1. 考虑不同的尺度
  - 尝试不同的 $\sigma$ , 保留共同的零交叉
2. 使用高斯差分 (DoG) 来近似LoG





# 高级边缘检测

- 基本边缘检测
  - 没有考虑边缘的性质
  - 没有考虑噪声模型
- Marr-Hildreth边缘检测器
- 坎尼 (Canny) 边缘检测器



# 坎尼（Canny）边缘检测器

## 1. 低错误率

- 所有边缘都被找到，并且没有伪响应

## 2. 边缘点应被很好地定位

- 已定位的边缘必须尽可能接近真实边缘

## 3. 单一的边缘点响应

- 对每个真实边缘点，检测器仅返回1个点



# 坎尼 (Canny) 边缘检测器

- 数学分析
  - 考虑加性高斯白噪声污染的1维台阶边缘
  - 高斯一阶导数是近似最优的检测器
- 拓展到二维情况
  - 挑战：边缘可能是任意方向
  - 使用二维高斯函数平滑图像
  - 基于梯度寻找边缘的方向



# 坎尼 (Canny) 边缘检测器

1. 高斯函数平滑输入图像 $f$

$$f_s(x, y) = G(x, y) \star f(x, y)$$

- 其中

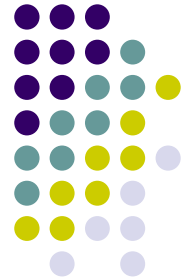
$$G(x, y) = e^{-\frac{x^2+y^2}{2\sigma^2}}$$

2. 计算图像 $f_s$ 的梯度

- 梯度大小  $M(x, y) = \sqrt{g_x^2 + g_y^2}$

- 梯度方向  $\alpha(x, y) = \tan^{-1} \left[ \frac{g_y}{g_x} \right]$

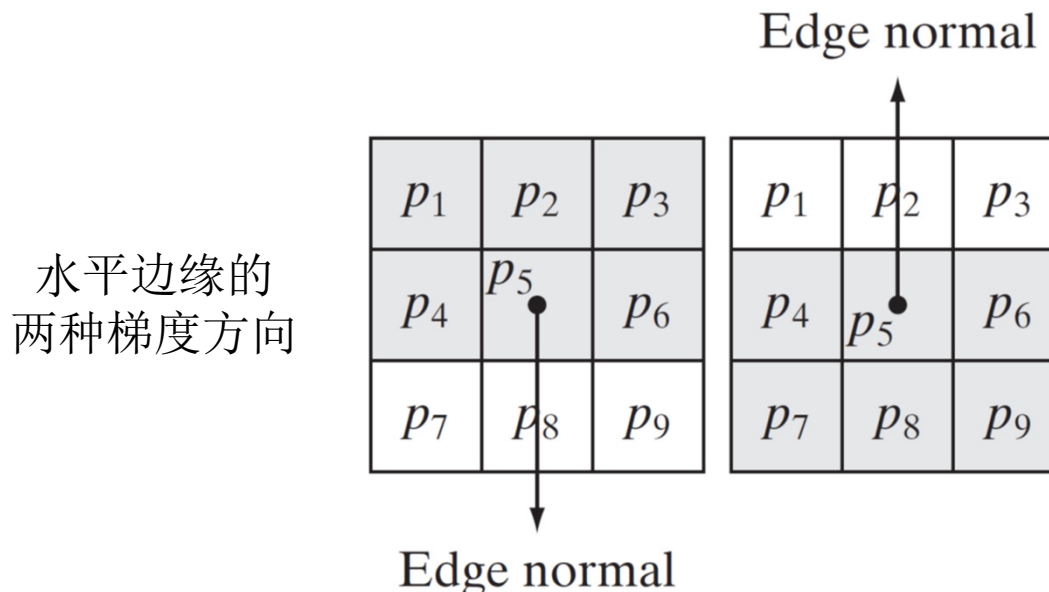
- 其中  $g_x = \partial f_s / \partial x$ ,  $g_y = \partial f_s / \partial y$

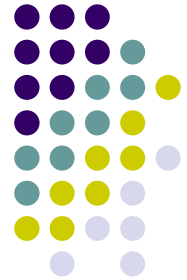


# 坎尼 (Canny) 边缘检测器

## 3. 非最大抑制

- 目的：把梯度生成的粗边缘变细
- 指定梯度（边缘法线）的多个离散方向
  - 4种边缘：水平、垂直、 $+45^\circ$ 、 $-45^\circ$

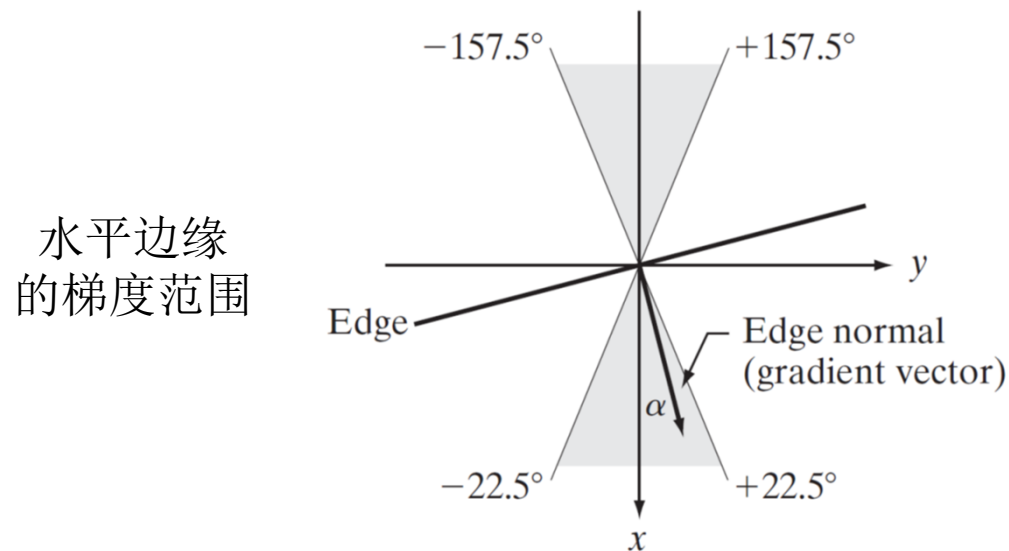




# 坎尼 (Canny) 边缘检测器

## 3. 非最大抑制

- 目的：把梯度生成的粗边缘变细
- 指定梯度（边缘法线）的多个离散方向
  - 4种边缘：水平、垂直、 $+45^\circ$ 、 $-45^\circ$
- 根据梯度（边缘法线）的方向确定边缘的方向

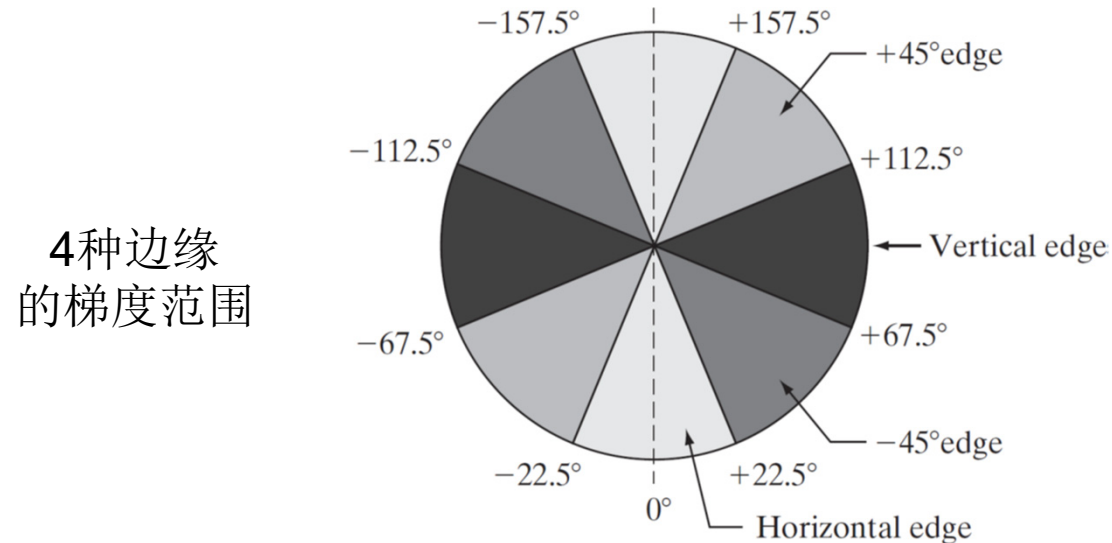




# 坎尼 (Canny) 边缘检测器

## 3. 非最大抑制

- 目的：把梯度生成的粗边缘变细
- 指定梯度（边缘法线）的多个离散方向
  - 4种边缘：水平、垂直、 $+45^\circ$ 、 $-45^\circ$
- 根据梯度（边缘法线）的方向确定边缘的方向





# 坎尼 (Canny) 边缘检测器

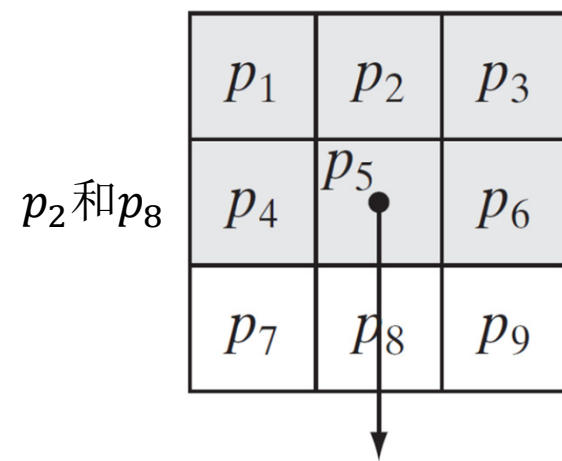
## 3. 非最大抑制

- 考虑 $(x, y)$ 为中心的 $3 \times 3$ 区域
- 考虑4个方向：水平、垂直、 $+45^\circ$ 、 $-45^\circ$
- 确定和梯度 $a(x, y)$ 最接近的方向 $d_k$
- 如果 $M(x, y)$ 的值比 $(x, y)$ 在 $d_k$ 方向的任一邻居数值小，对其抑制：

$$g_N(x, y) = 0$$

- 否则，保留：

$$g_N(x, y) = M(x, y)$$





# 坎尼 (Canny) 边缘检测器

## 4. 滞后阈值

- 目的：减少伪边缘点
- 两个阈值：低阈值 $T_L$ 、高阈值 $T_H$
- 两个阈值的比值为：2:1或3:1
- 利用 $T_H$ 阈值化
  - 强边缘点  $g_{NH}(x, y) = g_N(x, y) \geq T_H$
- 利用 $T_L$ 阈值化

$$g_{NL}(x, y) = g_N(x, y) \geq T_L$$

- $g_{NL}$ 包含 $g_{NH}$ 的所有非零元素



# 坎尼 (Canny) 边缘检测器

## 4. 滞后阈值

- 去掉 $g_{NL}$ 中和 $g_{NH}$ 重复的点

$$g_{NL}(x, y) = g_{NL}(x, y) - g_{NH}(x, y)$$

- 弱边缘点

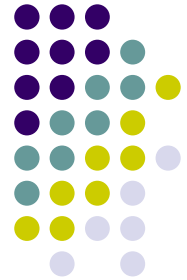
## 5. 连通性分析

- a. 遍历 $g_{NH}$ 中的每一个点 $p$

- ① 保留 $g_{NL}$ 中和 $p$ 连通（例如8连通）的点

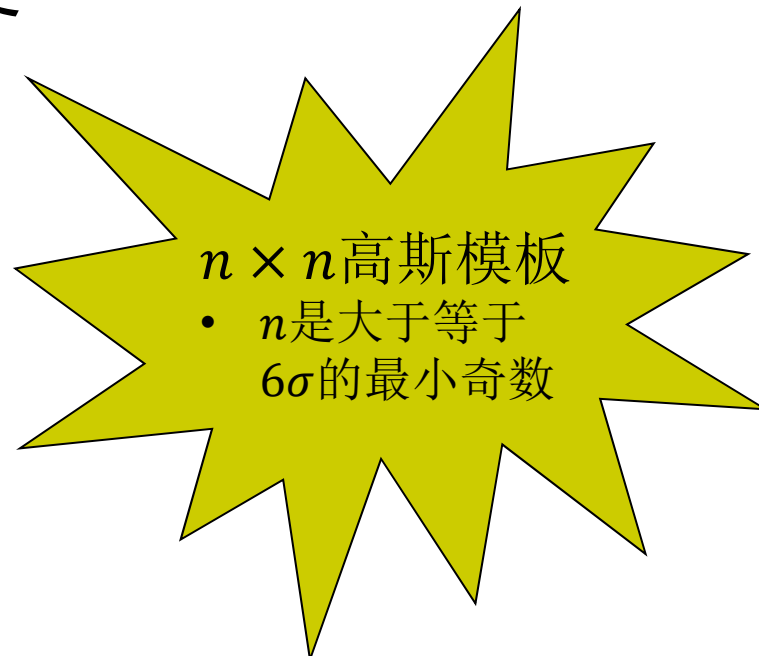
- b. 去掉 $g_{NL}$ 剩余的点

- c. 合并 $g_{NH}$ 和 $g_{NL}$



# 坎尼 (Canny) 边缘检测器

1. 高斯函数平滑输入图像
2. 计算图像的梯度
  - 梯度大小、梯度角度
3. 非最大抑制
  - 得到细边缘
4. 延后阈值
  - 检测边缘
5. 连通性分析
  - 连接边缘



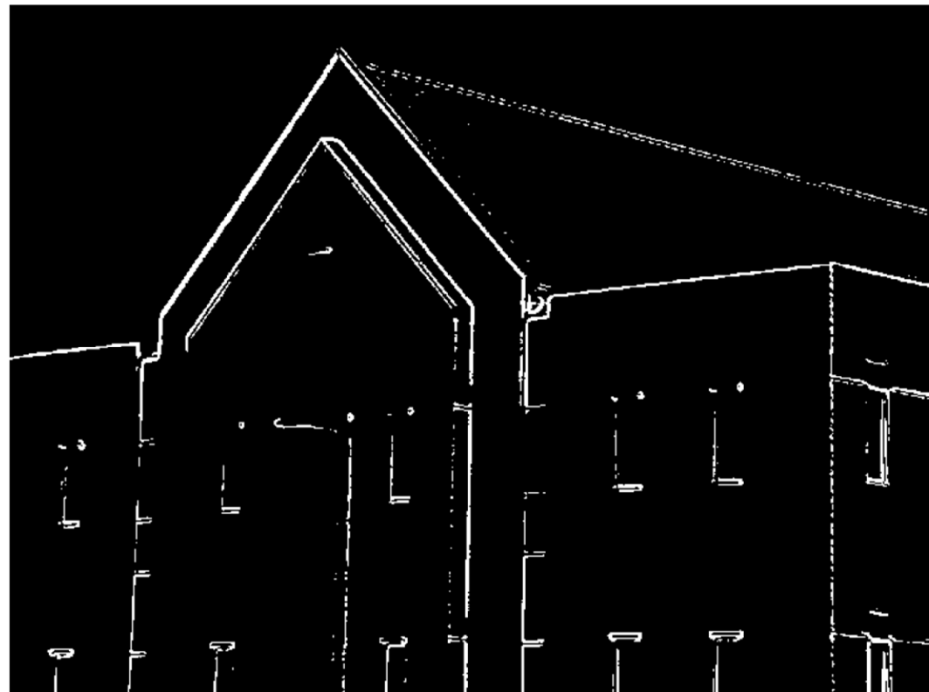


# 举例

- 基本边缘检测
  - 高斯平滑图像→梯度阈值化



原图



梯度阈值化



# 举例

- 高级边缘检测



Marr-Hildreth边缘检测器



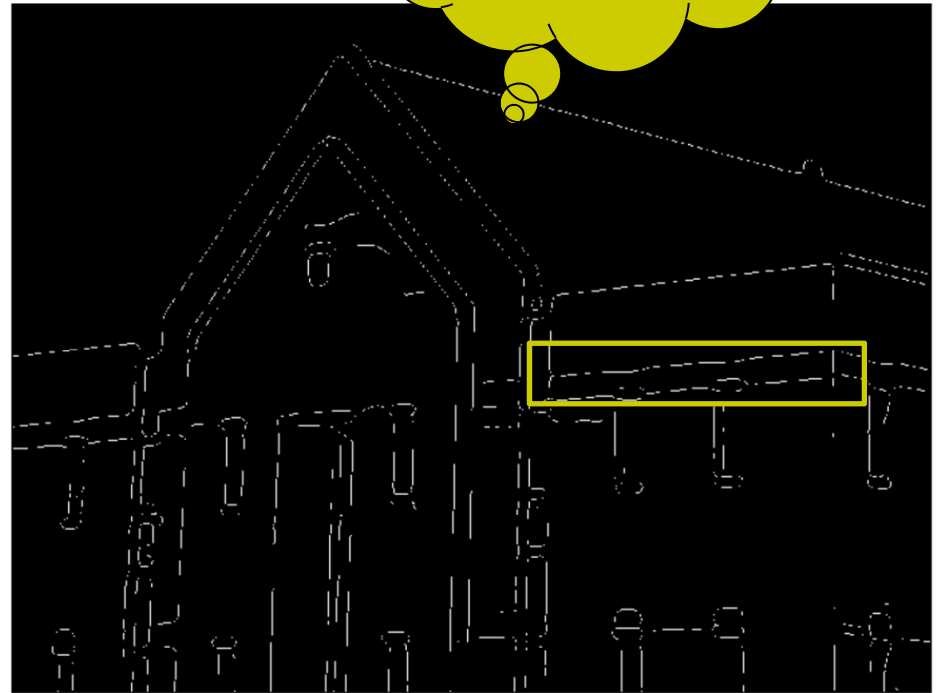
坎尼边缘检测器

# 举例

- 高级边缘检测



Marr-Hildreth边缘检测器



坎尼边缘检测器



屋瓦产生的  
边缘完全消  
除



# 举例

- 基本边缘检测



原图



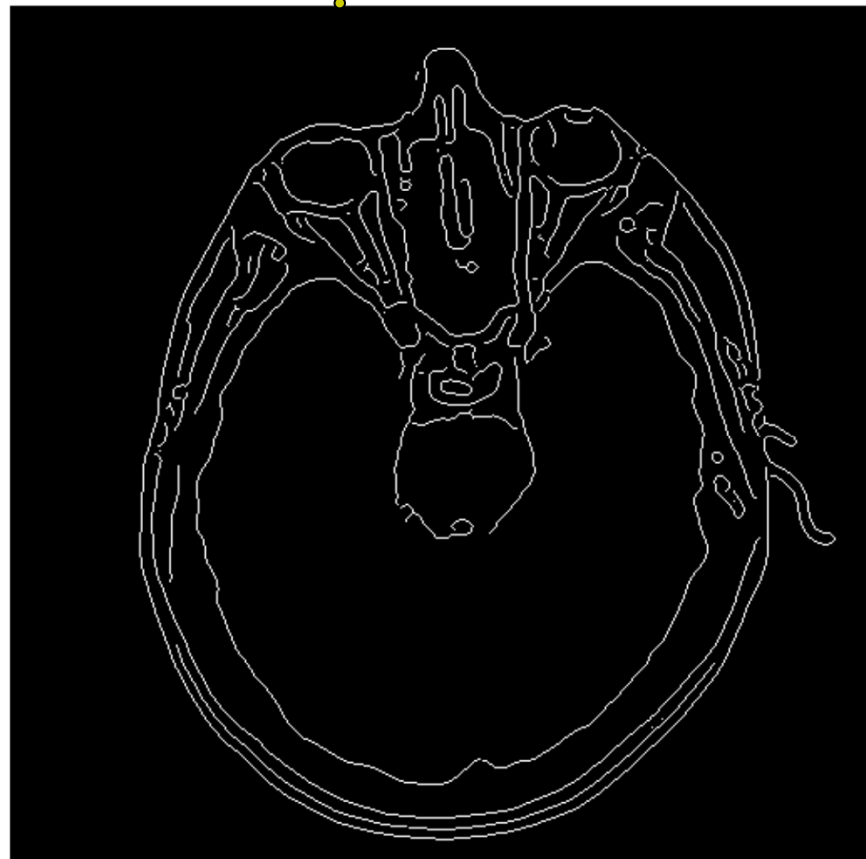
梯度阈值化

# 举例

- 高级边缘检测



Marr-Hildreth边缘检测器



坎尼边缘检测器

连通性更好  
噪声更少





# 提纲

- 基础知识
- 点、线、边缘检测
  - 背景知识
  - 孤立点的检测
  - 线检测
  - 边缘模型
  - 基本边缘检测
  - 高级边缘检测
- 边缘连接和边界检测



# 背景

- 边缘检测的结果不完美
  - 噪声
  - 不均匀照明导致的边缘间断
  - 虚假的灰度值不连续
- 边缘连接
  - 将边缘像素组合成有意义的边缘或区域边界
    1. 局部处理
    2. 区域处理
    3. 全局处理 (使用霍夫变换)



# 提纲

- 边缘连接和边界检测
  - 局部处理
  - 区域处理
  - 全局处理



# 局部处理

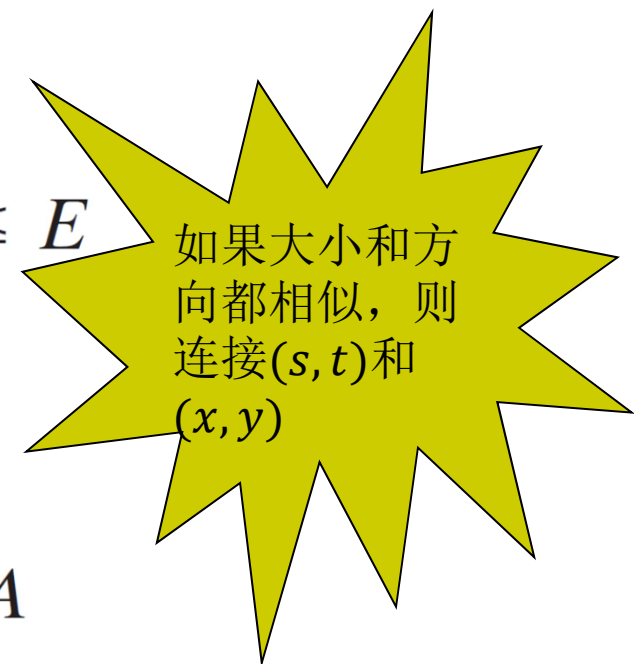
1. 分析每个候选点 $(x, y)$ 邻域内像素的特点
2. 将依据某准则相似的点连接起来

- a. 基于梯度大小判断相似

$$|M(s, t) - M(x, y)| \leq E$$

- $(s, t)$ 在 $(x, y)$ 的邻域内
- b. 基于梯度方向判断相似

$$|\alpha(s, t) - \alpha(x, y)| \leq A$$





# 局部处理

- 简化算法（计算简单）

1. 计算输入图像 $f(x, y)$ 的梯度大小和方向
  - 梯度大小 $M(x, y)$ , 梯度方向 $a(x, y)$
2. 依据下式生产二值图像

$$g(x, y) = \begin{cases} 1 & \text{if } M(x, y) > T_M \text{ AND } \alpha(x, y) = A \pm T_A \\ 0 & \text{otherwise} \end{cases}$$

- $T_M$ 为阈值、 $A$ 为特定角度、 $T_A$ 为允许的带宽
3. 逐行扫描, 填充长度不超过 $K$ 的空隙
  4. 以角度 $\theta$ 旋转 $g(x, y)$ , 重复第3步, 再反旋转

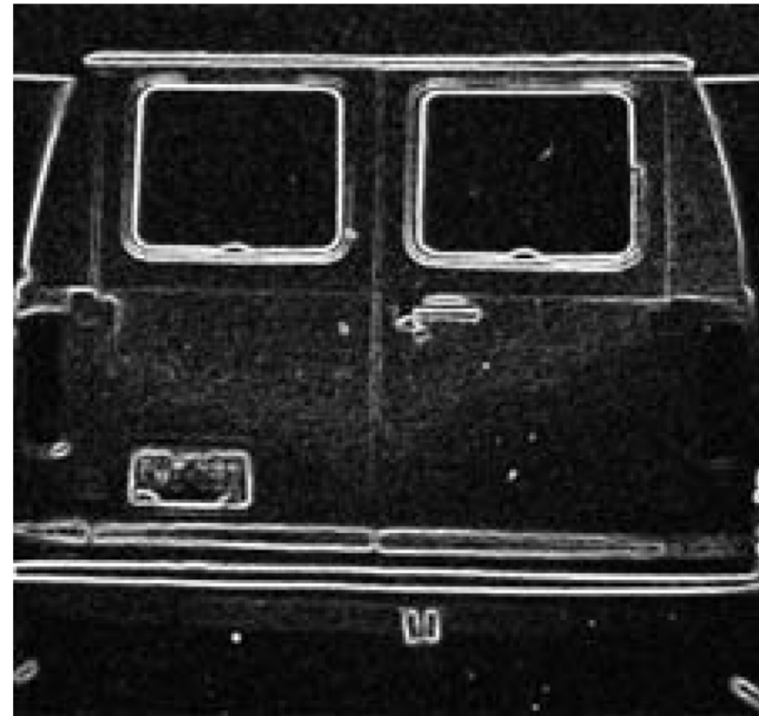


# 举例

- 寻找车牌



汽车尾部图像

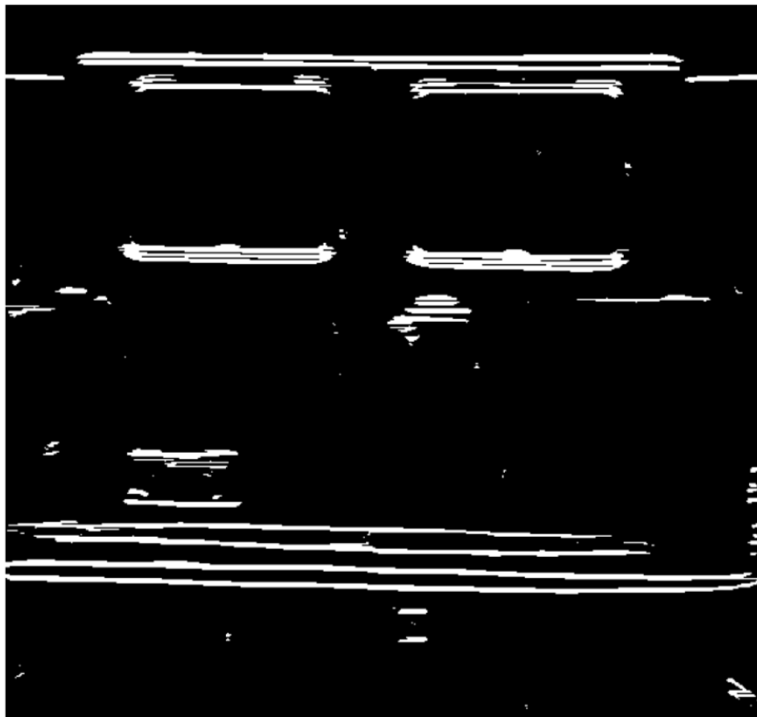


梯度大小图像

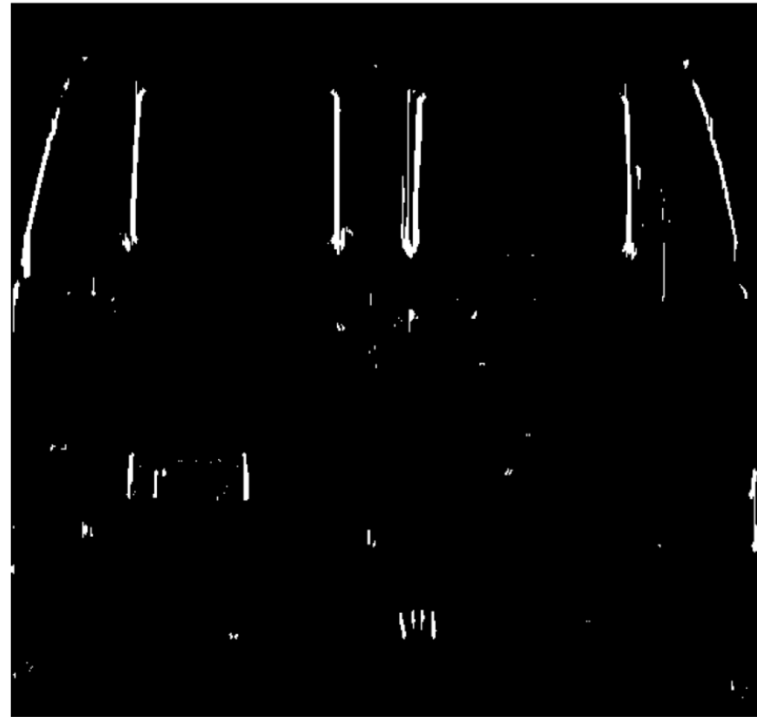


# 举例

- 寻找车牌



水平连接的边缘像素



垂直连接的边缘像素

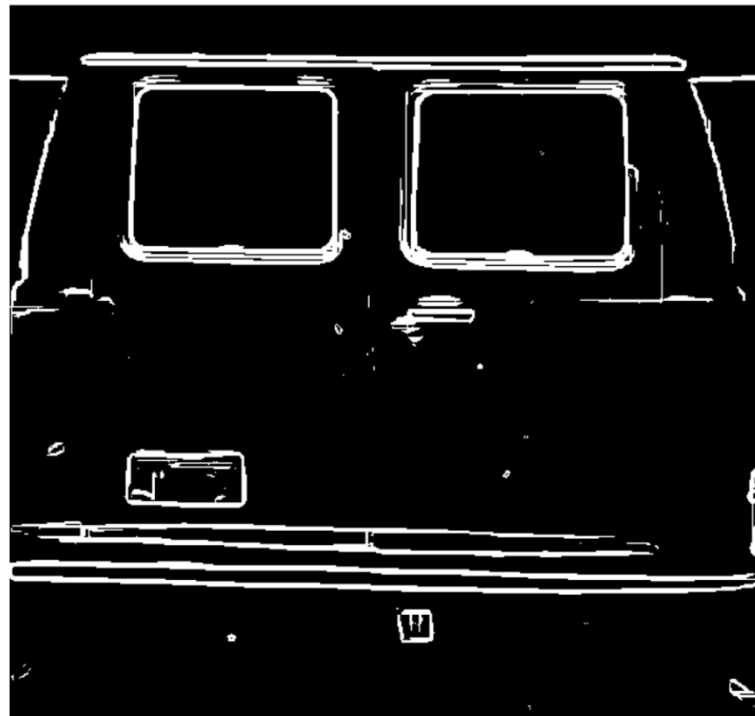


# 举例

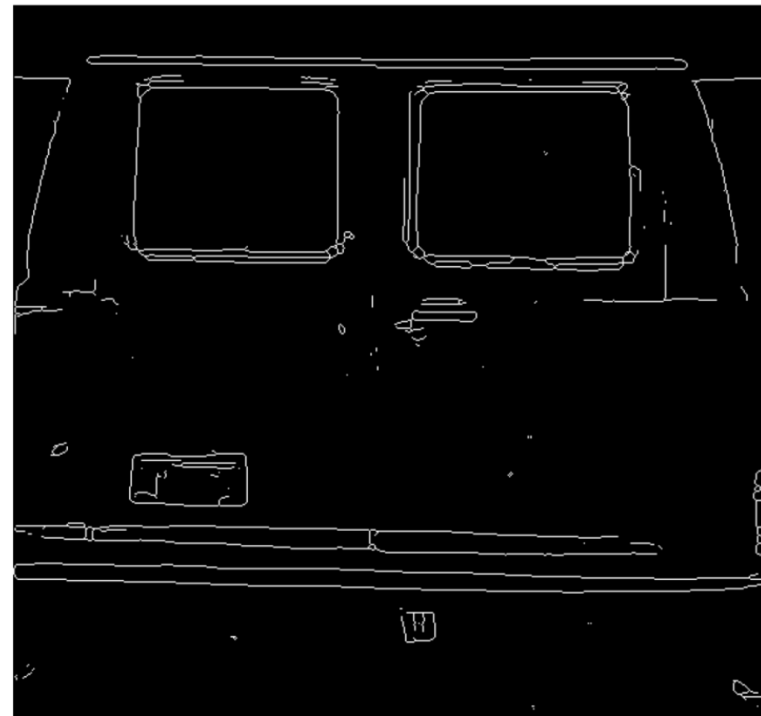
## • 寻找车牌

采用比较大的  
的夹角范围

美国车牌的  
长宽比是2:1



合并后的图像



细化后的图像



# 提纲

- 边缘连接和边界检测
  - 局部处理
  - 区域处理
  - 全局处理



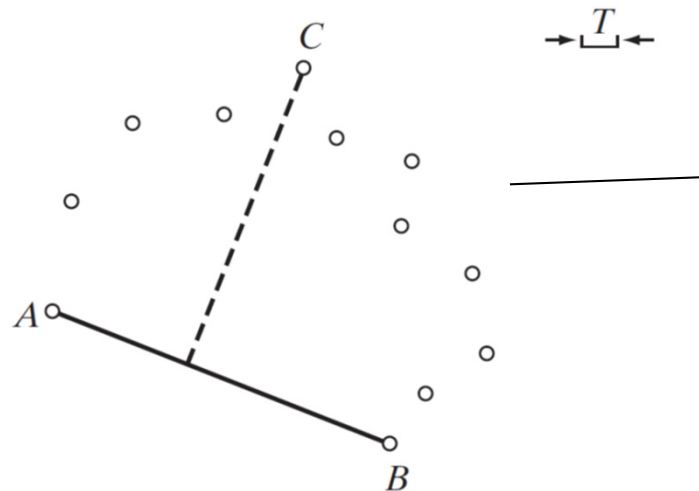
# 区域处理

- 前提
  - 感兴趣区域的位置已知
  - 预先知道属于边界的像素点
- 目标：基于区域连接像素，近似区域边界
- 方法
  - 函数近似
    - 为已知点拟合一条2维曲线
  - 多边形近似
    - 实现容易、捕捉基本形状特征、表示简单



# 举例

- 已知 $A$ 、 $B$ 是曲线的端点

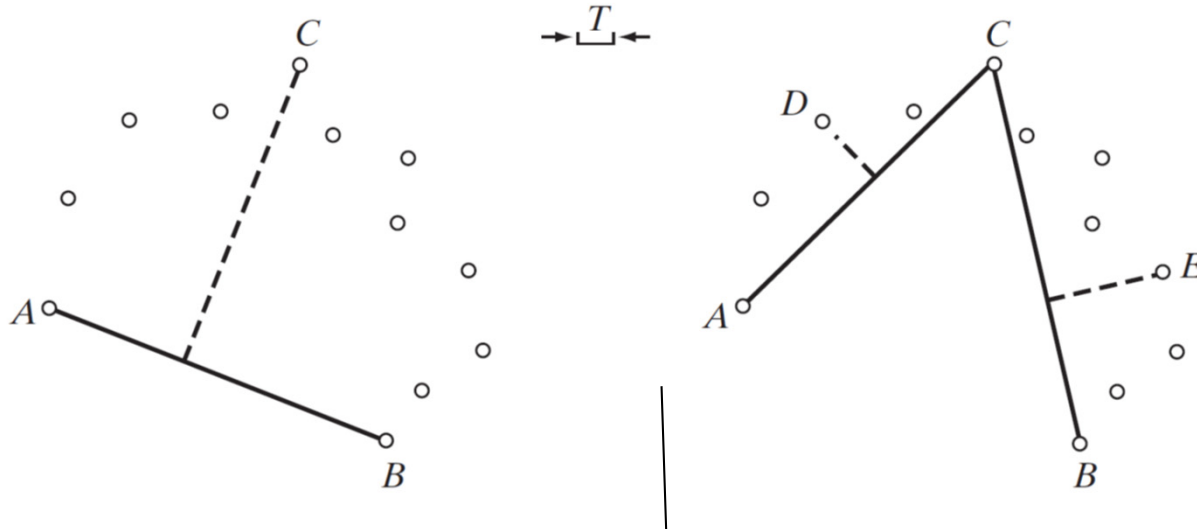


- 用直线连接 $A$ 、 $B$
- 计算所有点离直线 $AB$ 的距离
- 找到最远的点 $C$
- 如果距离大于阈值 $T$ ，把 $C$ 当做一个顶点



# 举例

- 已知 $A$ 、 $B$ 是曲线的端点

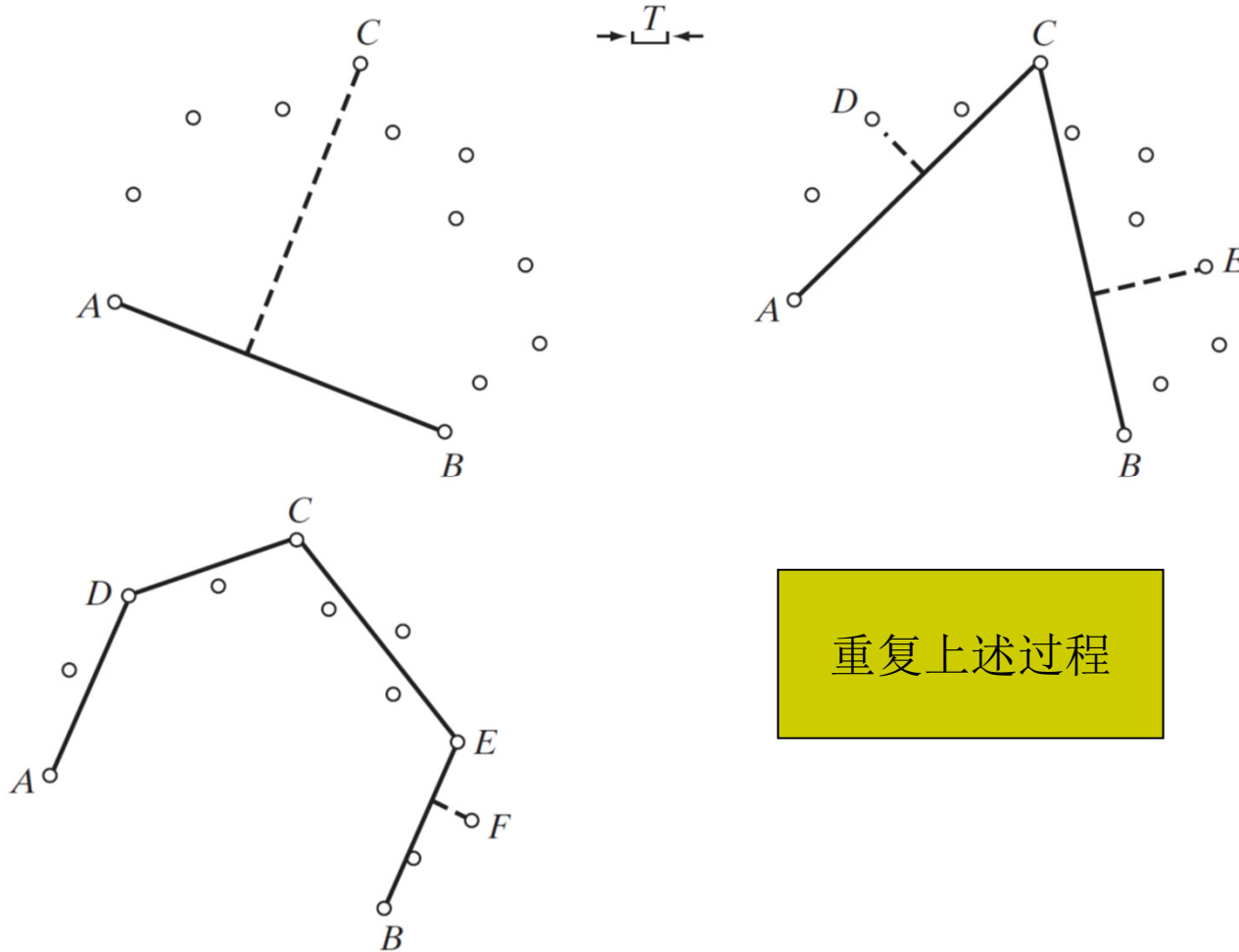


- 用直线连接 $A$ 、 $C$
- 计算 $AC$ 之间的点离直线 $AC$ 的距离
- 找到最远的点 $D$
- 如果距离大于阈值 $T$ , 把 $D$ 当做一个顶点



# 举例

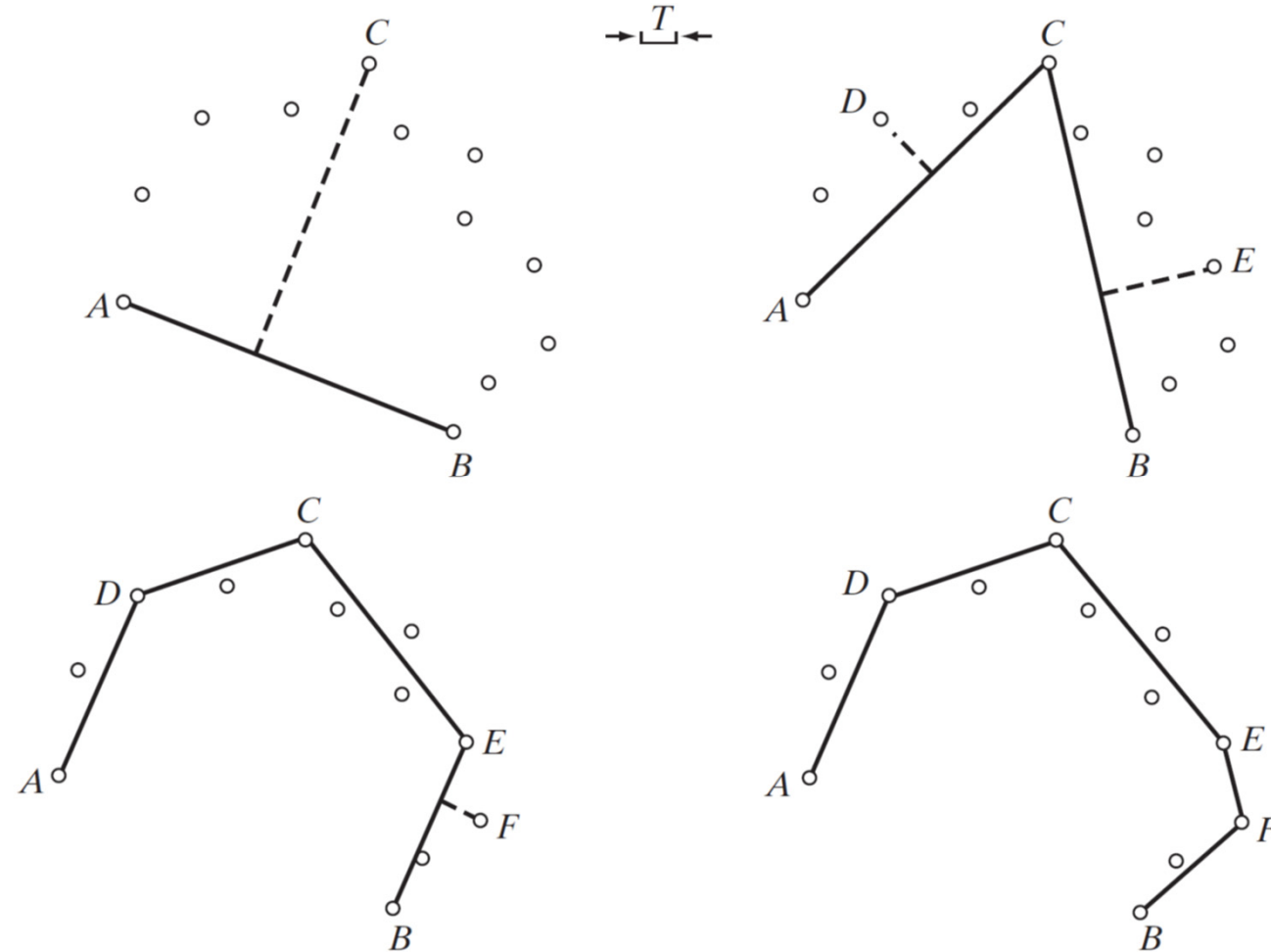
- 已知 $A$ 、 $B$ 是曲线的端点





# 举例

- 已知 $A$ 、 $B$ 是曲线的端点





# 算法设计

- 前提
  - 两个起始点
  - 所有的点必须排序
    - 顺时针、逆时针
- 判断曲线类型
  - 边界线段（开放曲线）
    - 存在两个间距较大的连续点（可作为起始点）
  - 边界（闭合曲线）
    - 连续点之间的距离比较均匀
      - 两端的点为起始点



# 区域处理算法

1. 令 $P$ 是一个已排序、不重复的二值图像中的序列。指定两个起始点 $A$ 和 $B$ 。它们是多边形的两个起始顶点。
2. 指定一个阈值 $T$ ，以及两个空**堆栈** “开” (OPEN) 和 “闭” (CLOSED)。
3. 如果 $P$ 中的点对应于一条闭合曲线，则把 $B$ 放到“开” 和 “闭” 中，并把 $A$ 放到“开” 中。  
如果对应于一条开放曲线，则把 $A$ 放到“开” 中，而把 $B$ 放到“闭”。
4. 计算从“闭” 中最后一个顶点到“开” 中最后一个顶点的线的参数。



# 区域处理算法

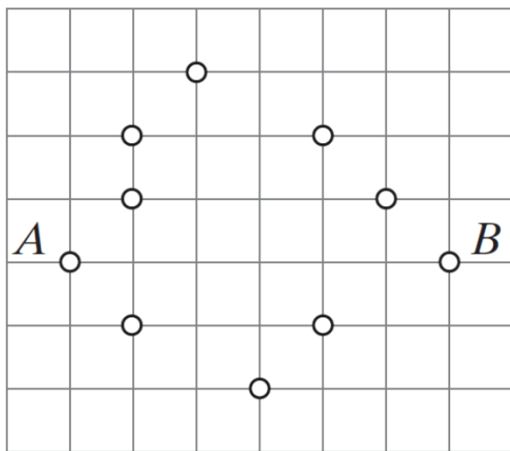
5. 寻找属于序列  $P$ 、且在步骤4中直线的两个顶点之间的点；计算这些点与直线的距离，选择具有最大距离  $D_{max}$  的点  $V_{max}$ 。
6. 如果  $D_{max} > T$ ，则把  $V_{max}$  作为一个新顶点放在“开”堆栈的末尾。转到步骤4。
7. 否则，从“开”中移除最后一个顶点，并把它作为“闭”的最后一个顶点插入。
8. 如果“开”非空，转到步骤4。
9. 否则，退出。“闭”中的顶点就是拟合  $P$  中的点的多边形的顶点。



# 举例

- 闭合曲线
- 顺时针排序
- $A$ 、 $B$ 为起点

CLOSED	OPEN	Curve segment processed	Vertex generated
$B$	$B, A$	—	$A, B$



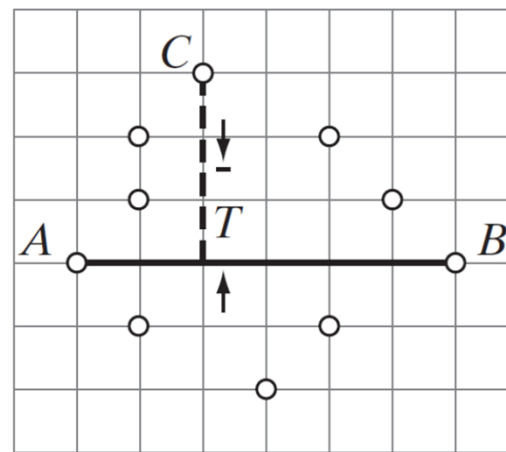
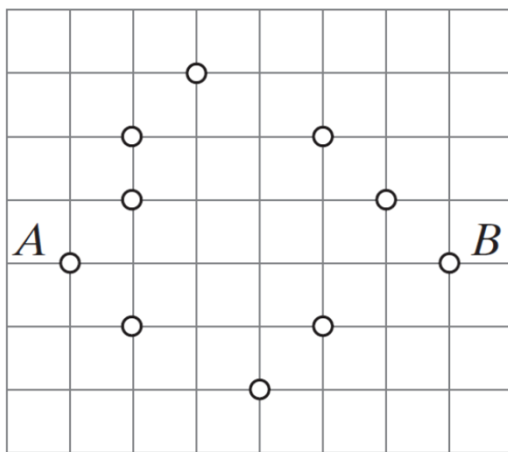


# 举例

- 闭合曲线
- 顺时针排序
- $A$ 、 $B$ 为起点

CLOSED	OPEN	Curve segment processed	Vertex generated
$B$	$B, A$	—	$A, B$
$B$	$B, A$	$(BA)$	$C$

$\rightarrow$   $T$   $\leftarrow$

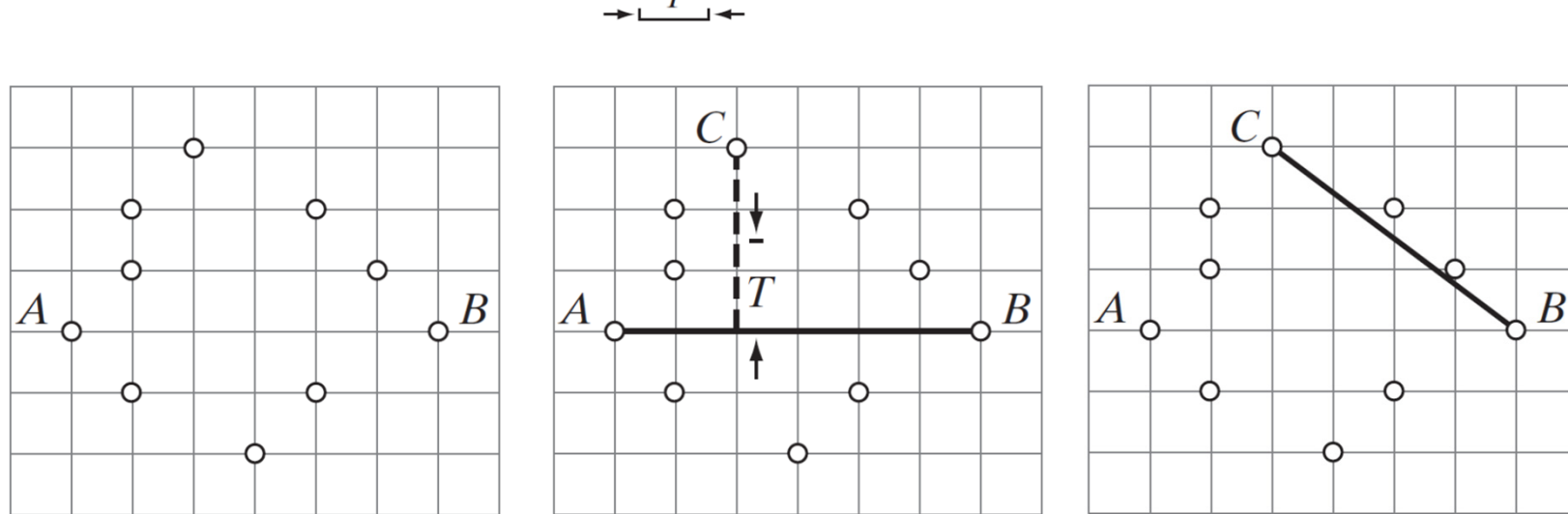




# 举例

- 闭合曲线
- 顺时针排序
- $A$ 、 $B$ 为起点

CLOSED	OPEN	Curve segment processed	Vertex generated
$B$	$B, A$	—	$A, B$
$B$	$B, A$	$(BA)$	$C$
$B$	$B, A, C$	$(BC)$	—

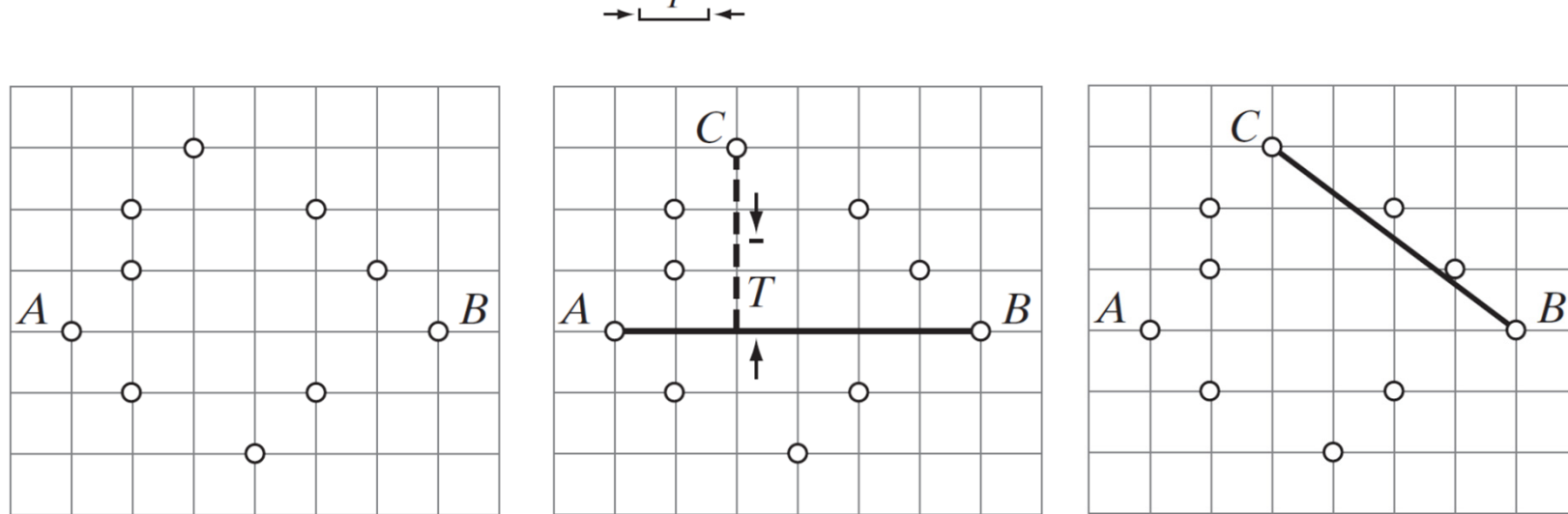




# 举例

- 闭合曲线
- 顺时针排序
- $A$ 、 $B$ 为起点

CLOSED	OPEN	Curve segment processed	Vertex generated
$B$	$B, A$	—	$A, B$
$B$	$B, A$	$(BA)$	$C$
$B$	$B, A, C$	$(BC)$	—
$B, C$	$B, A$	$(CA)$	—



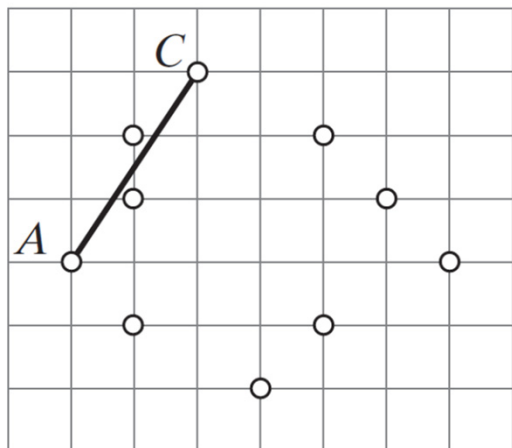


# 举例

- 闭合曲线
- 顺时针排序
- $A$ 、 $B$ 为起点

CLOSED	OPEN	Curve segment processed	Vertex generated
$B$	$B, A$	—	$A, B$
$B$	$B, A$	(BA)	$C$
$B$	$B, A, C$	(BC)	—
$B, C$	$B, A$	(CA)	—

→  $T$  ←



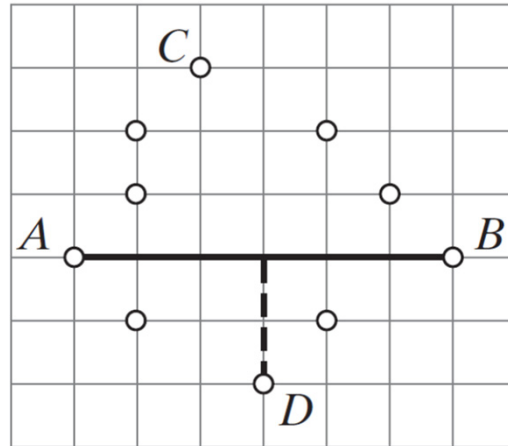
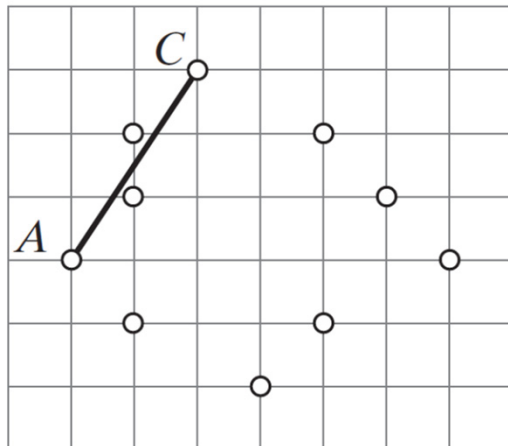


# 举例

- 闭合曲线
- 顺时针排序
- $A$ 、 $B$ 为起点

CLOSED	OPEN	Curve segment processed	Vertex generated
$B$	$B, A$	—	$A, B$
$B$	$B, A$	(BA)	$C$
$B$	$B, A, C$	(BC)	—
$B, C$	$B, A$	(CA)	—
$B, C, A$	$B$	(AB)	$D$

→  $T$  ←



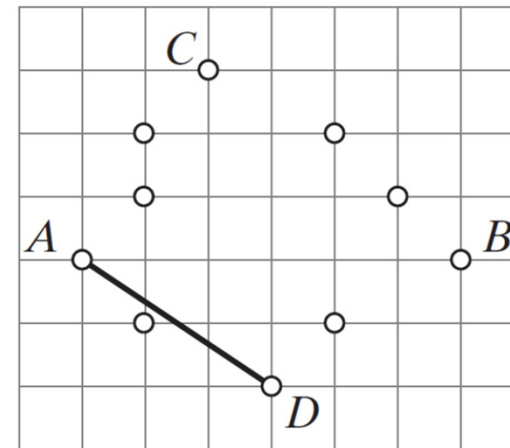
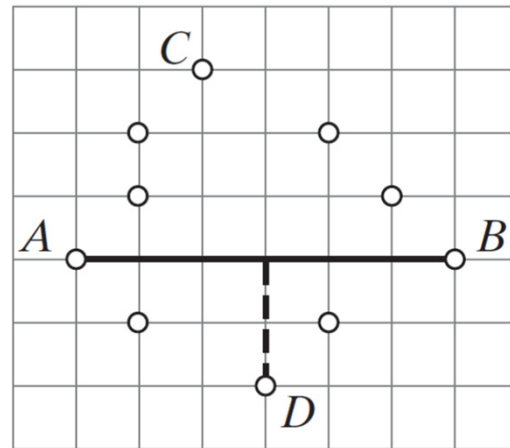
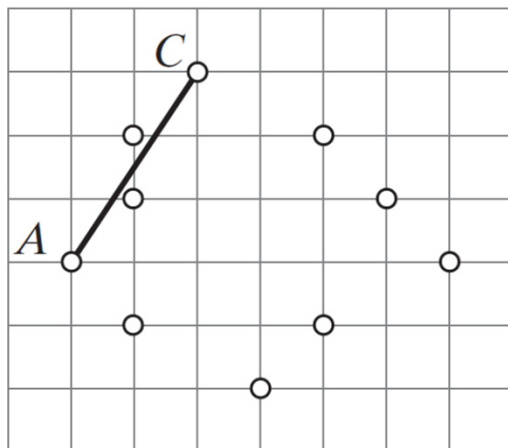


# 举例

- 闭合曲线
- 顺时针排序
- $A$ 、 $B$ 为起点

CLOSED	OPEN	Curve segment processed	Vertex generated
$B$	$B, A$	—	$A, B$
$B$	$B, A$	( $BA$ )	$C$
$B$	$B, A, C$	( $BC$ )	—
$B, C$	$B, A$	( $CA$ )	—
$B, C, A$	$B$	( $AB$ )	$D$
$B, C, A$	$B, D$	( $AD$ )	—

→  $T$  ←



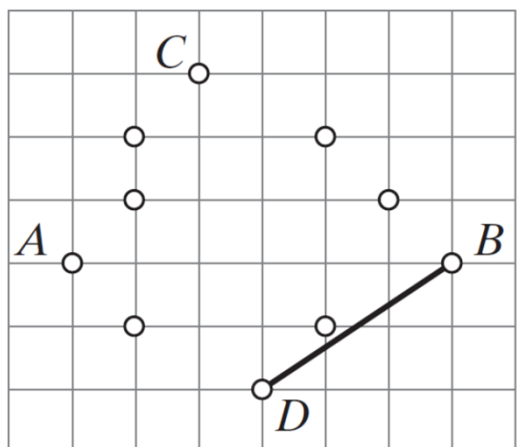


# 举例

- 闭合曲线
- 顺时针排序
- $A$ 、 $B$ 为起点

CLOSED	OPEN	Curve segment processed	Vertex generated
$B$	$B, A$	—	$A, B$
$B$	$B, A$	(BA)	C
$B$	$B, A, C$	(BC)	—
$B, C$	$B, A$	(CA)	—
$B, C, A$	$B$	(AB)	D
$B, C, A$	$B, D$	(AD)	—
$B, C, A, D$	$B$	(DB)	—

→  $T$  ←



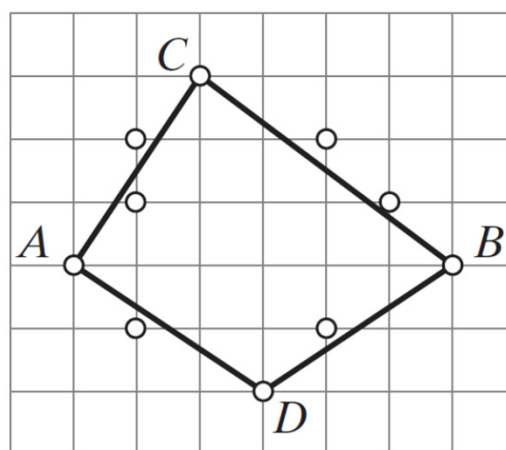
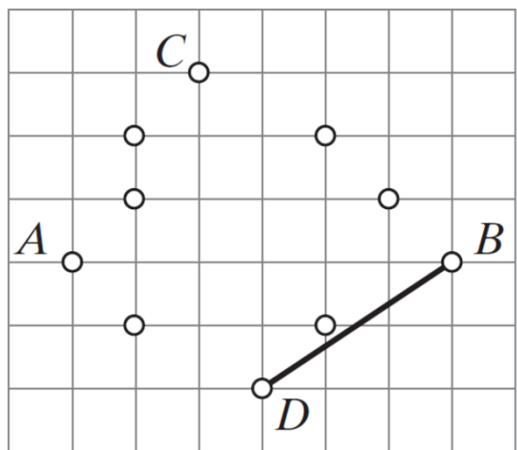


# 举例

- 闭合曲线
- 顺时针排序
- $A$ 、 $B$ 为起点

CLOSED	OPEN	Curve segment processed	Vertex generated
$B$	$B, A$	—	$A, B$
$B$	$B, A$	(BA)	C
$B$	$B, A, C$	(BC)	—
$B, C$	$B, A$	(CA)	—
$B, C, A$	$B$	(AB)	D
$B, C, A$	$B, D$	(AD)	—
$B, C, A, D$	$B$	(DB)	—
$B, C, A, D, B$	Empty	—	—

→  $T$  ←





# 提纲

- 边缘连接和边界检测
  - 局部处理
  - 区域处理
  - 全局处理



# 全局处理

- 考虑没有边缘先验知识的情况
- 利用全局性质判断是否为边缘像素
  1. 指定感兴趣的几何形状
  2. 判断边缘像素集合是否满足该形状
- 问题：给定 $n$ 个点，寻找共线的像素
  1. 考虑所有可能的直线 $n(n - 1)/2$
  2. 寻找靠近每一条直线的像素集合
    - 复杂度 $O(n^3)$

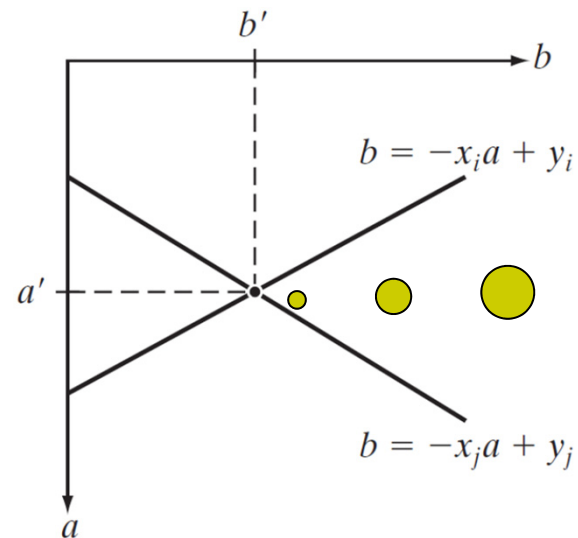
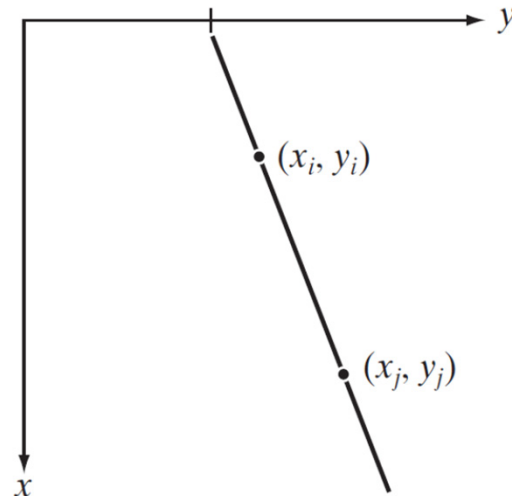


# 霍夫变换

- $xy$ -平面
  - 直线方程

$$y_i = ax_i + b$$

- $ab$ -平面
  - 参数方程
  - $b = -ax_i + y_i$
  - 每个点对应一条直线

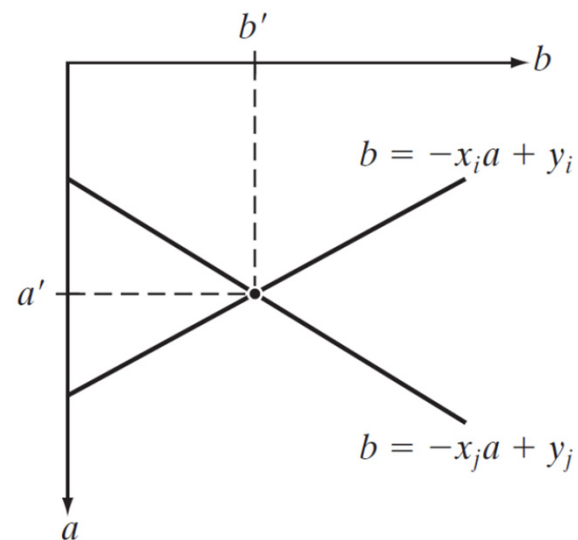
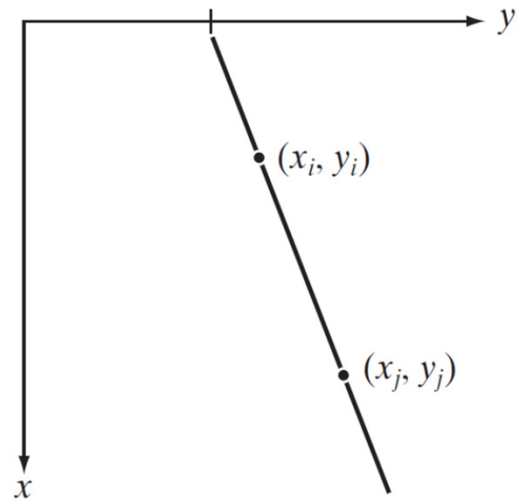


交点对应于  
上图中直线  
的参数



# 霍夫变换

- $xy$ -平面
  - 直线方程 $y_i = ax_i + b$
- $ab$ -平面
  - 参数方程 $b = -ax_i + y_i$
  - 每个点对应一条直线



简单的想法:

1. 画出所有 $ab$ -平面中的直线
2. 寻找最多直线的交点

困难:

1.  $ab$ -平面是无界的

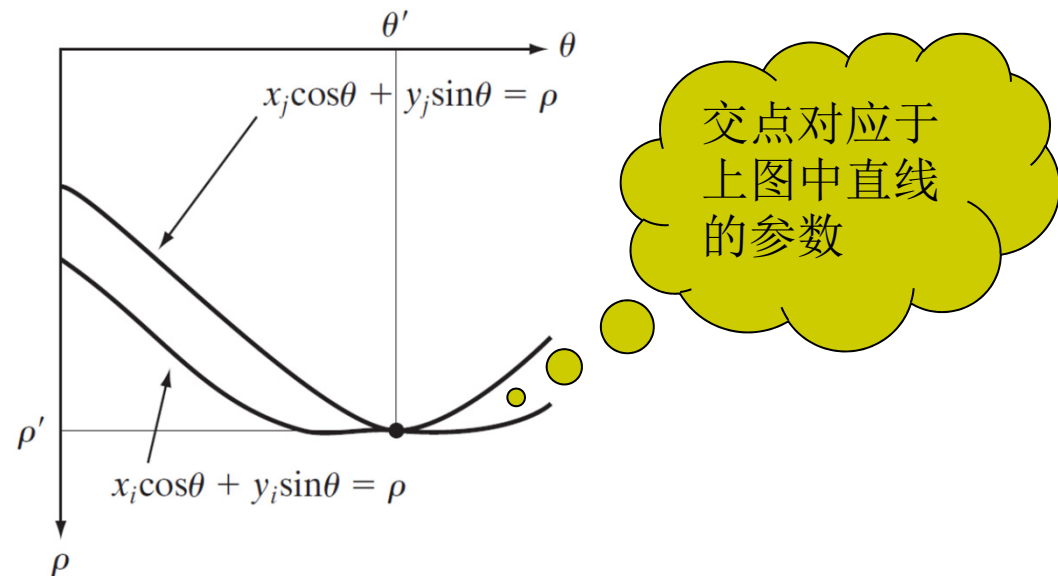
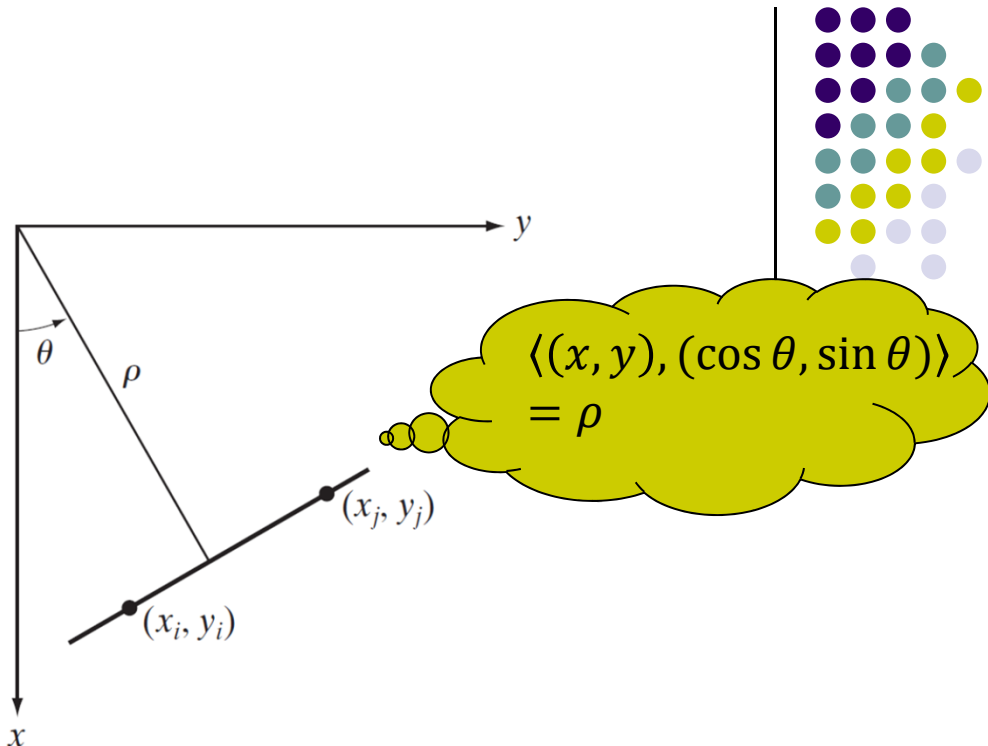
# 霍夫变换

- $xy$ -平面
  - 法线方程



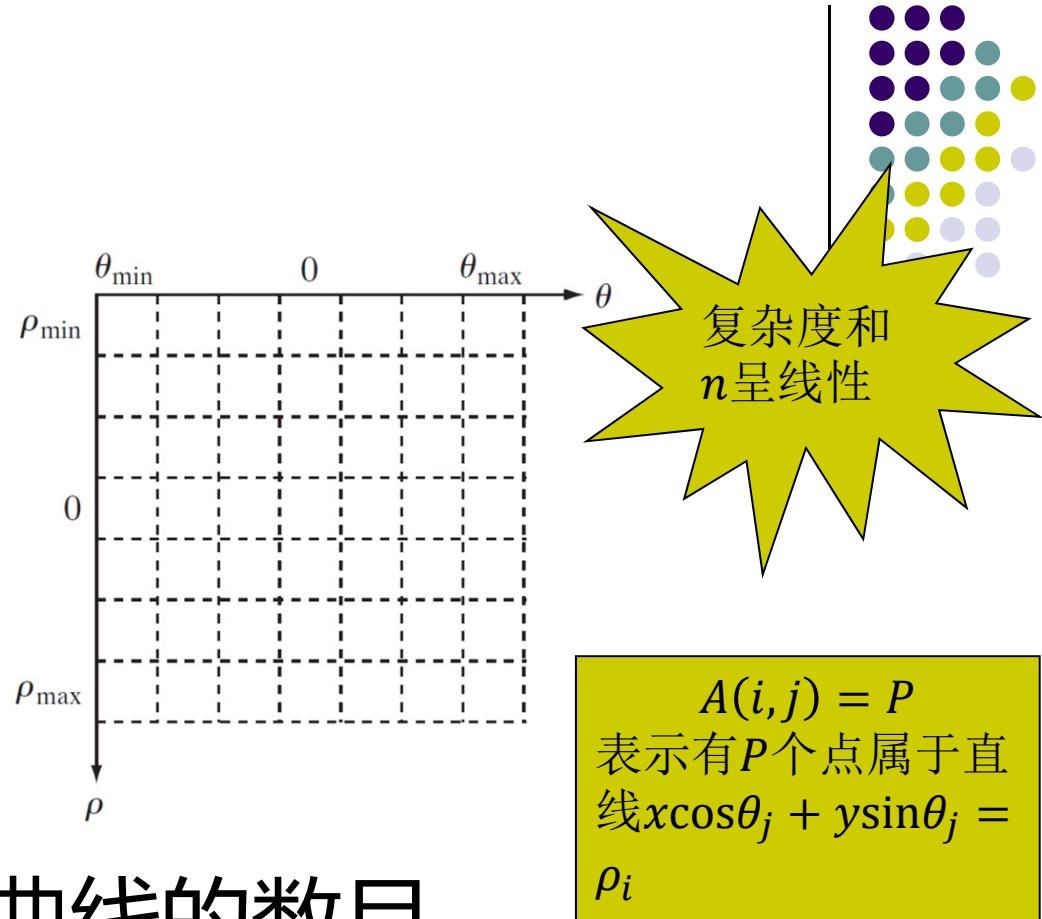
$$x\cos\theta + y\sin\theta = \rho$$

- $\rho\theta$ -平面
    - 参数方程
- $$\rho = x\cos\theta + y\sin\theta$$
- 每个点对应一条正弦曲线



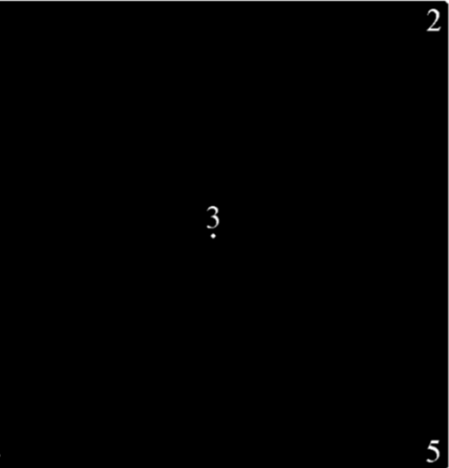
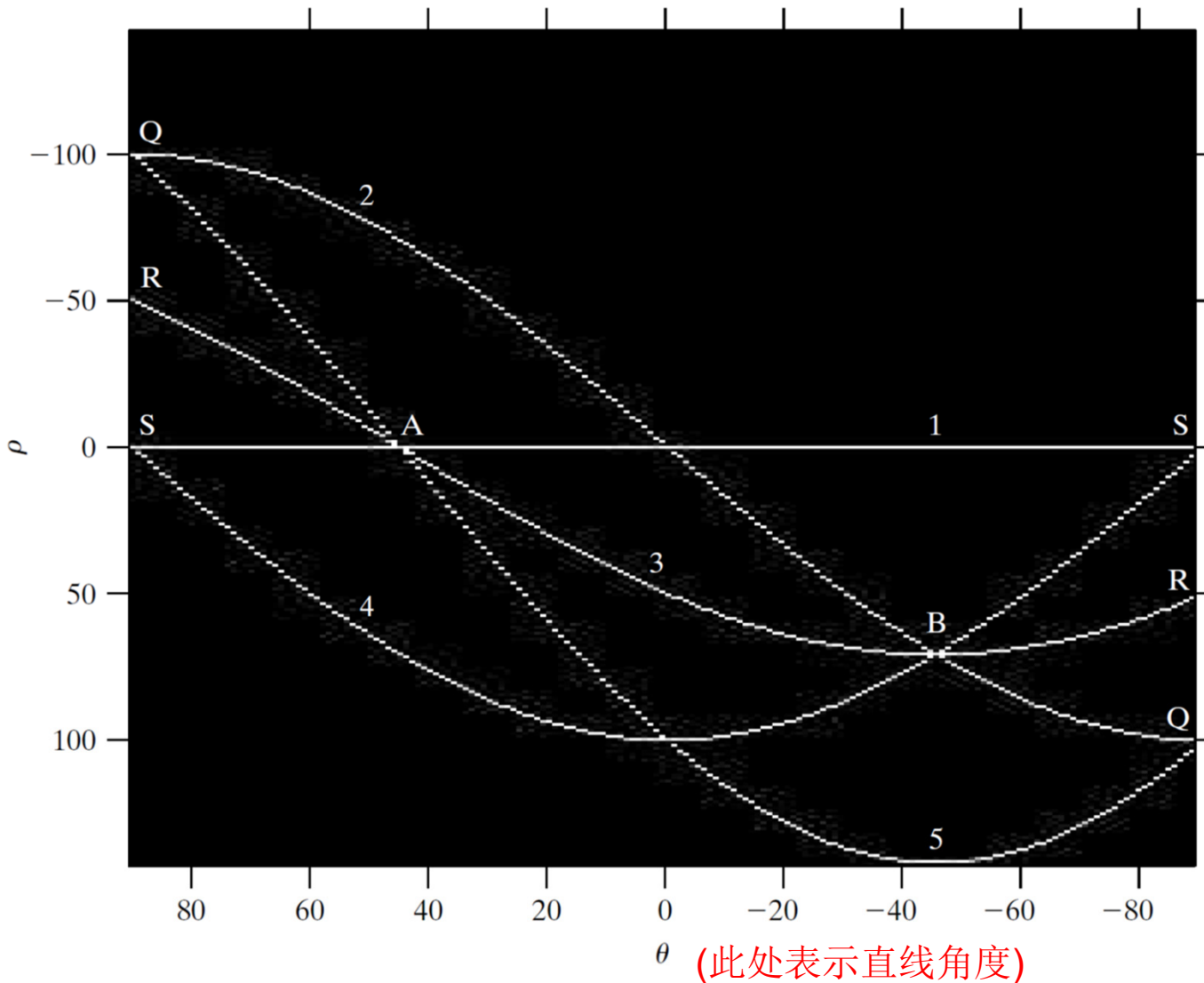
# 霍夫变换

- 划分累加单元
  - $-90^\circ \leq \theta \leq 90^\circ$
  - $-D \leq \rho \leq D$ 
    - $D$ 是对角长度
- 统计每个单元内曲线的数目
  - $(i, j)$ 位置单元内曲线数数目记为  $A(i, j)$
  - $(i, j)$ 位置单元对应的参数  $(\rho_i, \theta_j)$
  - 计算  $\rho = x\cos\theta_j + y\sin\theta_j$ , 并离散化



# 举例

A处有3个点相交  
对应的参数是 $(0, 45^\circ)$



B处有3个点相交  
对应的参数是  
 $(71, -45^\circ)$

Q, R, S在两端都出现

# 将霍夫变换用于边缘连接

1. 生成二值的边缘图像
  - 可采用之前介绍的任意算法
2. 划分 $\rho\theta$ -平面的累加单元
  - 粒度决定了精度、计算量
3. 统计每个累加单元的曲线数量
  - 寻找数值高的单元
4. 检验数值高累加单元对应的像素
  - 将距离小于某阈值的像素连接起来





# 举例

- 寻找机场的主跑道
  - 中间位置、垂直方向



原图



# 举例

- 寻找机场的主跑道
  - 中间位置、垂直方向



原图



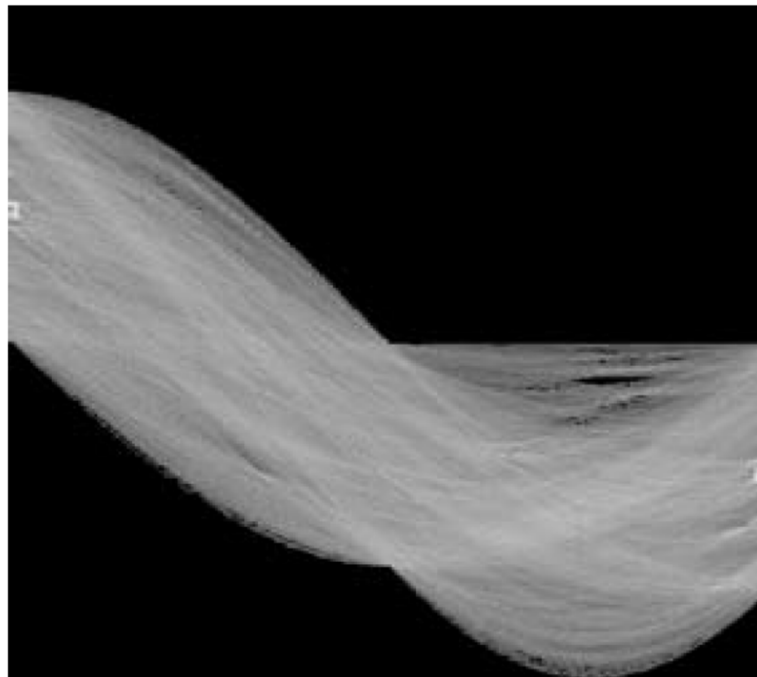
坎尼边缘检测器



# 举例

- 寻找机场的主跑道
  - 中间位置、垂直方向

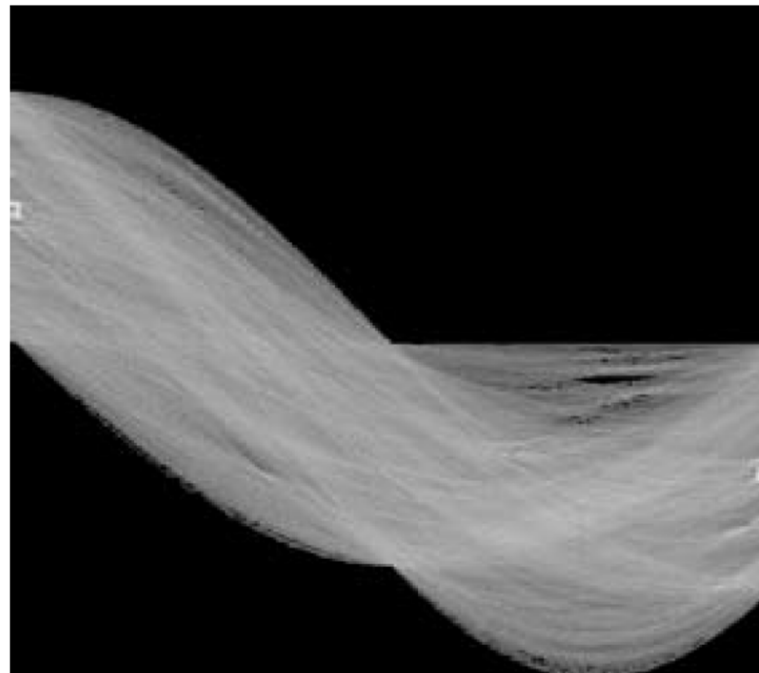
方框为数  
值最大的  
单元



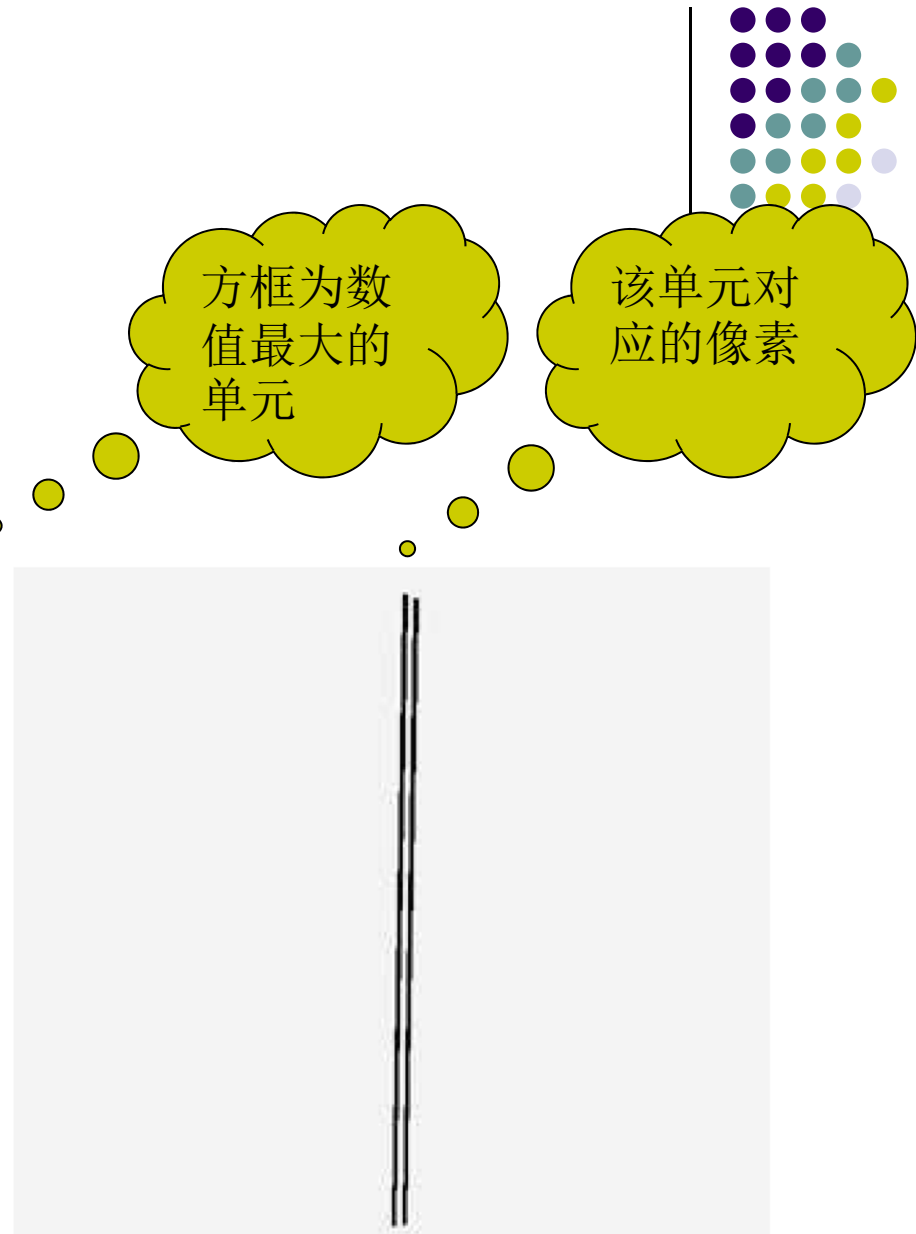
霍夫变换空间

# 举例

- 寻找机场的主跑道
  - 中间位置、垂直方向



霍夫变换空间



检测到的边缘



# 举例

- 寻找机场的主跑道
  - 中间位置、垂直方向



叠加到原图